

Pièges à ions

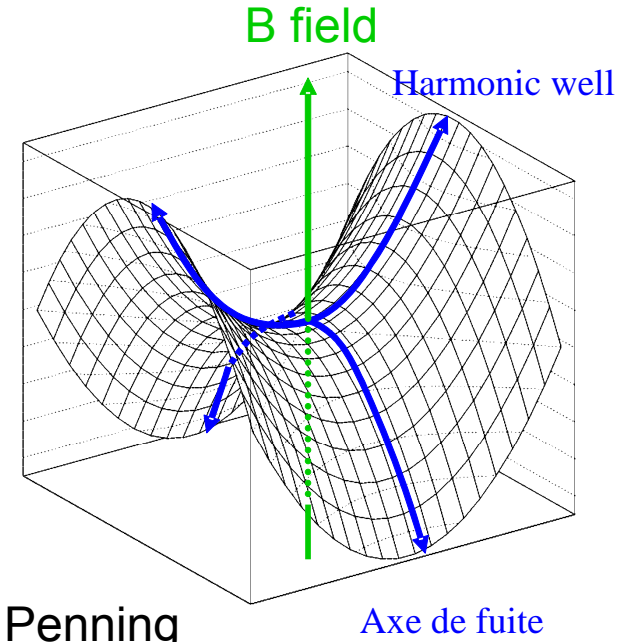
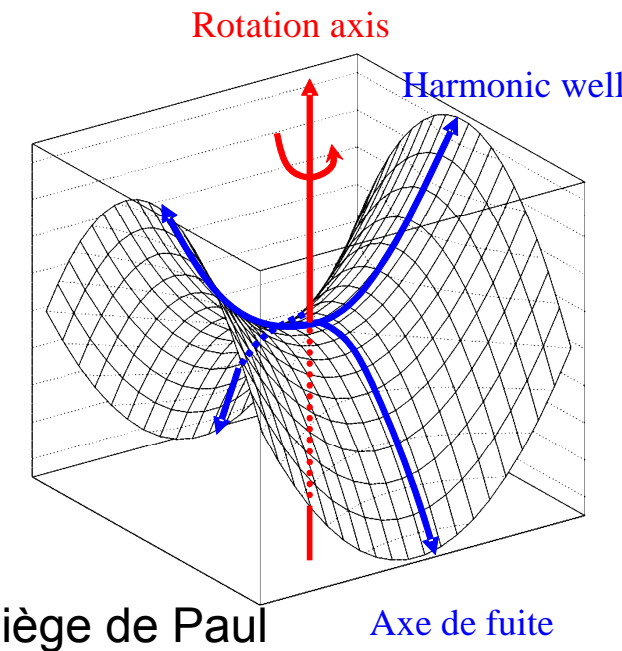
Ecole Joliot-Curie
Physique nucléaire instrumentale
22-27 Septembre 2008
Seignosse

P. Delahaye

Bref Historique

- Piégeage d'ions
 - Loi de Laplace

$$\Delta\phi = \frac{\partial^2\phi}{\partial x^2} + \frac{\partial^2\phi}{\partial y^2} + \frac{\partial^2\phi}{\partial z^2} = 0$$



Frans Michel
Penning

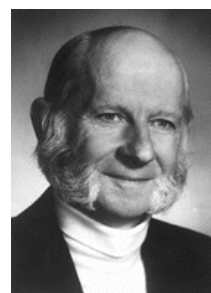


1930's: Penning gauges
+J.R. Pierce 1940's: Penning trap for electrons

Paul traps as
Mass spectrometers
Late 1950's



W. Paul



H. Dehmelt

« Penning trap »

Nobel Prize 1989

With N. F. Ramsey

"for the development of the ion trap
technique"

for the invention of the separated
oscillatory fields method and its use
in the hydrogen maser and other
atomic clocks

Modes de fonctionnement

- Piège de Paul

Potentiel quadrupolaire

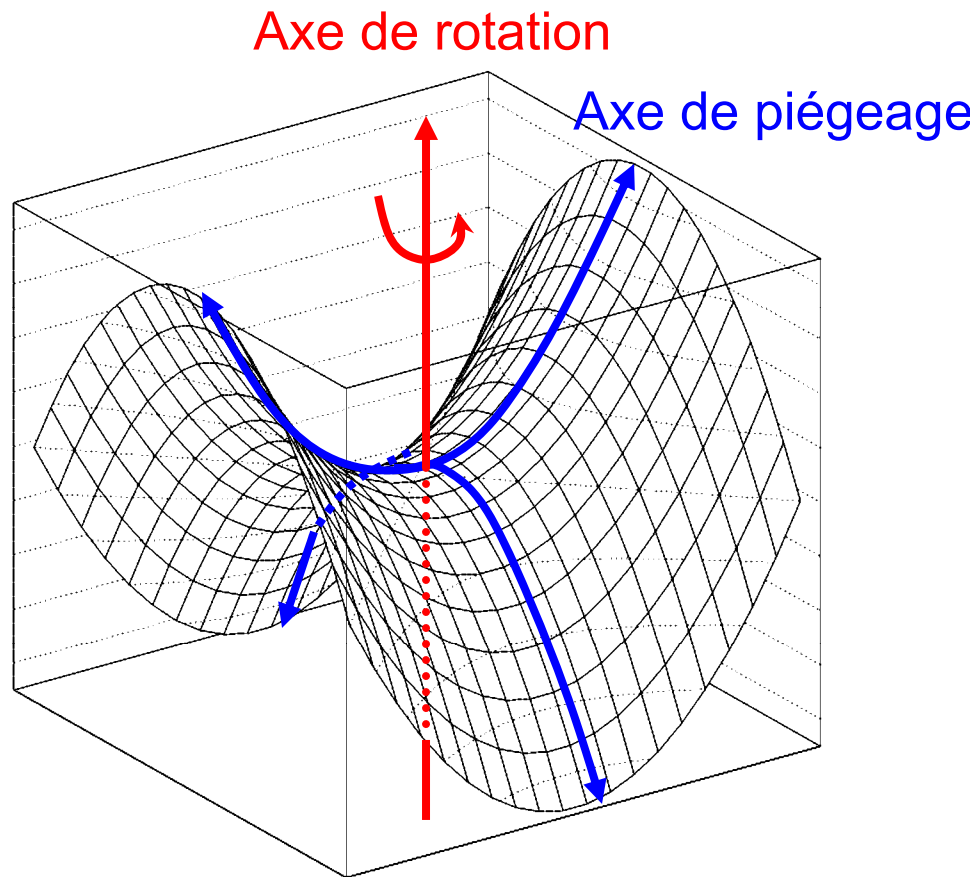
$$\phi(x, y) = \frac{V_0}{2} \left(\frac{x^2 - y^2}{r_0^2} \right)$$

$$\phi(x, y) = V \cos(\Omega t) \frac{x^2 - y^2}{2r_0^2}$$

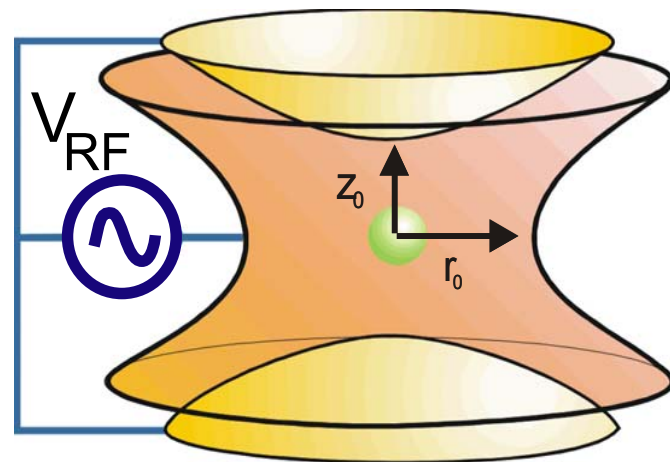
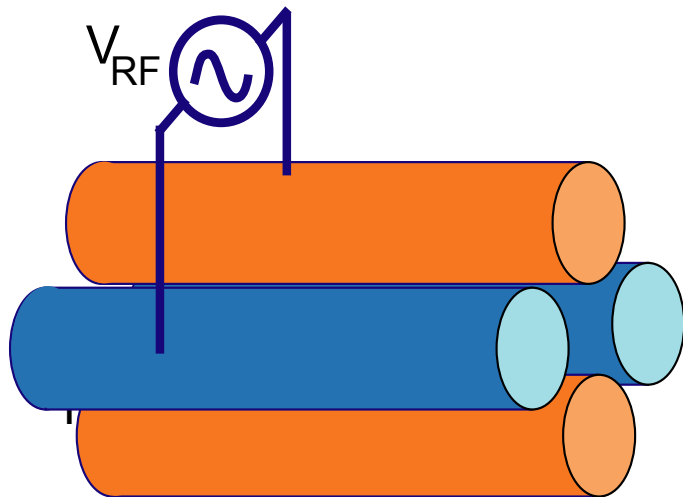
Paramètre de Matthieu q_z

$$q_z = \frac{4qV}{mr_0^2\Omega^2}$$

$$q_z \in [0.; 0.908]$$



Pièges de Paul linéaires (RFQ) ou 3D



Équations de Mathieu

Piège linéaire ou RFQ

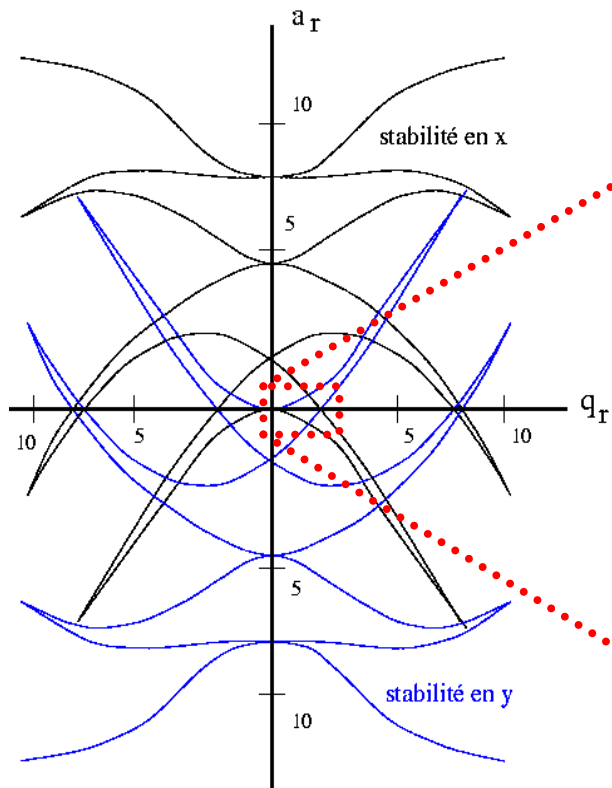
$$m \frac{d^2x}{dt^2} = -q(U - V \cos(\Omega t)) \frac{x}{r_0^2}$$

$$m \frac{d^2y}{dt^2} = q(U - V \cos(\Omega t)) \frac{y}{r_0^2}$$

$$\mathbf{a_r} = \frac{4qU}{mr_0^2\Omega^2}; \quad \mathbf{q_r} = \frac{2qV}{mr_0^2\Omega^2} \text{ et } \zeta = \frac{\Omega t}{2}$$

$$\frac{d^2x}{d\zeta^2} + (\mathbf{a_r} - 2\mathbf{q_r} \cos 2\zeta)x = 0$$

$$\frac{d^2y}{d\zeta^2} - (\mathbf{a_r} - 2\mathbf{q_r} \cos 2\zeta)y = 0$$

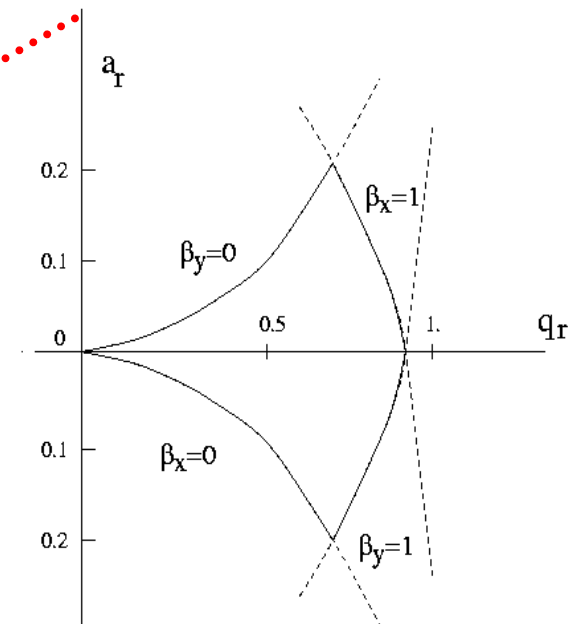


$$a_r = 0$$



$$q_r \in [0.; 0.908]$$

$$u(\zeta) = \alpha' \sum_{n=-\infty}^{n=+\infty} C_{2n} e^{(2n \pm \beta)i\zeta} + \alpha'' \sum_{n=-\infty}^{n=+\infty} C_{2n} e^{-(2n \pm \beta)i\zeta}$$



Diagrammes de stabilité (3D)

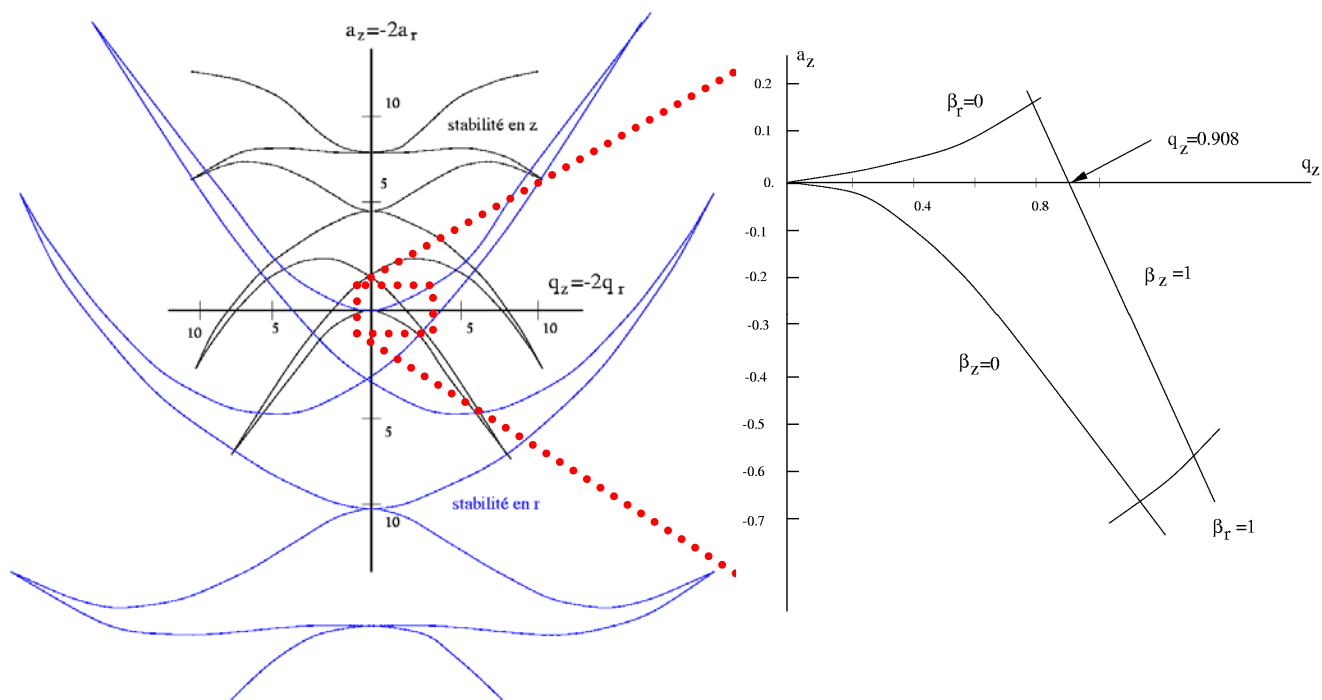
Équations de Mathieu

$$\frac{d^2r}{d\zeta^2} + (a_r - 2q_r \cos 2\zeta)r = 0$$

$$\frac{d^2z}{d\zeta^2} + (a_z - 2q_z \cos 2\zeta)z = 0$$

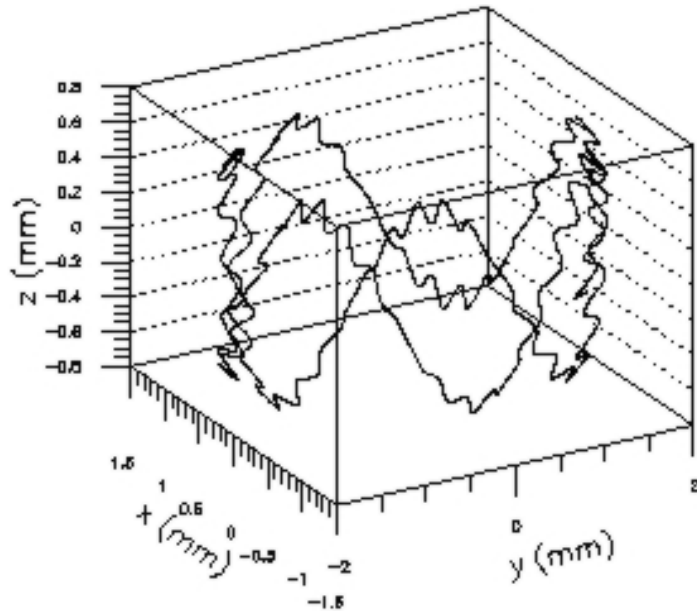
$$a_z = -2a_r$$

$$q_z = -2q_r$$

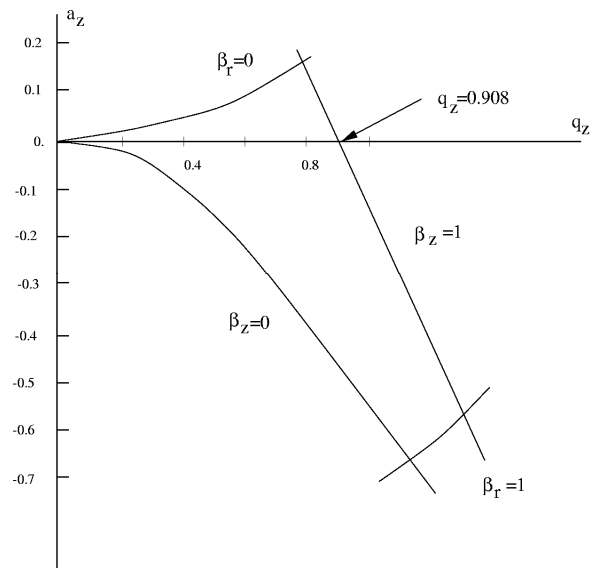


$$a_z = 0 \quad \xrightarrow{\text{red arrow}} \quad q_z \in [0.; 0.908]$$

Micromotion et mouvement séculaire



Stability diagram



Micromotion $\omega_\mu = (1 - \beta/2) \cdot \Omega$

Secular motion $\omega_M = \beta \Omega / 2$

$$\text{with } \beta_z \approx \frac{q_z}{\sqrt{2}} = \frac{2\sqrt{2}qV}{mr_0^2\Omega^2}$$

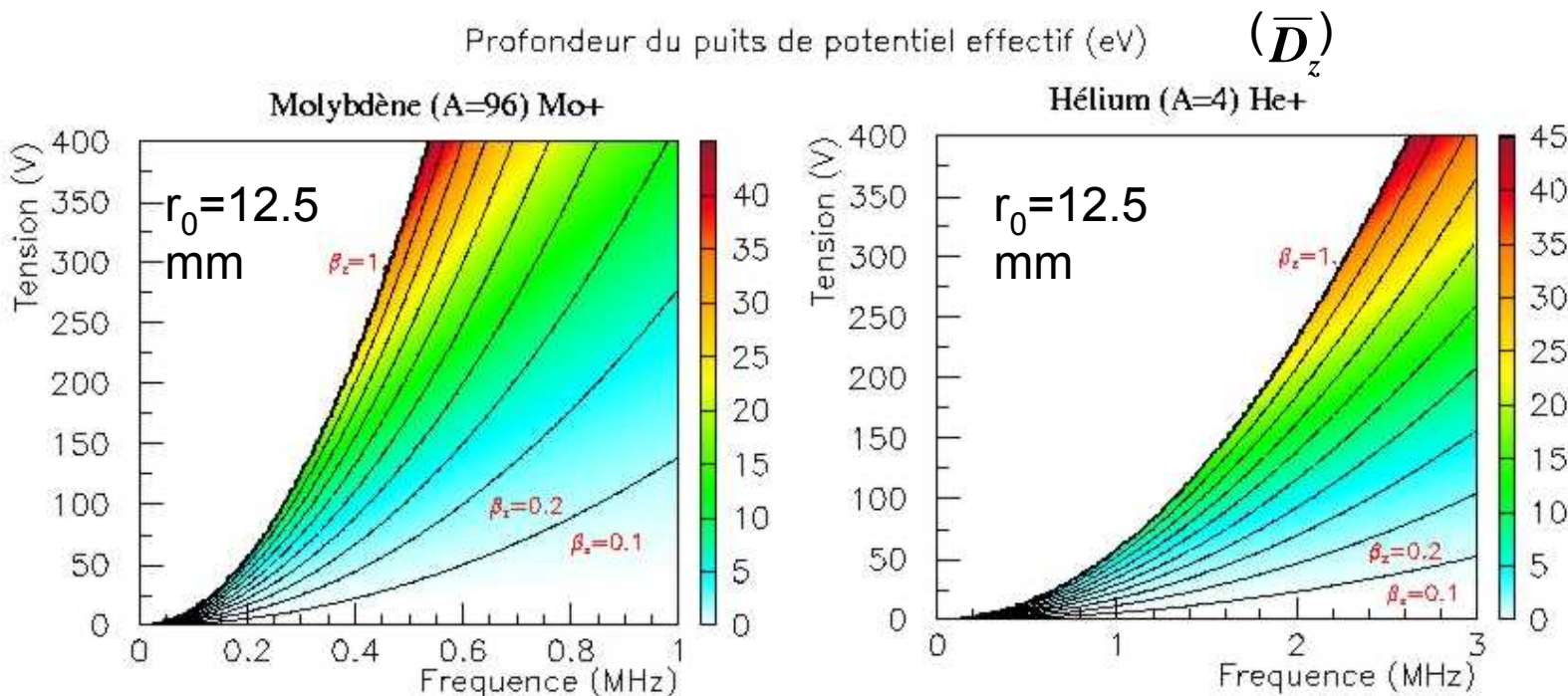
$$\color{red} a_r = \frac{4qU}{mr_0^2\Omega^2}; \quad q_r = \frac{2qV}{mr_0^2\Omega^2}$$

Mathieu parameters

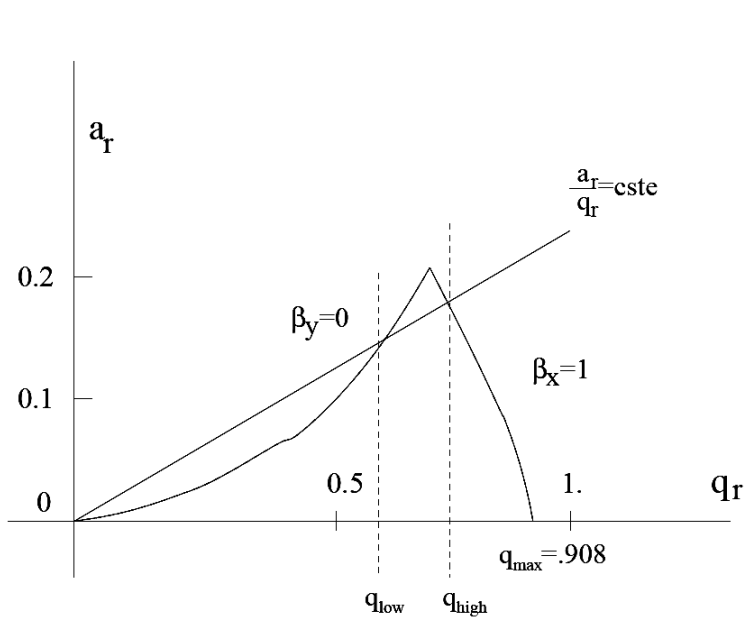
Modèle du potentiel effectif

$$\bar{D}_z = \frac{qV^2}{4mz_0^2\Omega^2} = \frac{mz_0^2\Omega^2q_z^2}{16q}$$

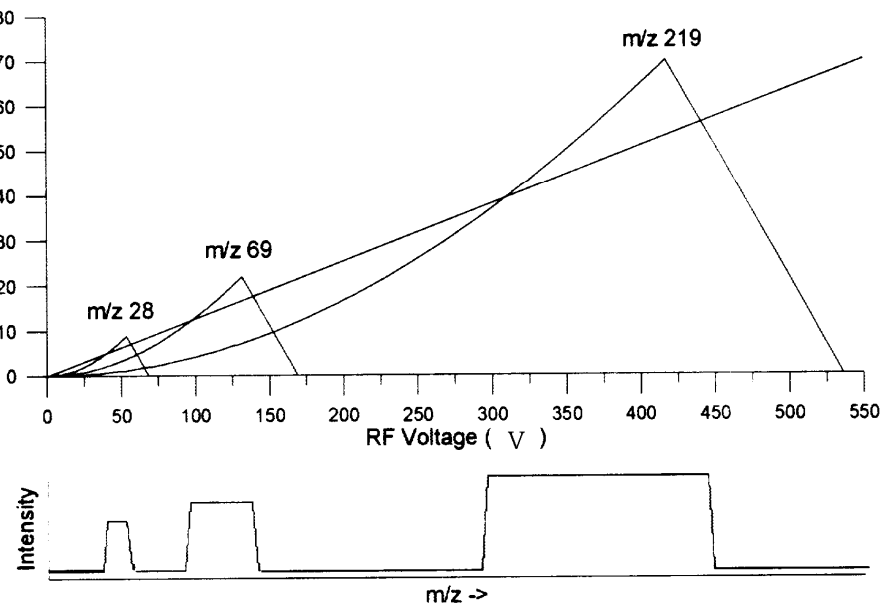
$$\bar{D}_r = \frac{qV^2}{4mr_0^2\Omega^2} = \frac{\bar{D}_z}{2}$$



Application en spectromètre de masse



$$a_r/q_r = U/V = cste$$



Spectromètres commerciaux

Extraits du catalogue en ligne de EXTREL <http://www.extrel.com>



MAX SYSTEM SELECTION CHART

Model	Mass Range amu	Quadrupole Size	RF Operating Frequency	Typical Applications
MAX 60	1-60	19 mm	2.9 MHz	He-D2, He Scattering, Atmospheric Chemistry
MAX 120	1-120	19 mm	2.1 MHz	SIMS, Inorganic Analysis, Atmospheric Chemistry
MAX 200	1-200	19 mm	1.2 MHz	TPD, SIMS, Gas Analysis, Plasma/CVD Monitoring
MAX 260	1-260	9.5 mm	2.8 MHz	SIMS, Inorganic Analysis, ICP-MS
MAX 300	1-300	19 mm	1.2 MHz	TPD, SIMS, Gas Analysis, Plasma/CVD Monitoring
MAX 500	1-500	19 mm	1.2 MHz	TPD, SIMS, Gas Analysis, Plasma/CVD Monitoring
MAX 500b	1-500	9.5 mm	2.1 MHz	Special Ultra-High Resolution Work
MAX 800	2-800	9.5 mm	1.2 MHz	SIMS, Gas Analysis, Plasma/CVD Monitoring
MAX 1000	1-1000	19 mm	880 KHz	Cluster Analysis, Biomolecules
MAX 1200	2-1200	9.5 mm	1.2 MHz	Cluster Analysis, Biomolecules
MAX 2000	2-2000	9.5 mm	880 KHz	Cluster Analysis, Biomolecules
MAX 4000	10-4000	9.5 mm	880 KHz	Cluster Analysis, Biomolecules
MAX 9000+	25-9000	6 mm	880 KHz	Cluster Analysis, Biomolecules

Ion Circus

The Ion Circus concept:

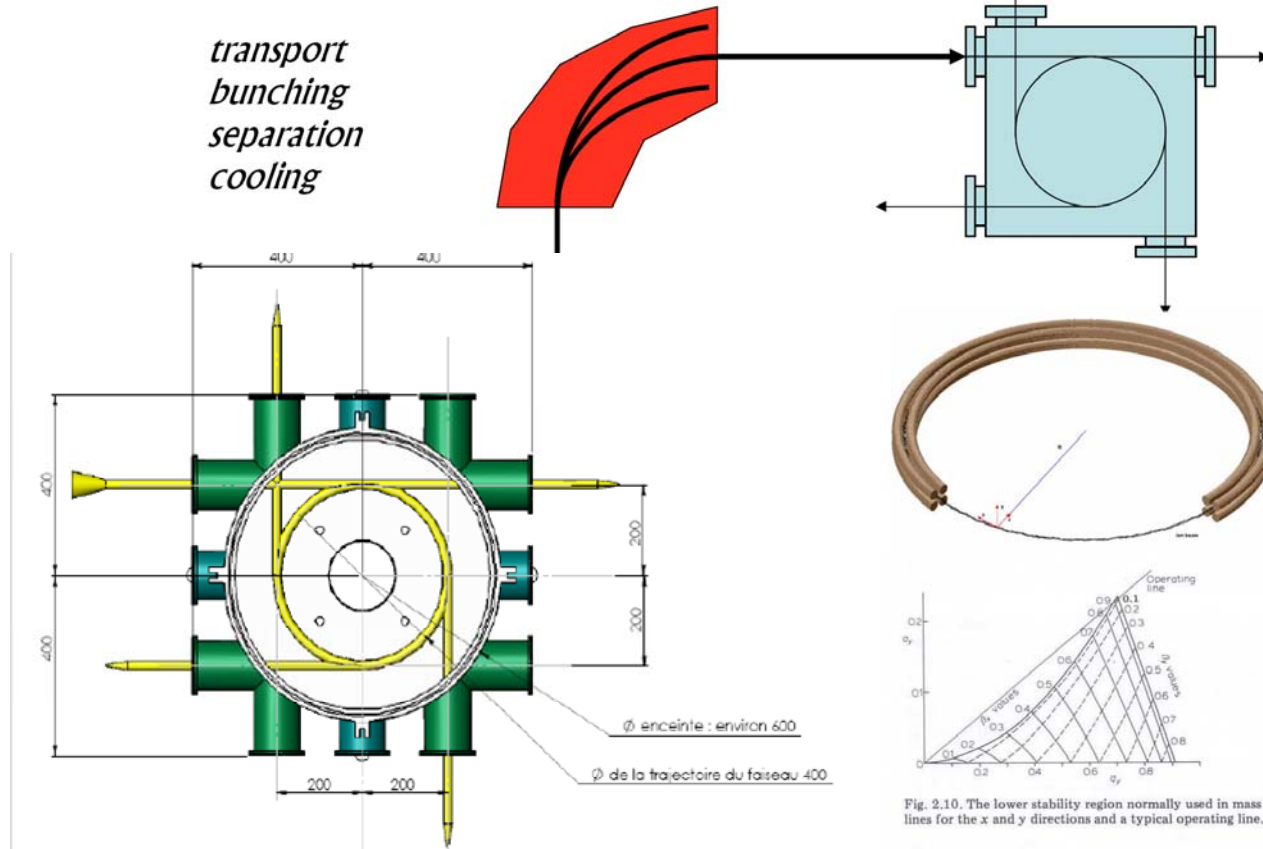
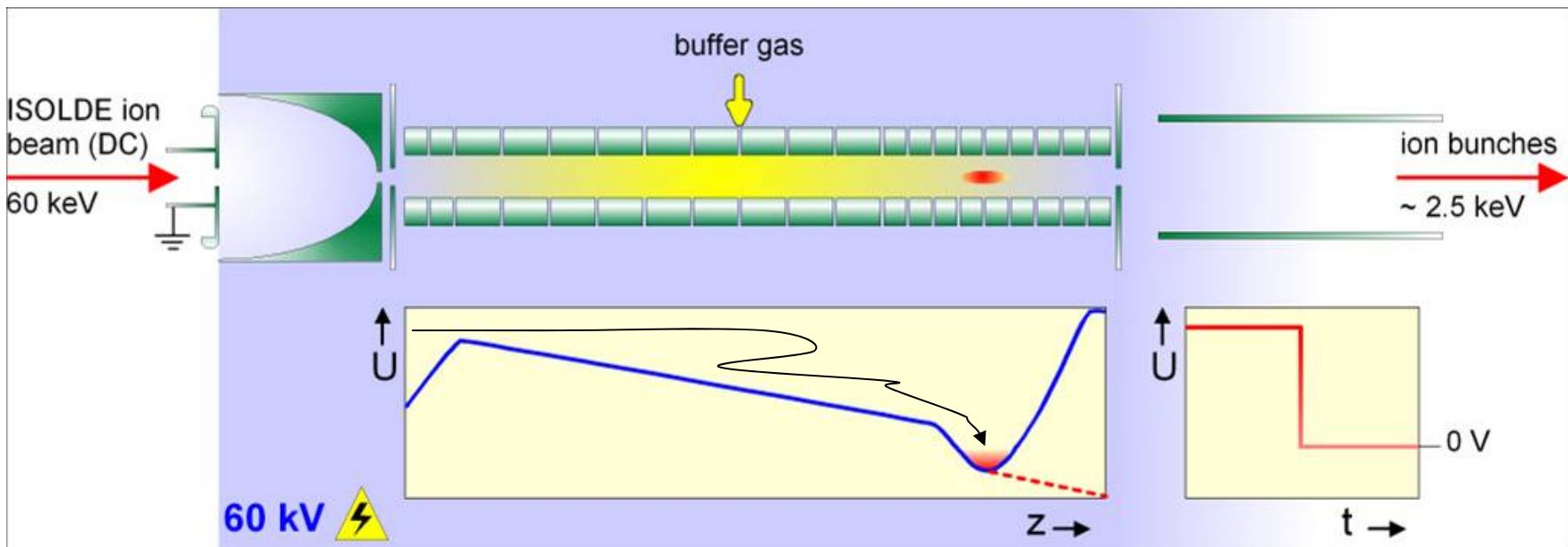


Fig. 2.10. The lower stability region normally used in mass filter lines for the x and y directions and a typical operating line.

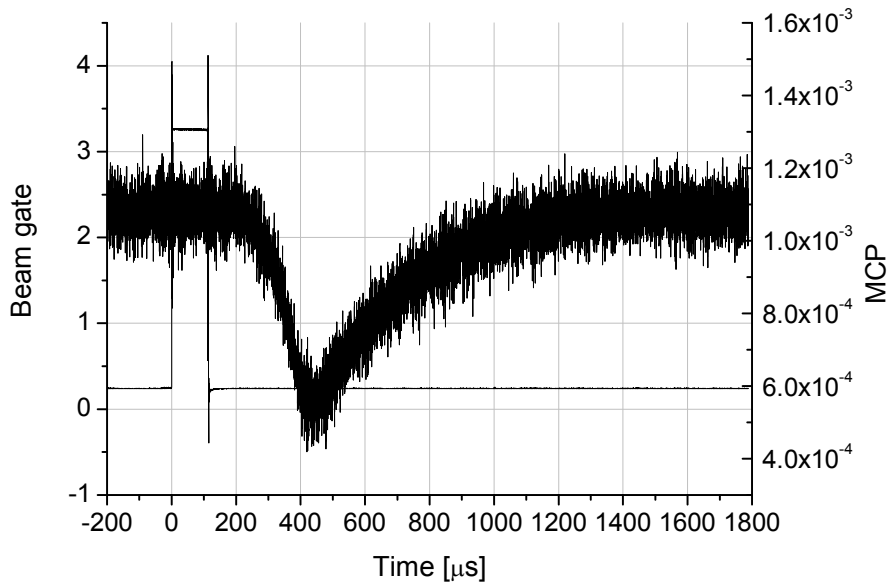
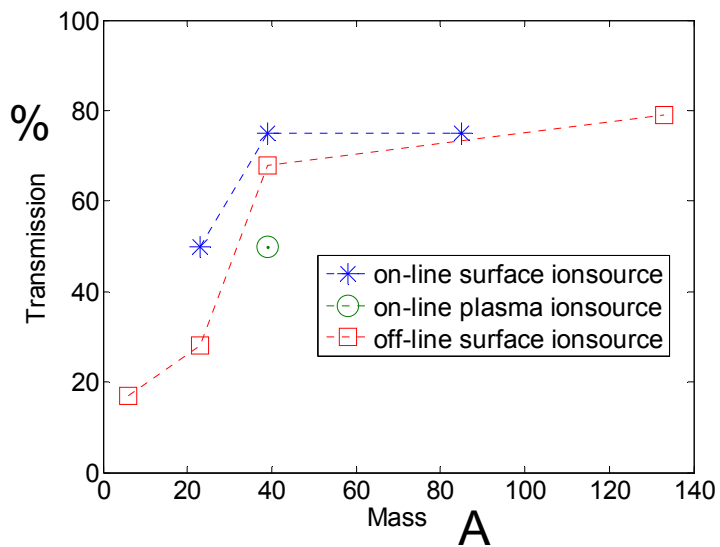
Refroidissement par « buffer gas cooling »



- Piège de Paul linéaire (comme pour QMS) confinement radial
- Segmentation des électrodes Piègeage et regroupement
- Buffer gas ${}^4\text{He}$ « bunching » ou simple drift par gradient linéaire
- refroidissement par collision

Performances optimales

ISCOOL, ISOLDE 2007



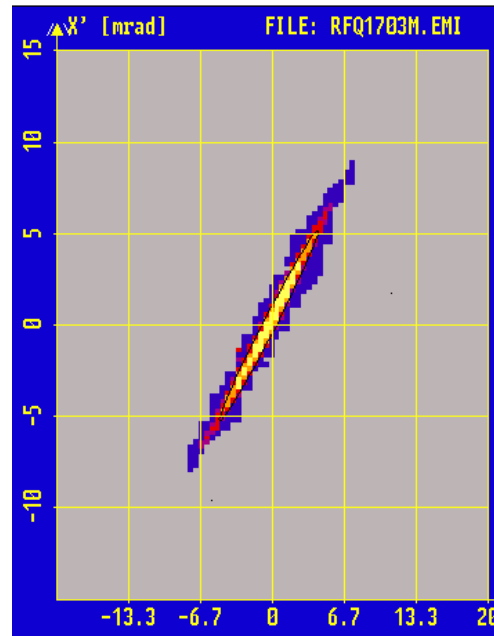
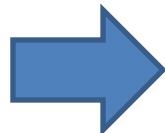
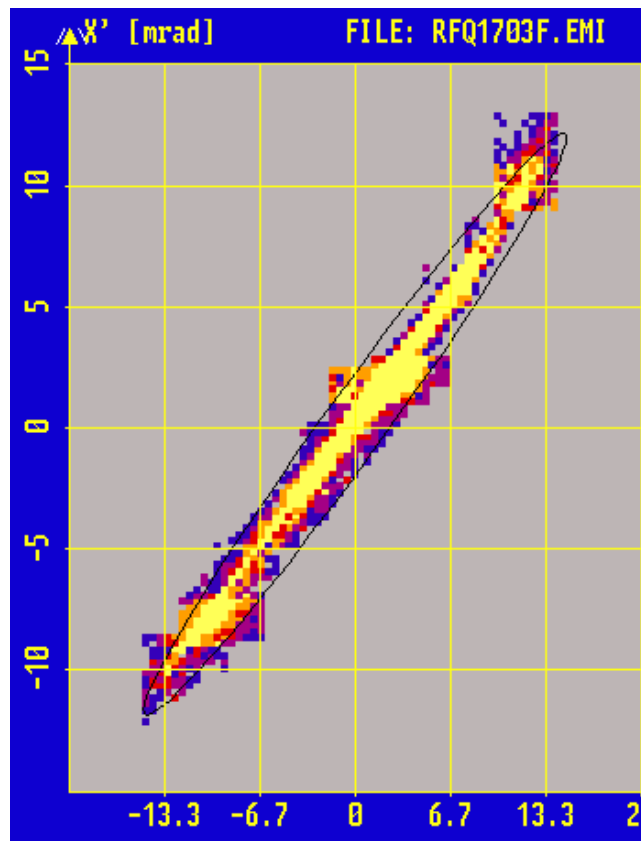
Masses légères: pertes par « RF heating »

500 μs drift time

Damping time: $\tau = T/T_0 \odot P_0/P \odot K_0 \odot M/q$

^{39}K : 100 μs

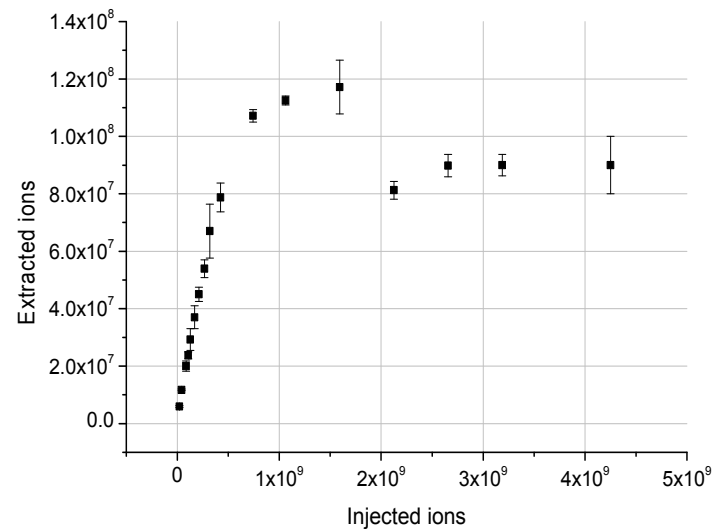
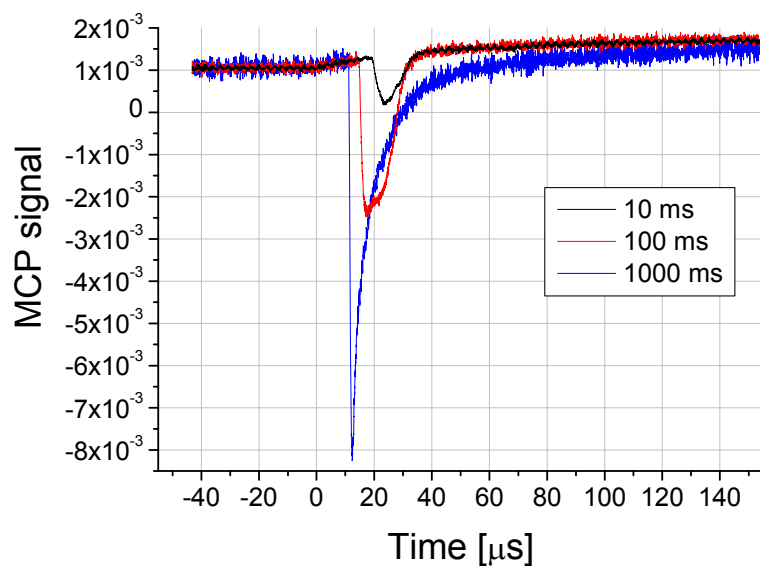
Refroidissement en mode continu



^{133}Cs

Réduction d 'émittance d'un facteur > 10

Mode « bunching »

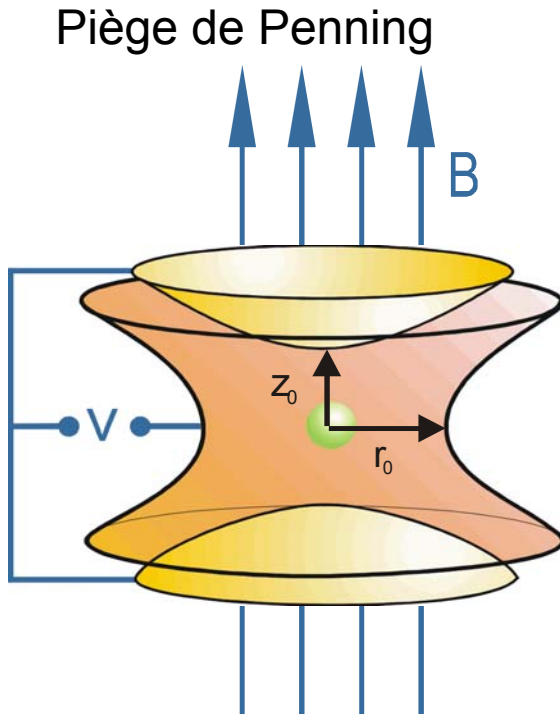


^{39}K ,
Collection time=10 ms–1 sec
Extraction time 150 us

ISCOOL, ISOLDE WS 2007

Principe de fonctionnement

Piège de Penning



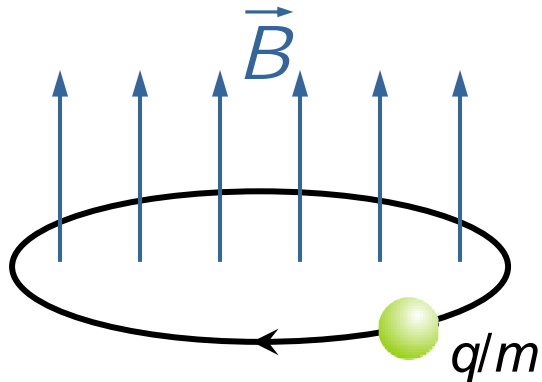
$$\phi(x, y, z) = \frac{U}{2r_0^2}(2z^2 - x^2 - y^2)$$

Mouvement en z : osc. harmonique

$$\frac{d^2x}{dt^2} = \omega_c \frac{dy}{dt} + \frac{\omega^2}{2} z, \quad \omega_{0z} = \sqrt{\frac{2qU}{mr_0^2}}$$
$$\frac{d^2y}{dt^2} = -\omega_c \frac{dx}{dt} + \frac{\omega}{2} y$$

Equations du mouvement radial couplées

Mouvements cyclotrons et magnétron

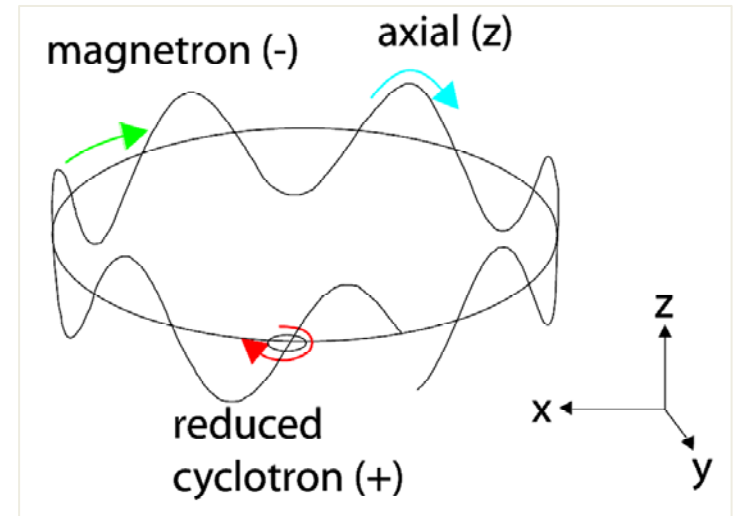


$$\omega_c = \frac{q}{m} \cdot B = 2\pi \cdot f_c$$

$$\omega_+ = \frac{\omega_c}{2} + \sqrt{\frac{\omega_c^2}{4} - \frac{\omega_z^2}{2}}$$

2 fréquences propres

$$\omega_- = \frac{\omega_c}{2} - \sqrt{\frac{\omega_c^2}{4} - \frac{\omega_z^2}{2}}$$



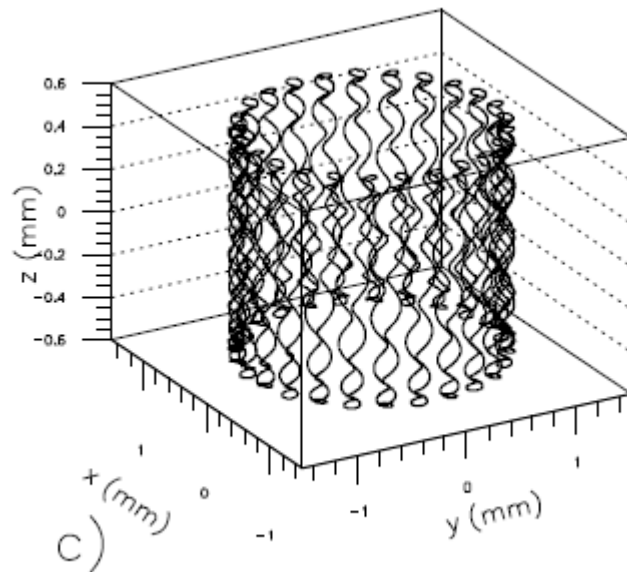
$$\omega_+ + \omega_- = \omega_c$$

$$\omega_+ \approx \omega_c \gg \omega_-$$

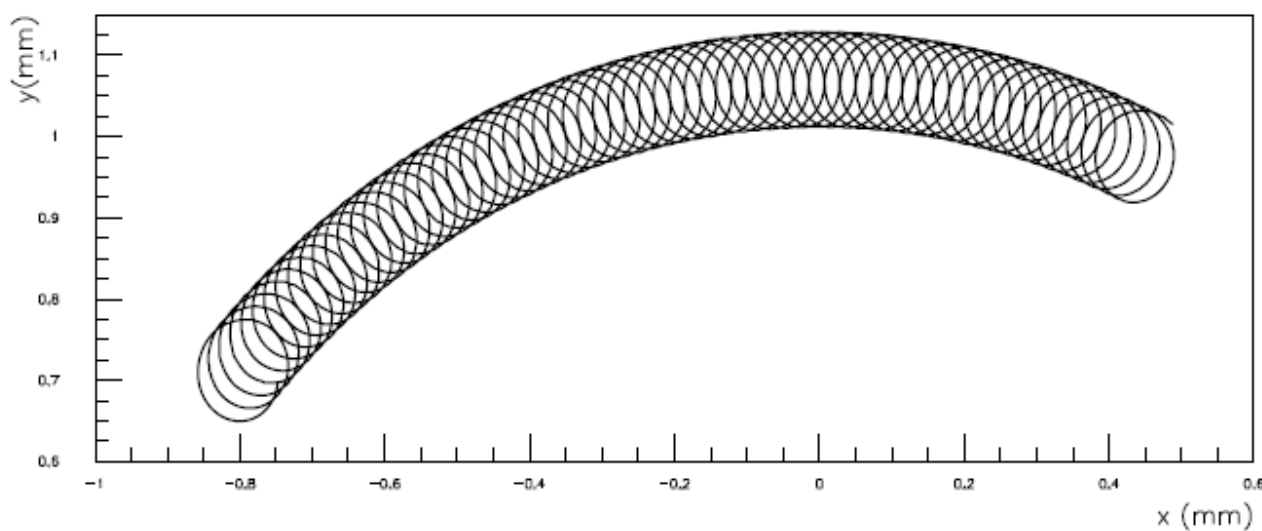
$$A=100, q=1, B=6T$$

- $f_+ \approx 1 \text{ MHz}$
- $f_- \approx 1 \text{ kHz}$

Trajectoire



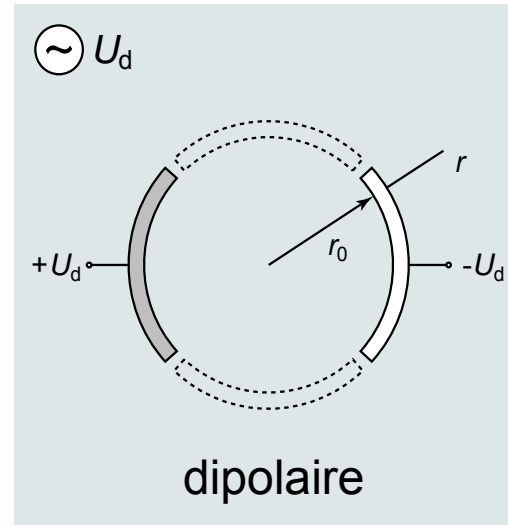
Theoretical example:
6Li+ in $B=1\text{T}$ $V_0=8\text{V}$



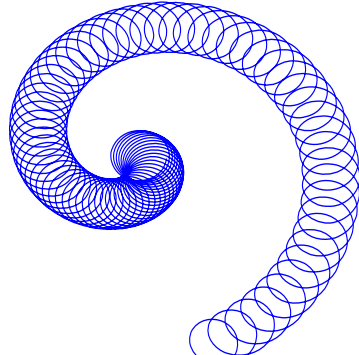
Excitation des mouvements propres

- Excitations dipolaires

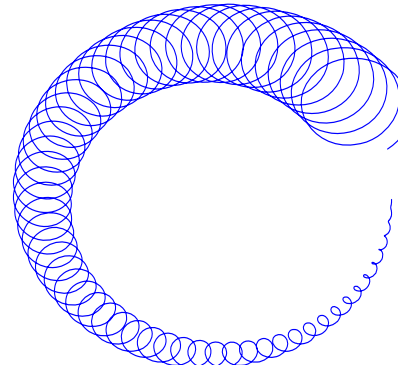
- Magnetron \diamond_-
- Cyclotron \diamond_+



Magnetron excitation: ρ_-

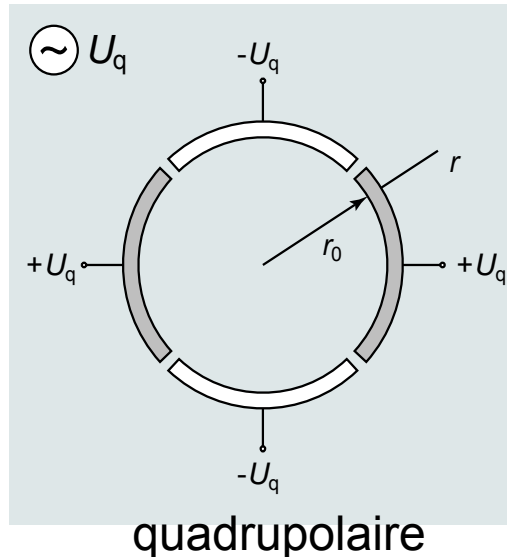


Cyclotron excitation: ρ_+



Excitation quadrupolaire \diamond_c

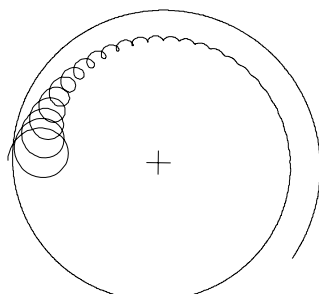
- Excitation quadrupolaire \diamond_c
 - $\diamond_c = \diamond_+ + \diamond_-$ couplage des 2 mouvements
 - Conversion du mouvement magnétron en mouvement cyclotron et vice - versa



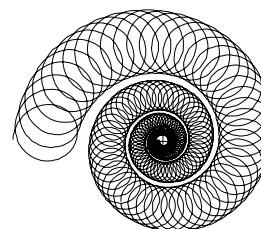
Techniques de refroidissement

- Buffer gas cooling

Gaz tampon ${}^4\text{He}$
Sans excitation



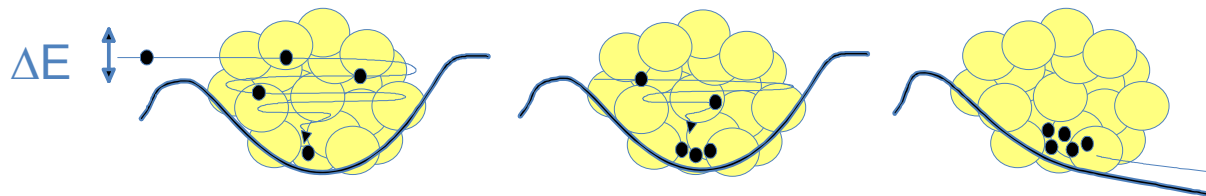
Gaz tampon
Excitation quadrupolaire à \bullet_c



force de friction $F = -\delta m v$
 $\Rightarrow r(t) \approx r(0) e^{-\delta/2 t}$
exemple $\text{Na}^+ 10^{-4}$ mbar Ne : $\delta = 400 \text{ s}^{-1}$
 $\tau_{\text{refroidissement}} \approx 20 \text{ ms}$

Couplage des mouvements
magnétron et cyclotron

Sideband Cooling

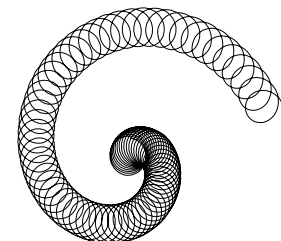


Mode pulsé
Obligatoire!

Méthode de refroidissement sélective en masse

- Excitation magnétron dipolaire

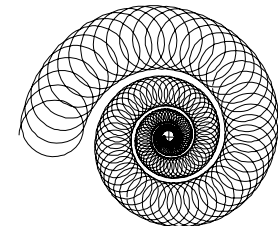
- Décentre les ions



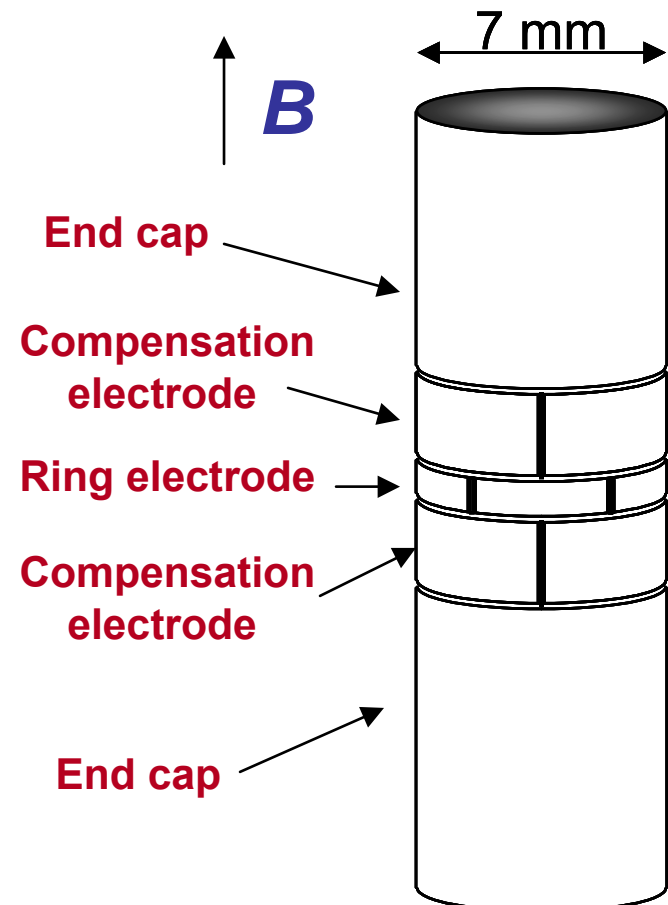
- Excitation cyclotron quadrupolaire

- Recentre les ions $\omega_{rf} = \omega_c = qB/m$

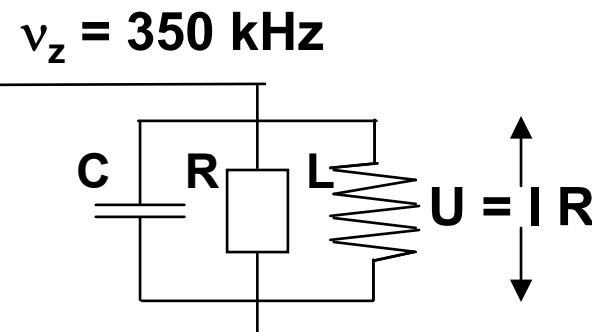
Relative accuracy:
 $(\delta m/m) \approx 10^{-5}$



Resistive cooling



induced image currents:
kinetic energy of trapped ions is
dissipated in tuned circuit ($T = 4 \text{ K}$)

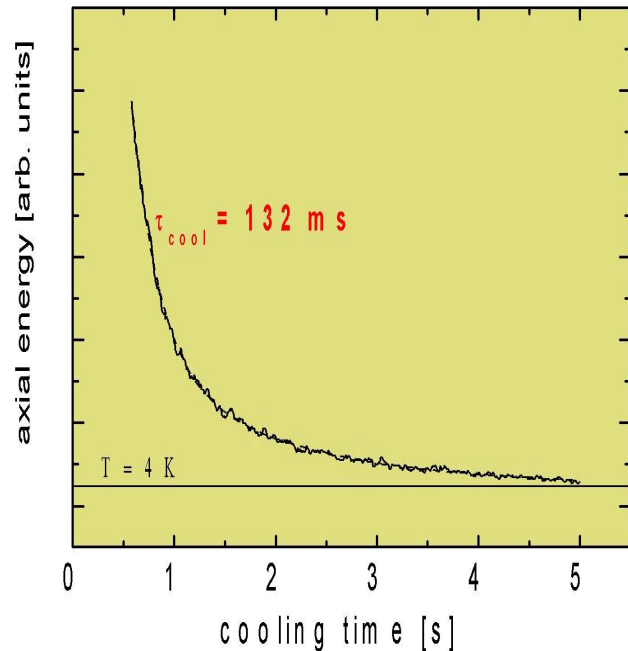


$$\frac{dE_{\text{ion}}}{dt} = P_{\text{cool}} = -I^2 R$$

$$R = Q\omega_z L$$

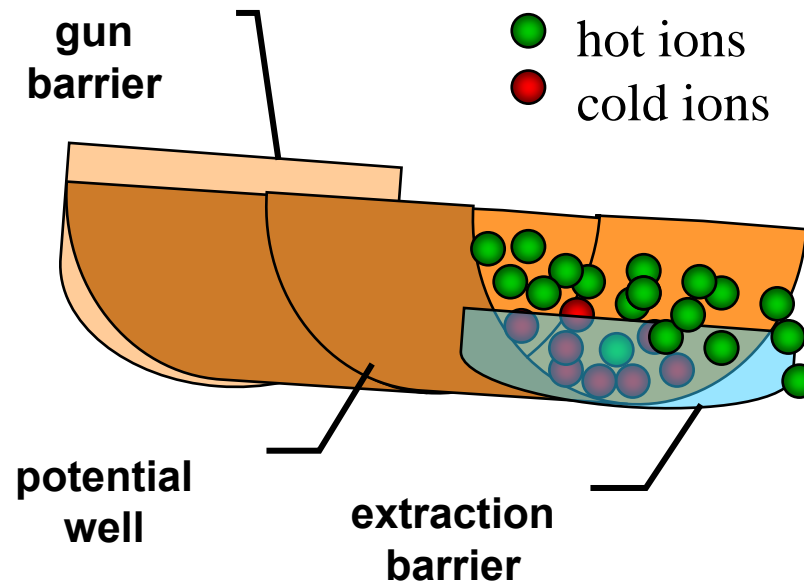
$$\Rightarrow \tau_{\text{cool}}$$

Resistive Cooling
of $^{12}\text{C}^{5+}$ to 4 K



Refroidissement évaporatif

Ions lourds dans un bain d'ions de masses légères



Les ions légers et chauds sont extraits en diminuant la barrière de potentiel

Surtout utilisés pour les sources EBIS
Peu efficace pour les pièges Penning

Electron cooling

B →

HITRAP

10keV/q

(a)

ions

electrons

(b)

-300 -200 -100 0 100 200 300

(c)

-300 -200 -100 0 100 200 300

Recombinaison quand la température des ions est trop faible!
Resistif cooling

(d)

-300 -200 -100 0 100 200 300



-300 -200 -100 0 100 200 300

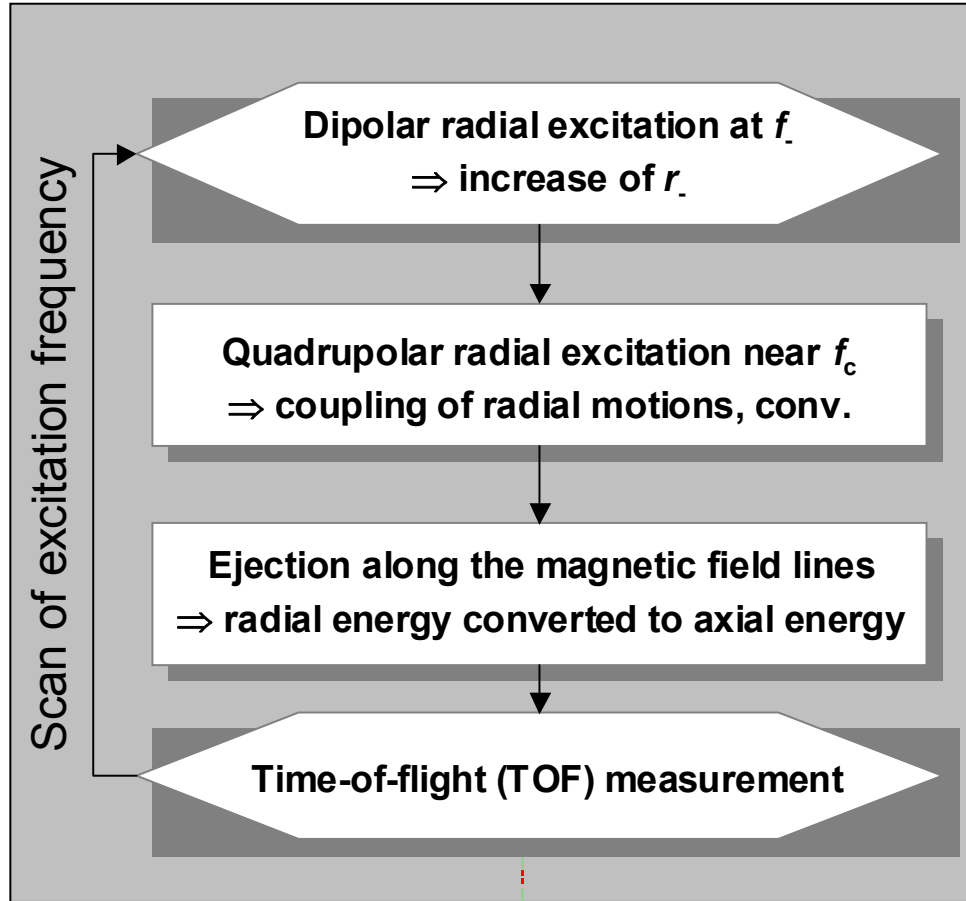
Distance from trap center (mm)

Techniques de mesure des fréquences propres

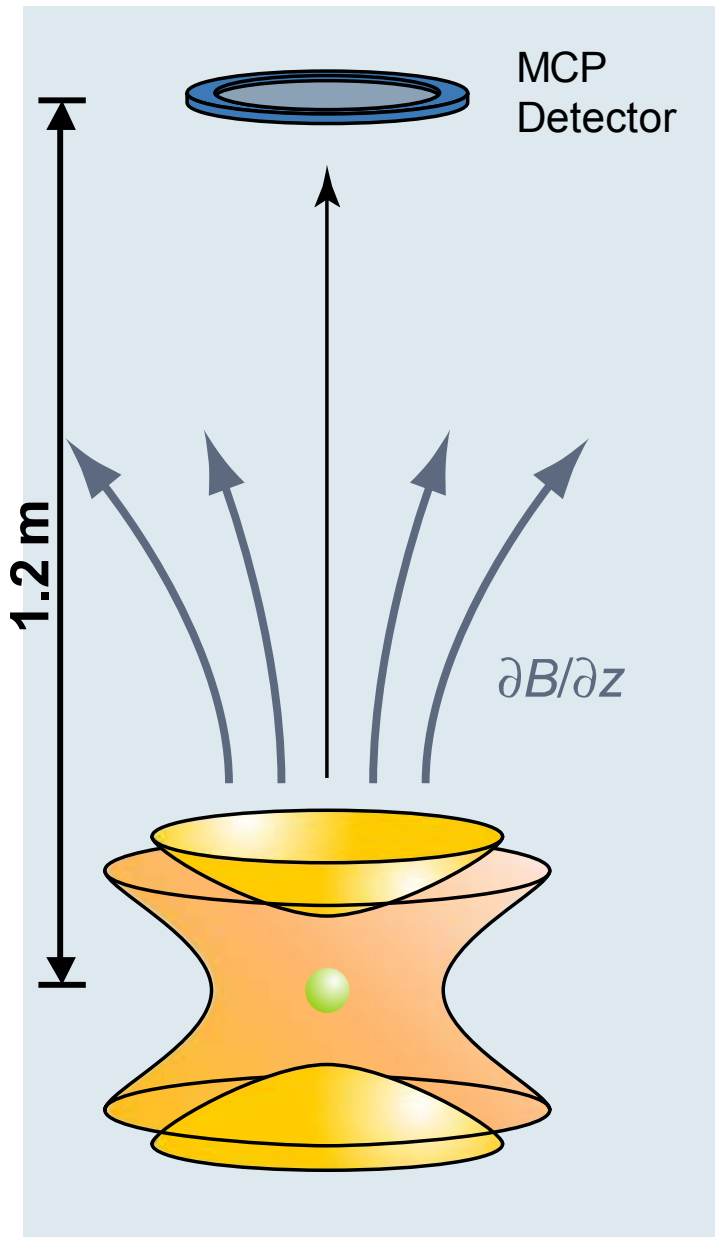
- Time of flight
- Charge induite

C
◆

Time-of-flight resonance technique



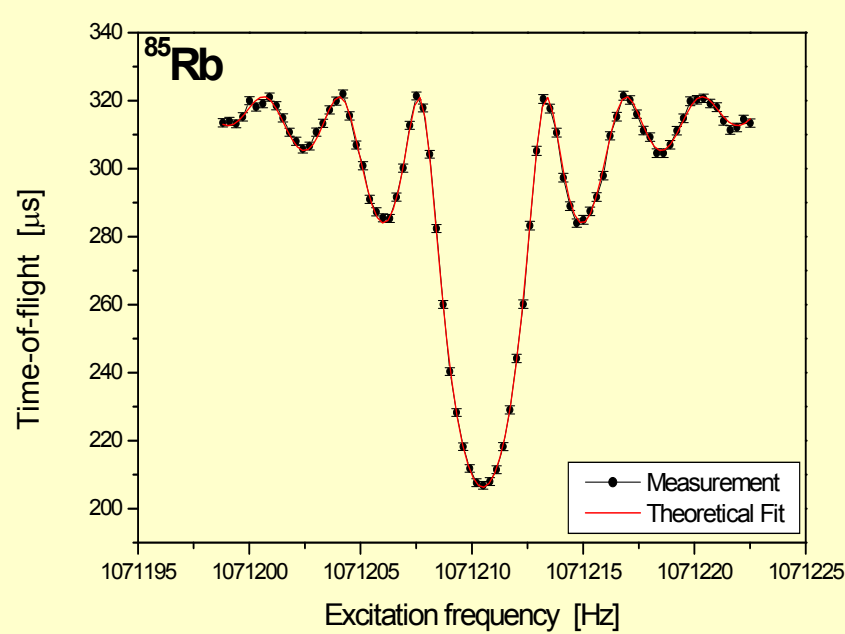
Resolving power: $R = f_{\text{exc}} T_{\text{exc}}$



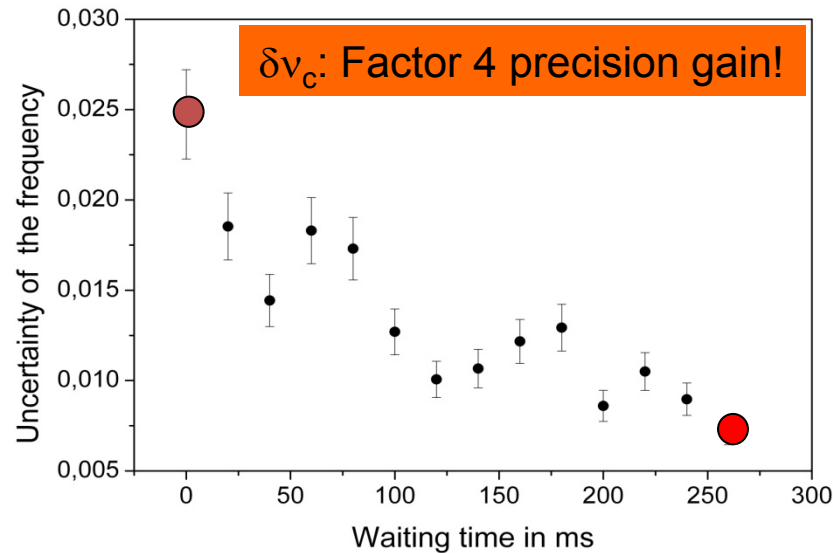
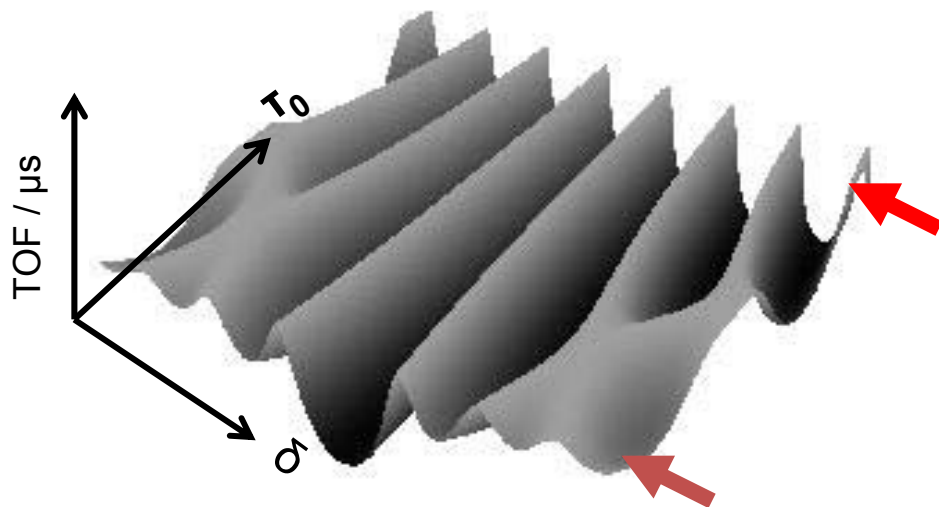
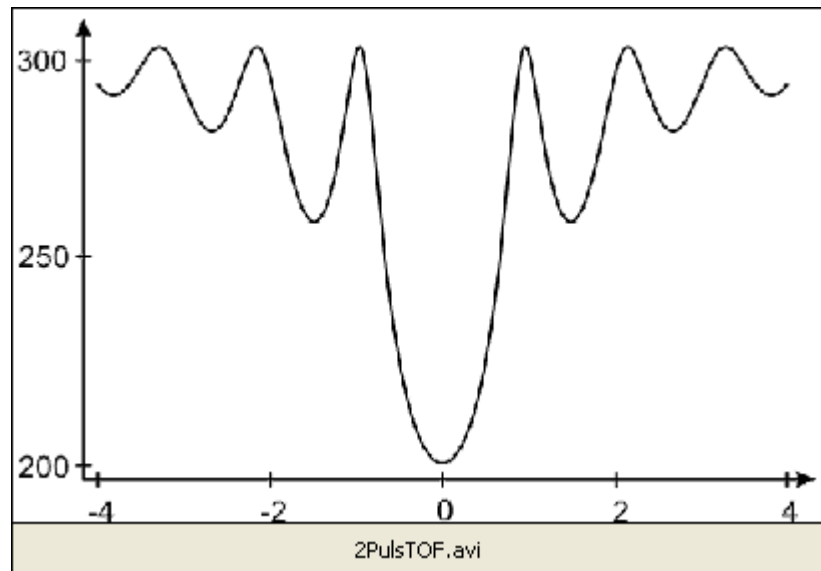
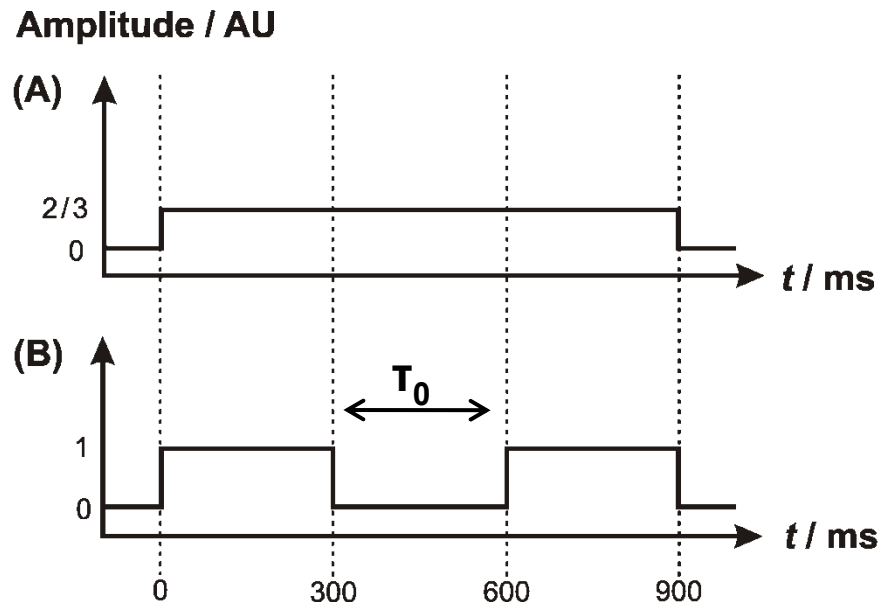
Spectre de temps de vol

- Excitation pendant une porte $\Delta t = T_{\text{exc}}$
 - Transformée de Fourier $\text{sinc}(\omega)$, largeur $1/T_{\text{exc}}$
 - Temps de vol minimal $\omega = \omega_0$ quand la conversion est
 - $R = \omega / \delta\omega = f_{\text{exc}} \nwarrow T$

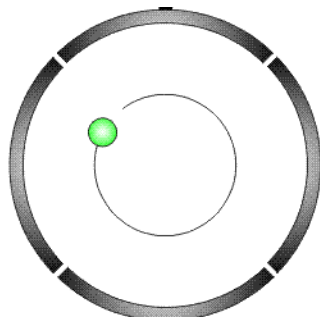
Relative accuracy:
($\delta m/m$) $\leq 10^{-7}$



Excitation Ramsey



Charge induite



ion signal

mass/frequency spectrum

Amplitude

*very small
signal ~fA*

„FT-ICR“
Fourier-Transform-
Ion Cyclotron Resonance

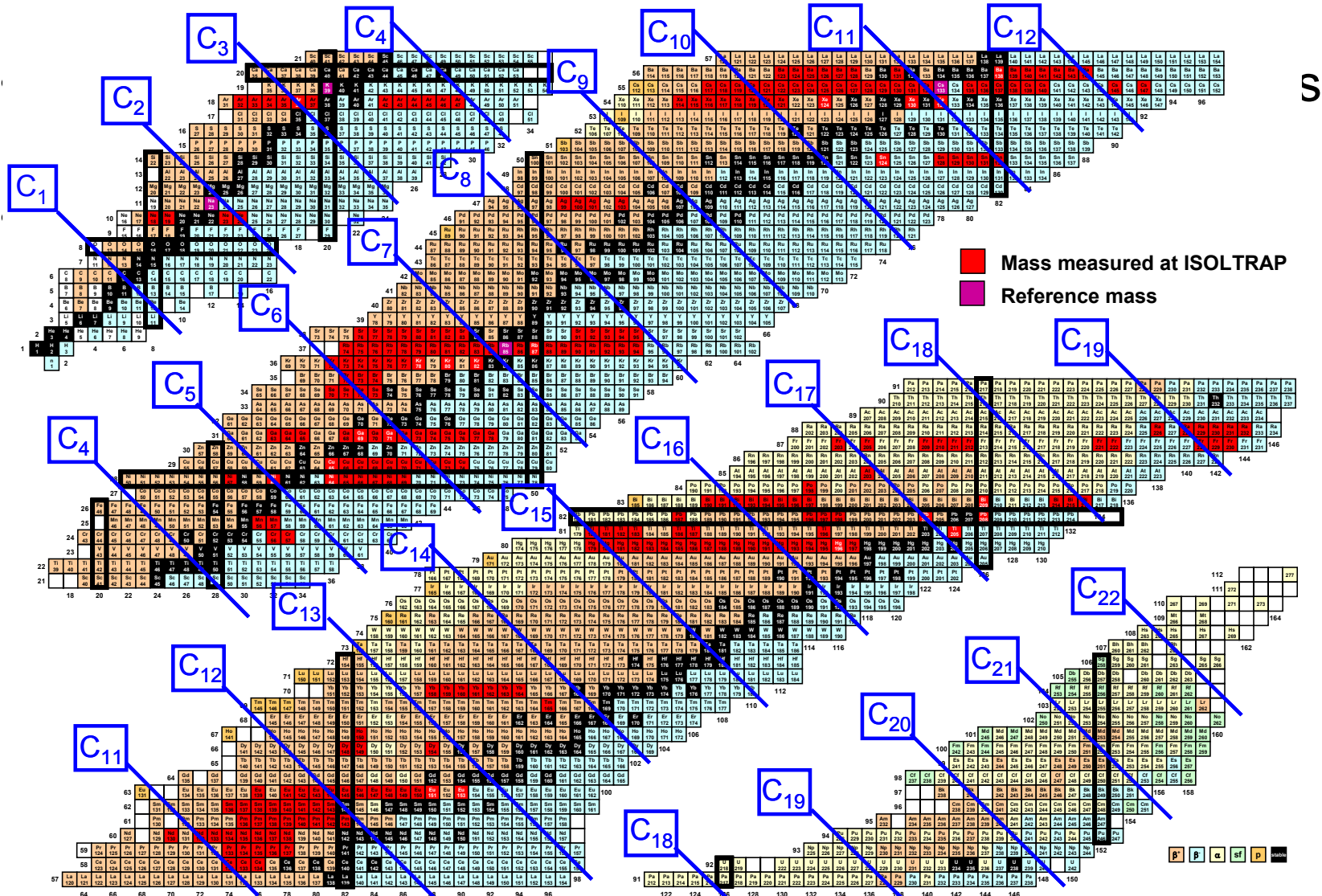
Operation of traps and electronics at **cryogenic** (4 K) temperature.

- Mass measurements on heavy and superheavy rare elements (SHIPTRAP)
- Fast identification and effective use of stored ions
- Ultra high-precision mass measurements on long-lived/stable ions

C. Weber, PhD thesis, University of Heidelberg (2004) and C. Weber *et al.*, Eur. Phys. J A 25, 65 (2005)

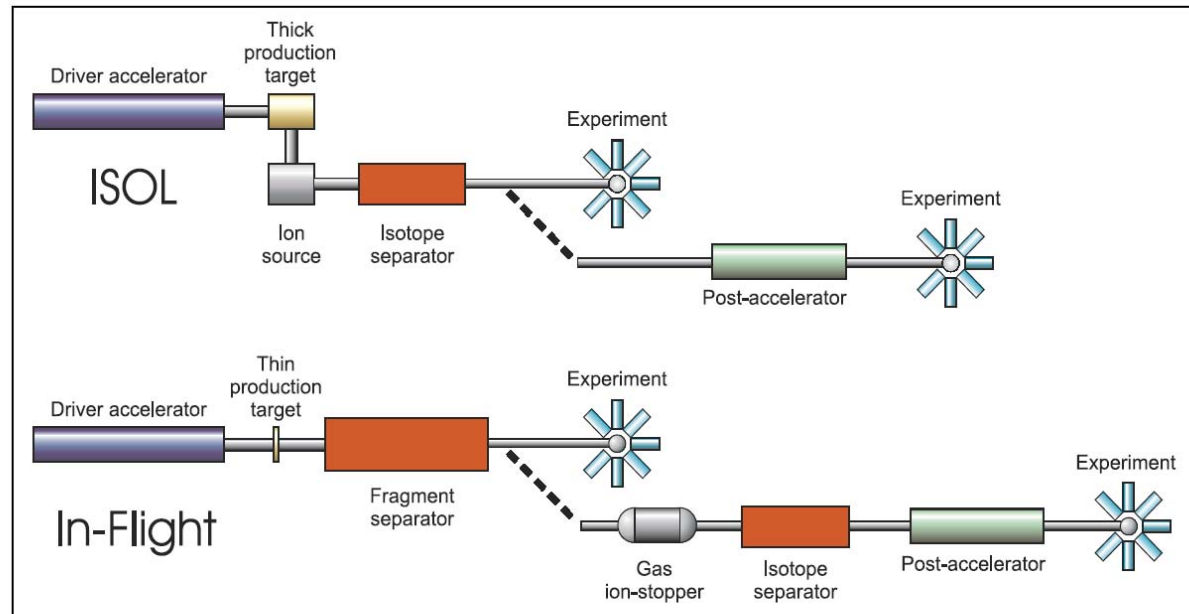
Mesure de masse

Carbon clusters



Manipulation de faisceaux d'ions radioactifs

- Faisceaux ISOL (Isotopes Separation On Line) et faisceaux in-flight



ISOLDE,
GANIL/SPIRAL,
TRIUMF, ...

GSI (FAIR project),
MSU, ANL...

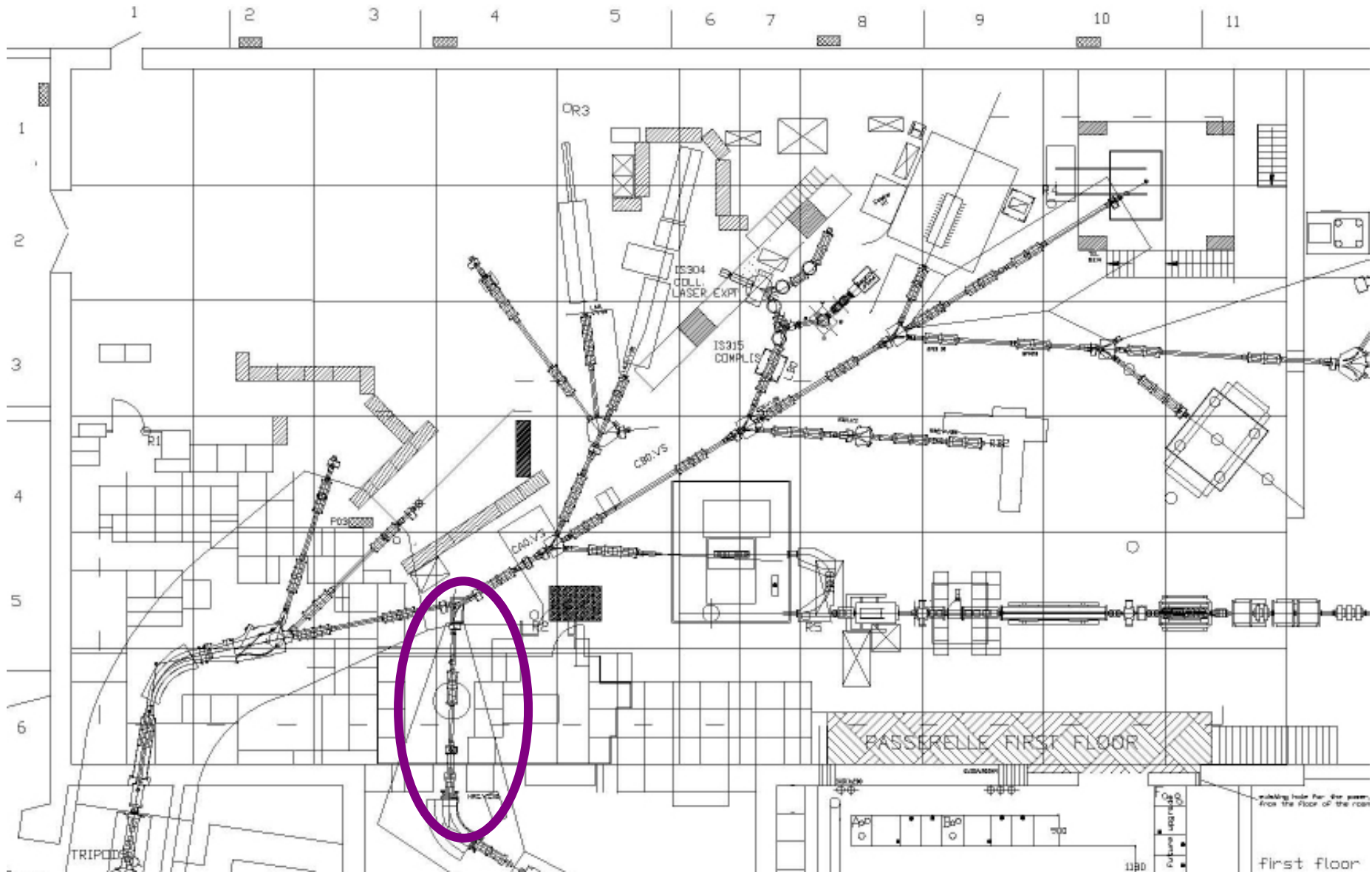
Fig 3.1: Comparison between the ISOL and In-Flight methods of producing radioactive ion beams.
Post-acceleration is possible in either case.

From the EURISOL report

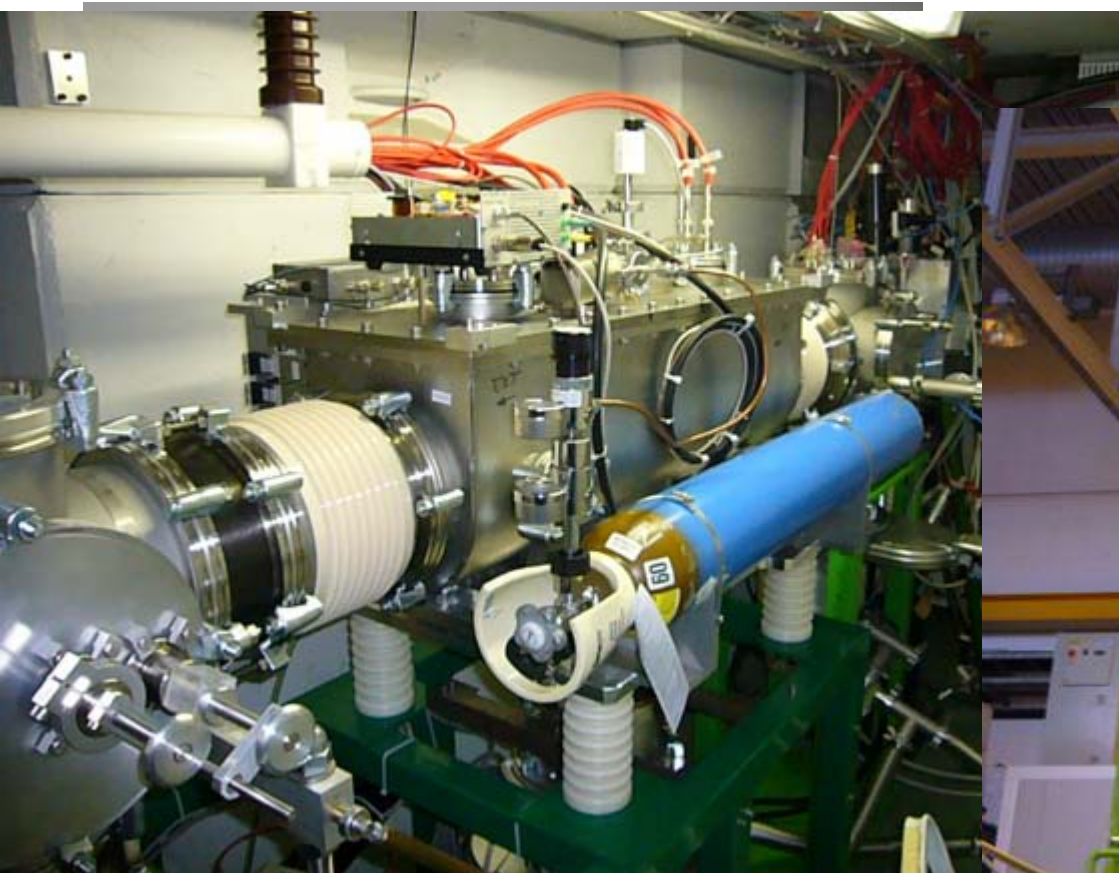
Faisceaux ISOL

- RFQ coolers
 - Réduction d'émittance du faisceau et bunching (10:1)
 - Temps record de refroidissement (<1ms)
 - De plus en plus populaires – ISCOOL desservant plusieurs lignes expérimentales, SHIRAC en développement au GANIL
 - Limites de capacité en mode bunching

ISCOOL à ISOLDE

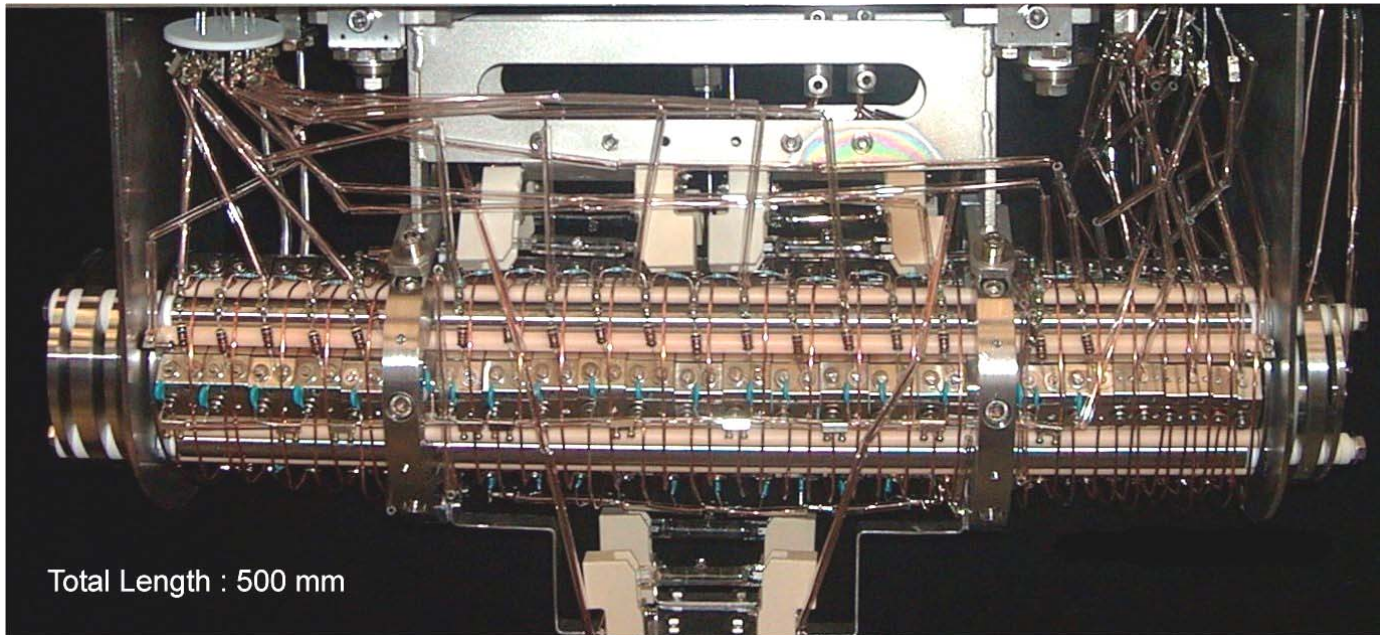


Installation ISCOOL



RFQ cooler 1^{ère} génération

LPCTRAP setup



Réduction d'émittance: $80 \pi.\text{mm}.\text{mrad}$ à 40keV $\rightarrow 10 \pi.\text{mm}.\text{mrad}$ à 100 eV

Réduction de l'espace de phase du faisceau ~ 1600 en 1 ms

Énergies thermiques 0.025 eV

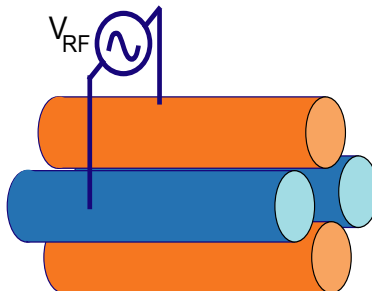
Efficacité de piégeage: <50%

Limitations en charge d'espace: 10^5 ions par paquet

ISCOOL: 2^{ème} génération



- Anneaux pour les tensions DC suivant l'axe de piégeage
- Puissance RF 400Vpp à 1MHz
- Dimensions significativement plus grandes $r_0=20\text{mm}$

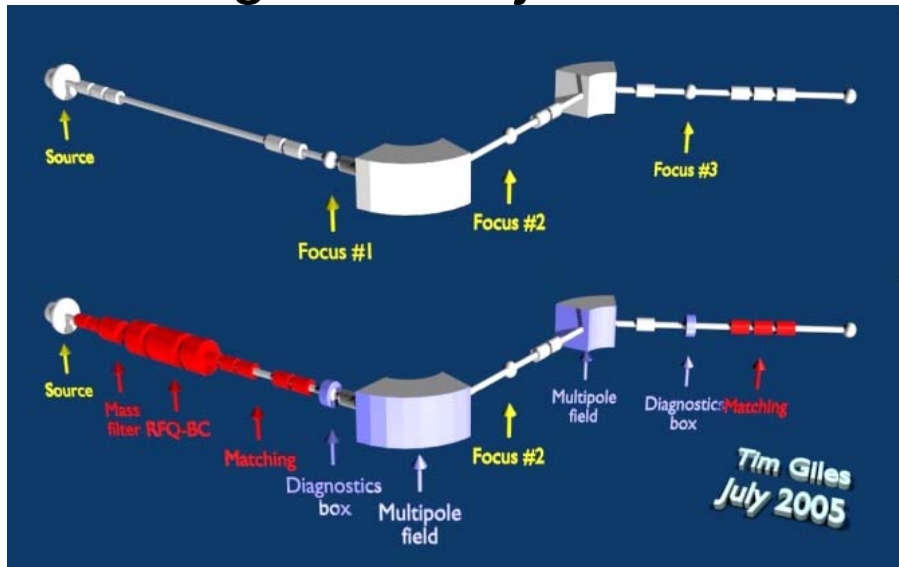


Transmission optimales
 $>70\%$ pour $m \geq 40$

Space charge limits: $10^8/\text{bunch}$
Mode CW: $\gg 100\text{nA}$

Séparation en masse

- Association avec un séparateur de masse
 - Réduction d'émittance améliore la résolution
 - Meilleure séparation de faisceaux fins
 - Meilleure homogénéité du champ magnétique le long de la trajectoire des ions



ISOLDE HRS upgrade
Tim Giles CERN AB-OP

$R=m/\delta m \sim 4000$ in best cases
Upgrade
 $R \sim 10,000$

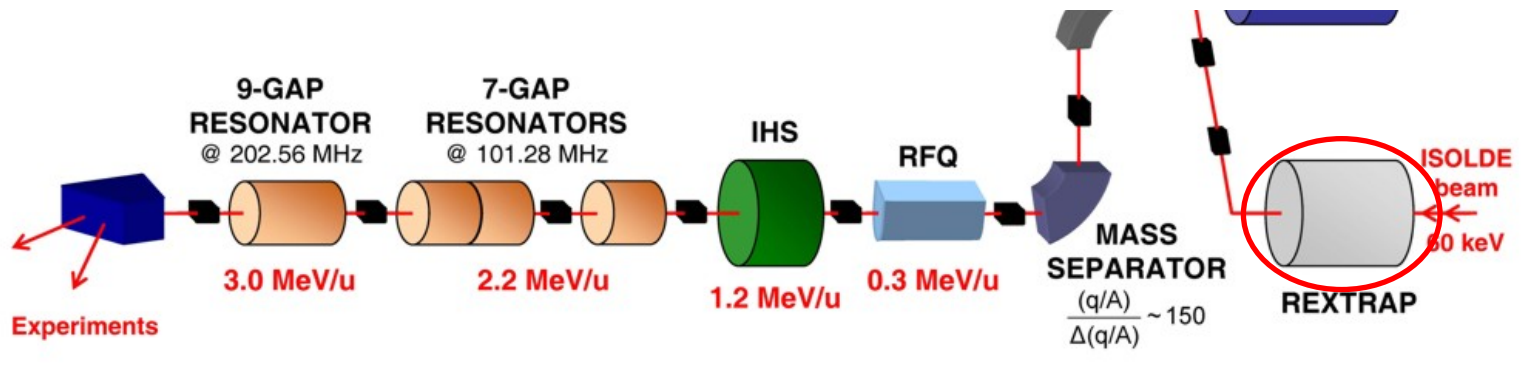
High acceptance 100%
Ultra-fast separation

Penning traps

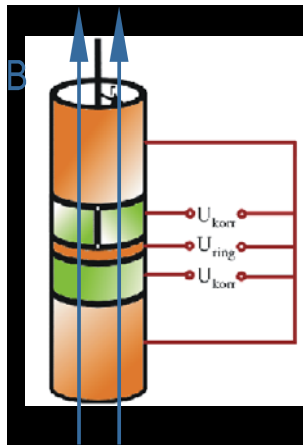
- Penning traps comme refroidisseurs regroupeurs
 - Non end-user experiment: REXTRAP à ISOLDE, selection de masse en développement
 - Trap assisted spectroscopy à JYFLTRAP, en développement auprès des spectromètres de masse
 - Possibilités de sélection en masse
 - Temps de cooling/ sélection en masse incompressibles (de 20 ms à 1s)
 - Limites de capacités

REXTRAP

REX-ISOLDE + WITCH + Trap assisted spectroscopy

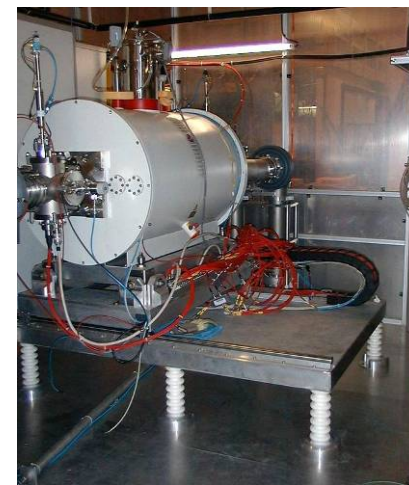


Refroidissement et regroupement



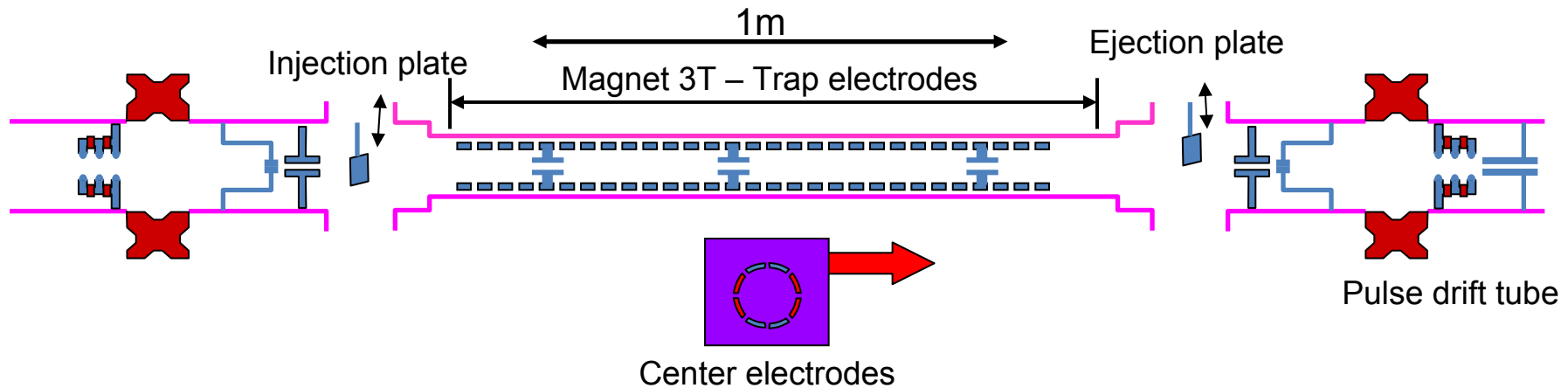
Superconducting magnet
3T

$P_{\text{Ne}} \sim 10^{-4}$ mbar in the
trapping area



Performances de REXTRAP

- Le piège Penning le plus large pour la physique nucléaire



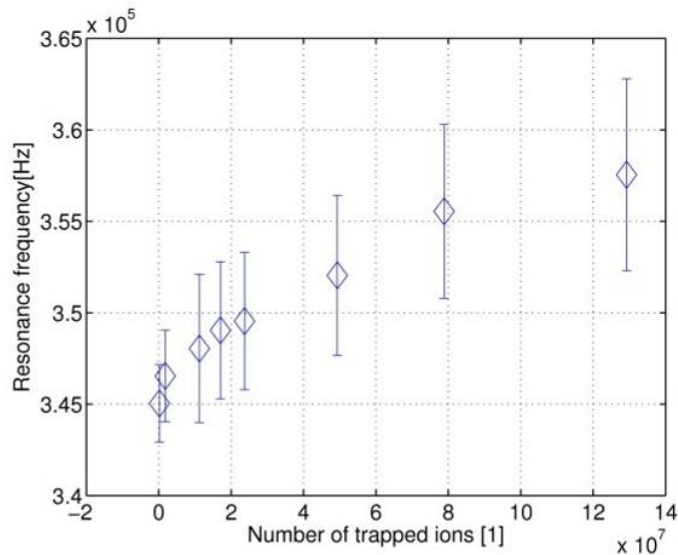
breeding time ($A/q < 4.5$)	20 ms
beam intensities	$< 10^9 / s$
ions in one charge state	$< 30\%$
injection efficiency into EBIS	>80%
efficiency REXTRAP	50%

P. Schmidt et al,
Nucl. Phys. A
701(2002)550

Un piège très large de grande capacité
Limitations de charge d'espace 10^8
ions/ cycle

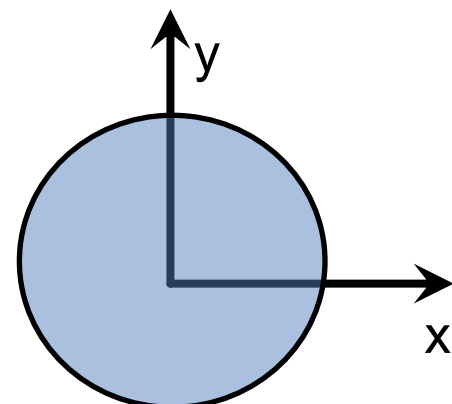
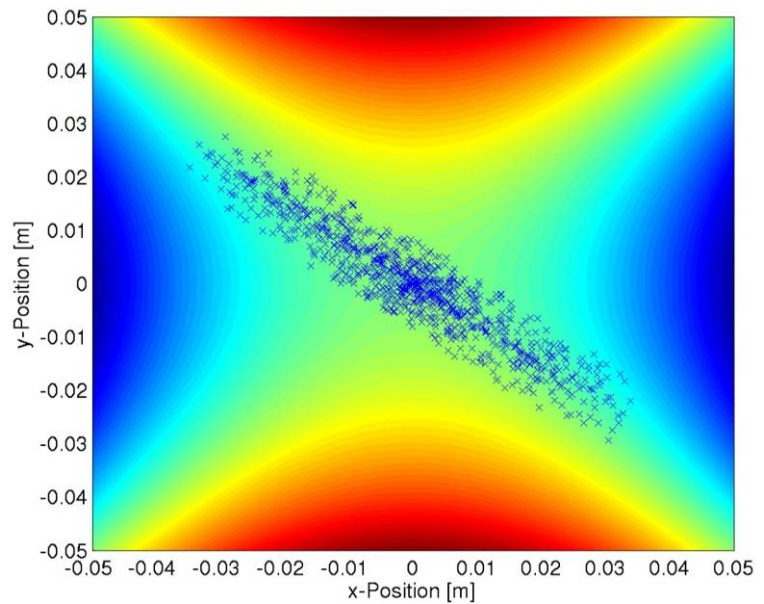
Tests de sélection en masse

Pb de charge d'espace!!



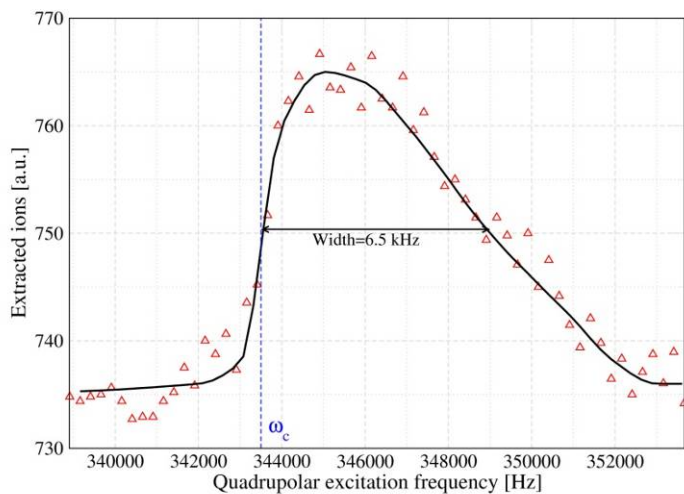
Observed resonance frequency shift and broadening as function of the number of ions

D. Beck et al, Hyp. Int. 132(2001)469

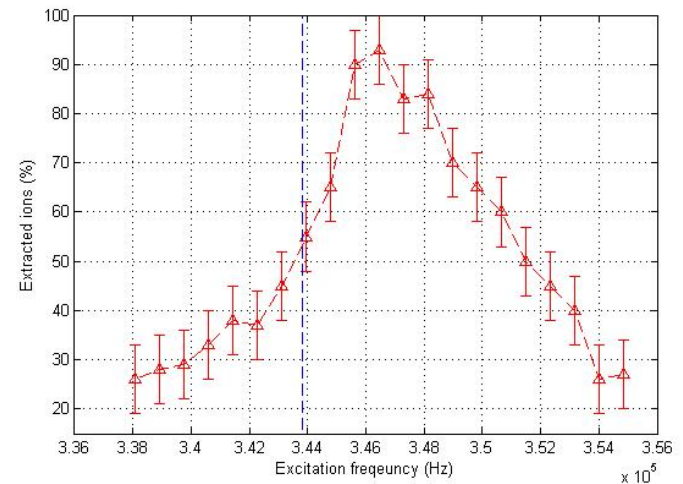


Diploma thesis Sven Sturm

Simulations vs experiments

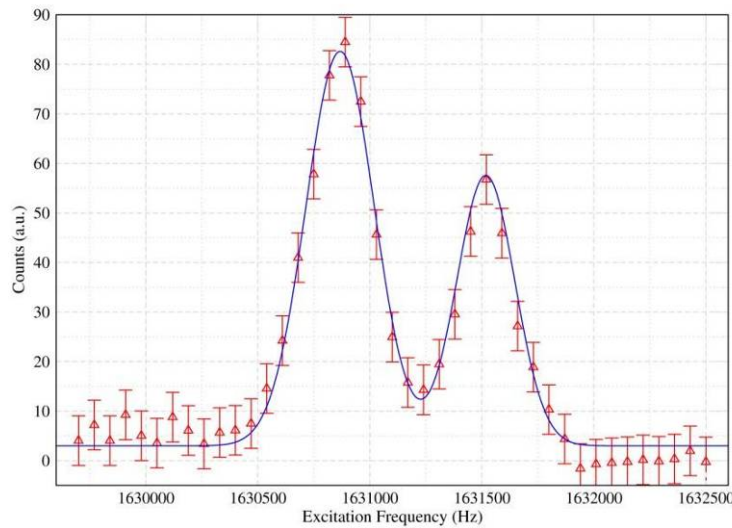


Measured resonance with $5 \times 10^6 {}^{133}\text{Cs}$ ions in Rextrap

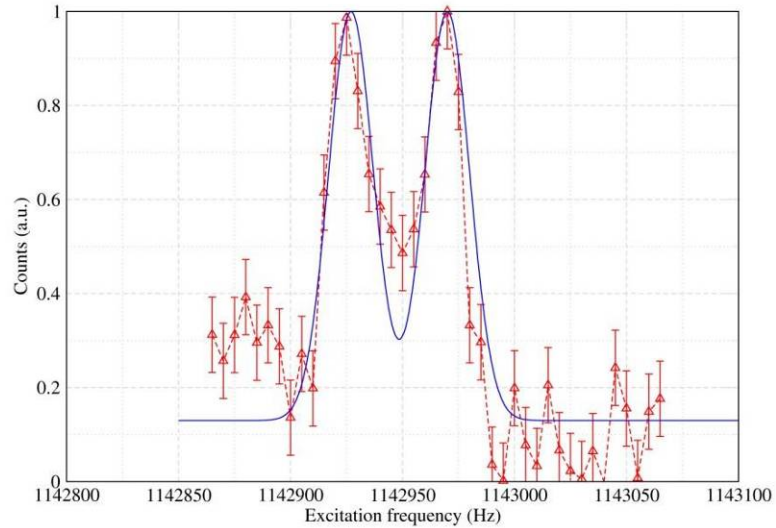


Simulated resonance with $1 \times 10^7 {}^{133}\text{Cs}$ ions, normalised to Rextrap magnetic field

Tests de séparation en ligne

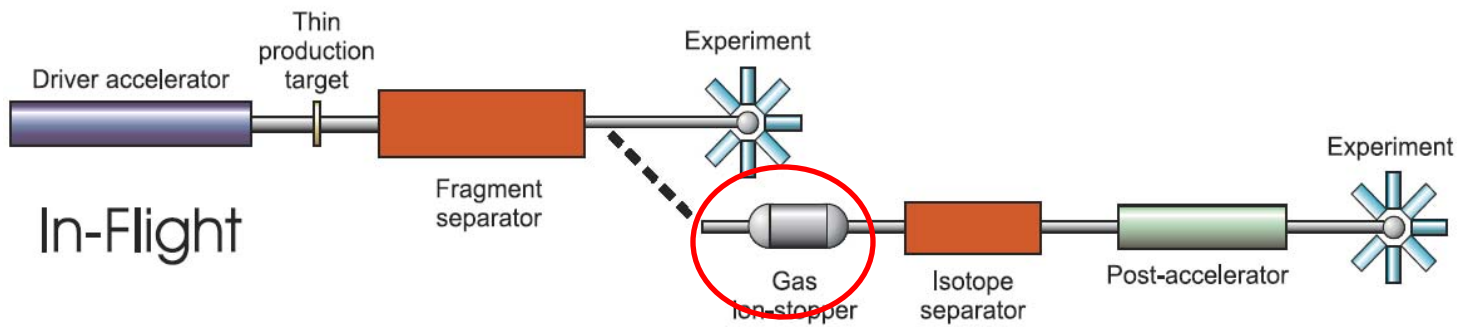


Resolving 2pA N_2 (lower frequency) and 1.5pA CO, both mass 28 (Error bars derived from statistical fluctuations)



Resolving approx. 0.8pA ^{40}K (lower frequency) and 0.8pA ^{40}Ca (Error bars derived from statistical fluctuations) **Resolving Power~ $4.5 \cdot 10^4$**

Faisceaux in-flight



Gas stopping of fast projectile fragments

- Study of gas stopping of fast beams (>50 MeV/u) in linear gas cells

– **NSCL** (high-pressure gas cell) :

90 - 150 MeV/u Si, P, Ca, S, Ge, As, Se, Br

NIM A540(2005)245, NIM A522(2004)212,
NIM A531(2004)416, Nucl. Phys. A746(2004)655c

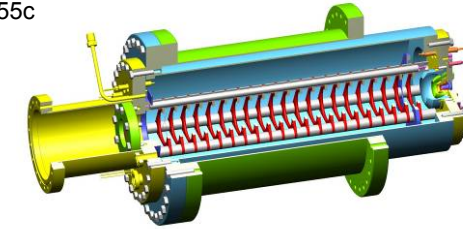
– **RIKEN** (low-pressure gas cell) :

50 -70 MeV/u Li, Be

Rev. Sci. Instr. 76(2005)103503,
NIM A532(2004)40, NIM B204(2003)570

– **GSI** (low-pressure ANL gas catcher):

280 MeV/u Cr



- Linear gas cells work:

NSCL first to start experimental program with stopped fast beams (LEBIT):

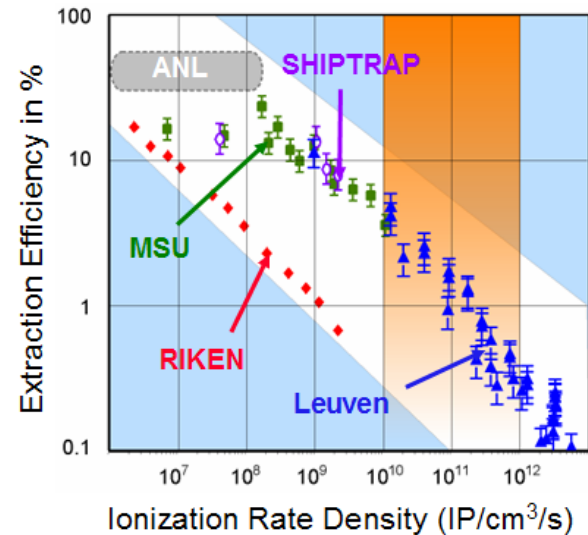
Penning trap mass measurements of rare isotopes from projectile fragmentation

Since summer 2005: ^{33}Si , ^{29}P , ^{34}P , ^{37}Ca , ^{38}Ca , ^{40}S , ^{41}S , ^{42}S , ^{43}S , ^{44}S , ^{63}Ga , ^{64}Ga , ^{64}Ge , ^{65}Ge , ^{66}Ge ,
 ^{66}As , ^{67}As , ^{68}As , ^{80}As , ^{68}Se , ^{69}Se , ^{70}Se , ^{81}Se , $^{81\text{m}}\text{Se}$, $^{70\text{m}}\text{Br}$, ^{71}Br

- Linear gas cells have limitations!

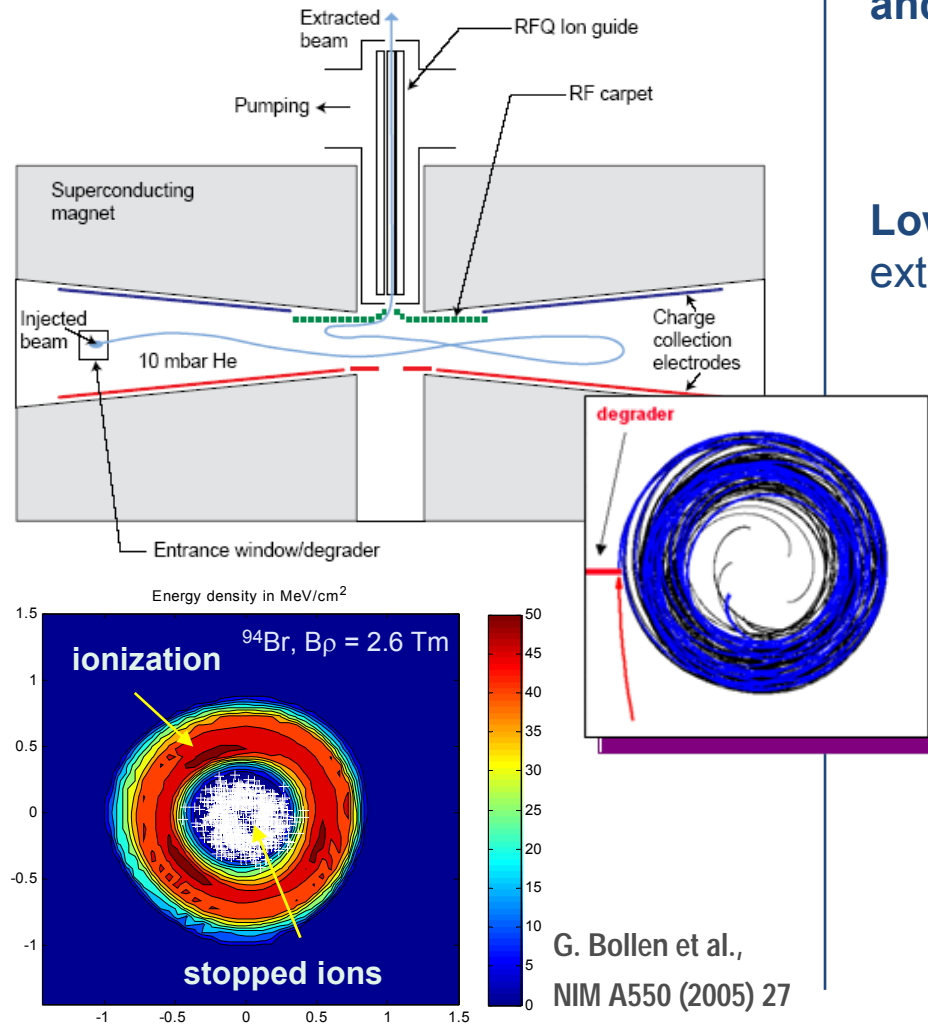
- Rate-dependent extraction efficiencies limit experimental opportunities
- Average extraction times of about 100 ms do not match advantages of in-flight production

Ionization rate density is critical parameter →



An advanced concept - the cyclotron gas stopper

Gas-filled focusing cyclotron magnet + RF guiding techniques

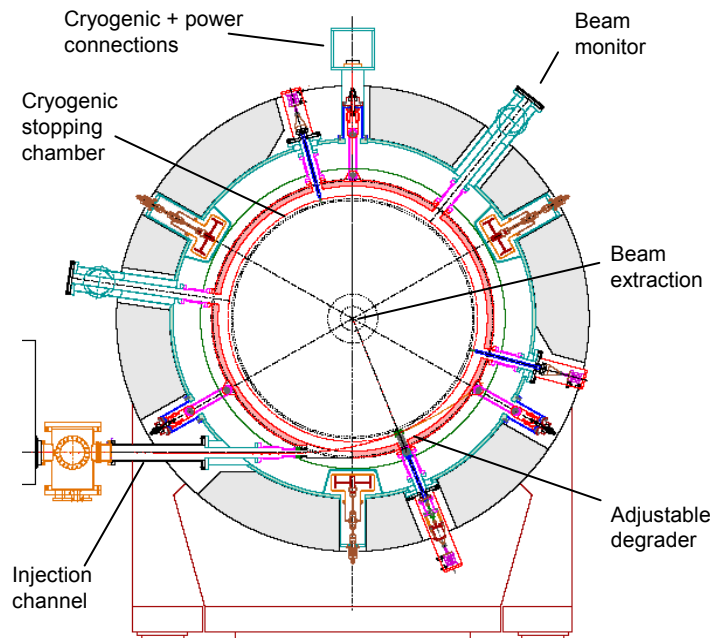


Separation of stopped-ion distribution and region of maximum ionization

→ **Beam rate capability > 10⁸/s for 100 MeV/u fragments**

Low pressure (10 mbar typical) + short extraction path

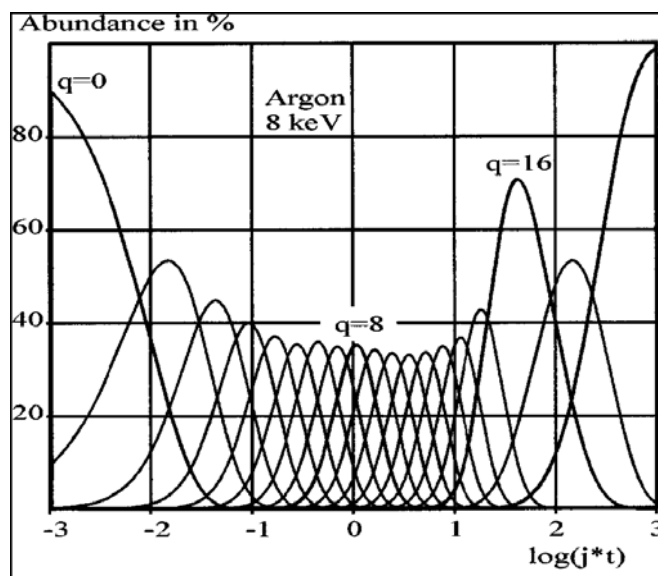
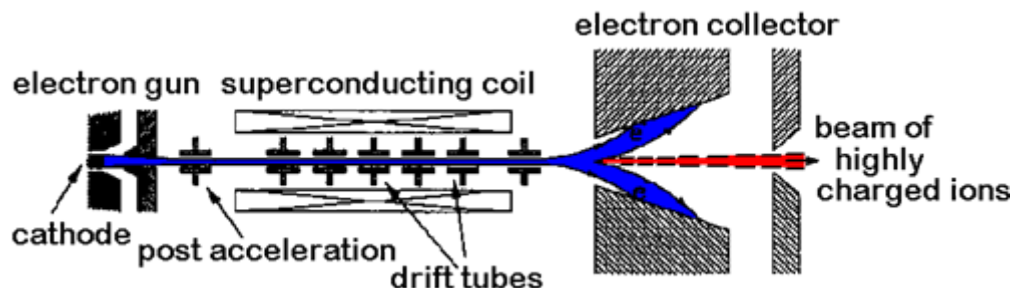
→ **Extraction times < 10 ms**



- Concept fulfills requirements of next generation facility
- Full scale system under design at MSU – will be used at ISF

Pièges électromagnétiques au sens large

- Sources EBIS
 - Penning trap + electron beam!



E. D. Donets, V. I. Ilyushchenko
and V. A. Alpert, JINR-P7-4124,
1968

E. D. Donets, Rev. Sci. Instrum.
69(1998)614

Etat de charge moyen

$$\bar{q} \sim \log(j \cdot \tau)$$

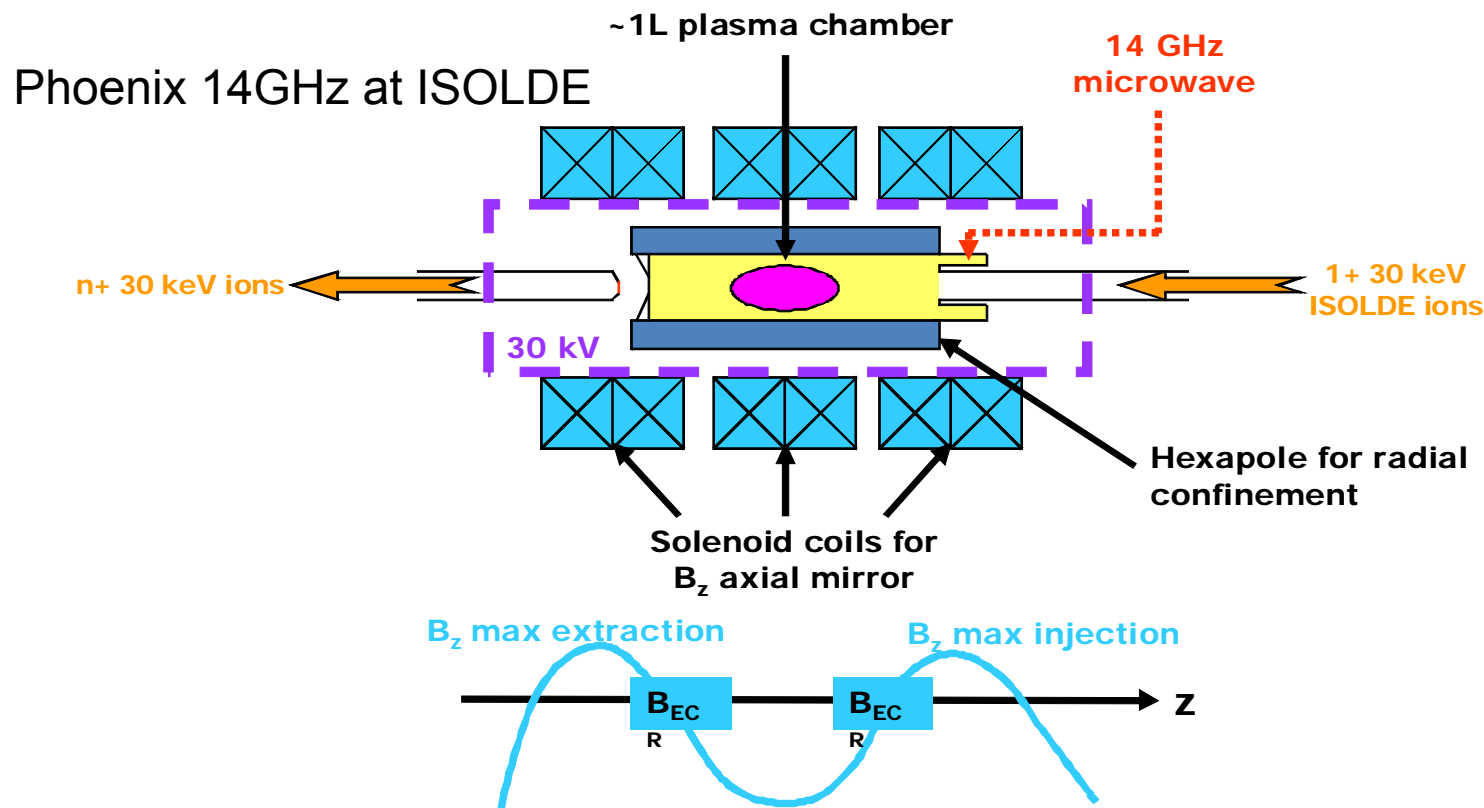
Capacité de charges élémentaires

$$Q = 3.36 \cdot 10^{11} L \cdot I_e / E^{-1/2}$$

Contrôle de l'état de charge

Régime essentiellement pulsé

Sources ECR

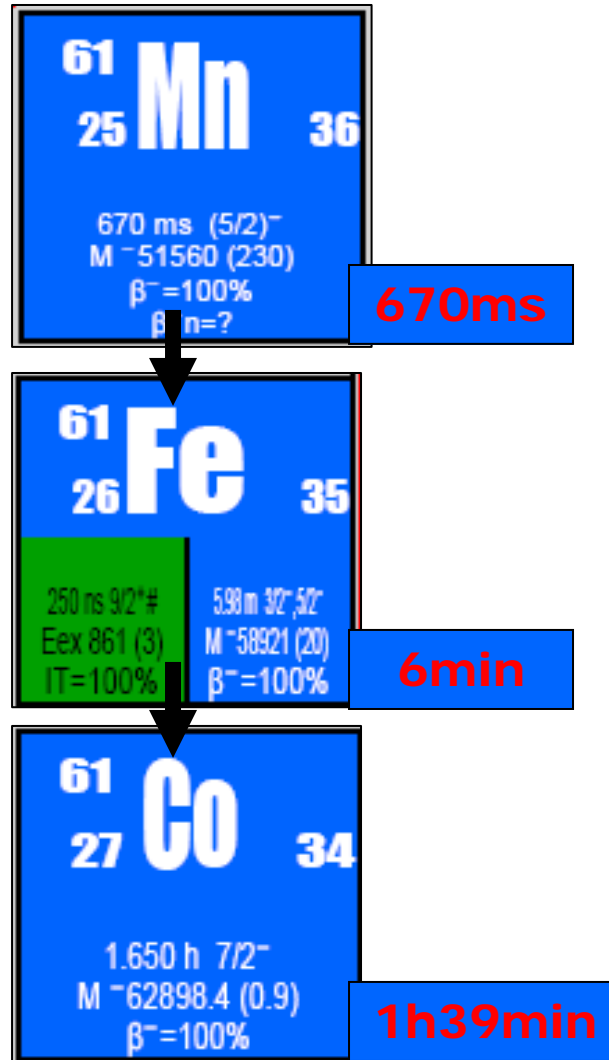


R. Geller, *Electron Cyclotron Resonance Ion Source and ECR plasmas*,
IOP, Bristol, UK, 1996.

$$f_{RF} = qB_{ECR}/m \quad n_e \sim f_{RF}^2$$

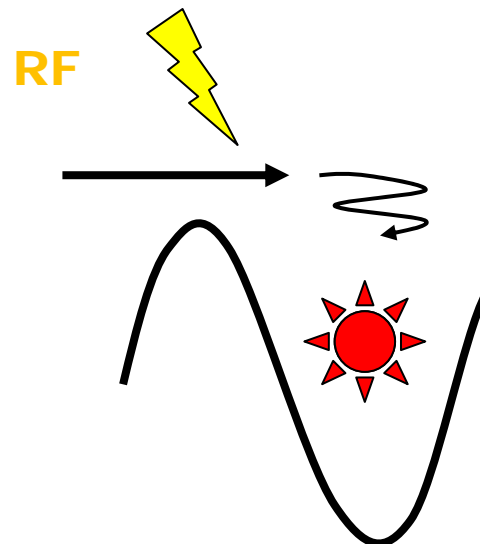
Régime naturellement continu, peut être pulsé

Charge breeding of daughter nuclides



Measurement cycle:

1. ECR plasma is on
2. ^{61}Mn injected into the ECR



B field in a
trap configuration

Pièges à ions

Ecole Joliot-Curie
Physique nucléaire instrumentale
22-27 Septembre 2008
Seignosse

P. Delahaye

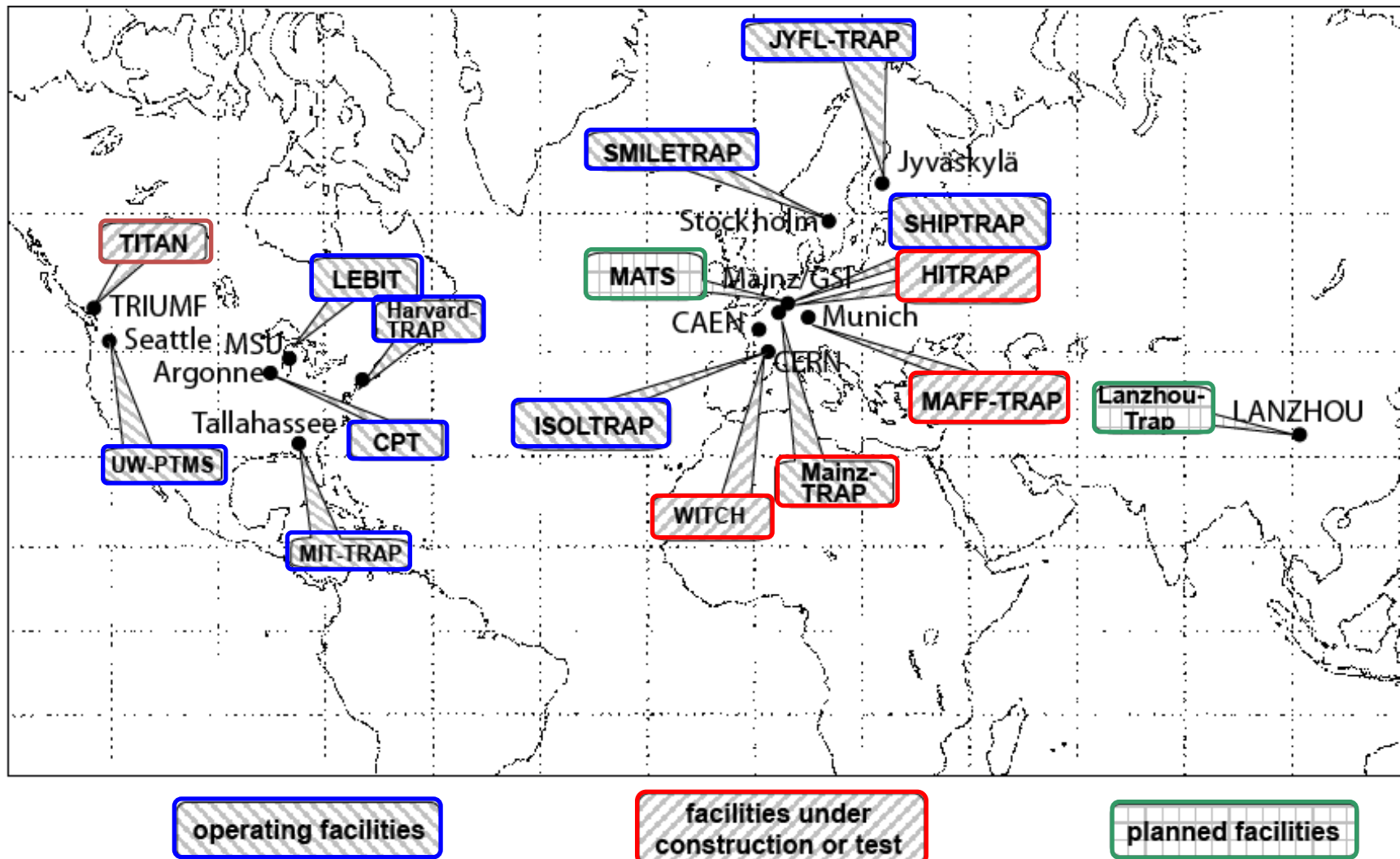
Applications des pièges électromagnétiques à la physique nucléaire et des interactions fondamentales

- Penning trap mass spectrometry
- Etude de la désintégration β
- Spectroscopie collinéaire laser
- Antihydrogène et CPT

Requirements for mass spectrometry

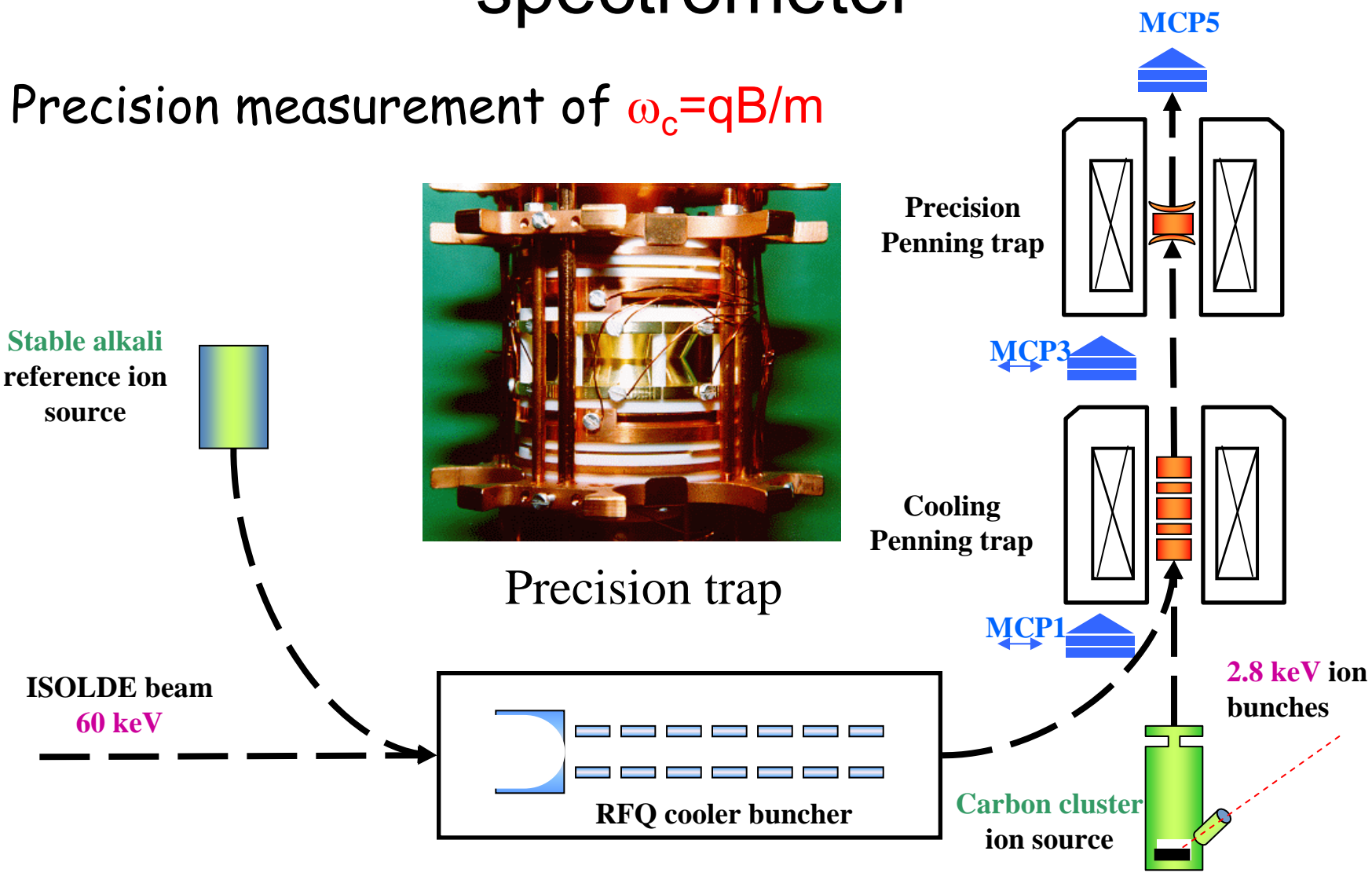
K. B., Phys. Rep. 425, 1-78 (2006)	$\delta m/m$
General physics & chemistry	$\leq 10^{-5}$
Nuclear structure physics - separation of isobars	$\leq 10^{-6}$
Astrophysics - separation of isomers	$\leq 10^{-6}$
Weak interaction studies	$\leq 10^{-8}$
Metrology - fundamental constants	$\leq 10^{-9}$
CPT tests	$\leq 10^{-10}$
QED in highly-charged ions - separation of atomic states	$\leq 10^{-11}$

Facilities for mass spectrometry



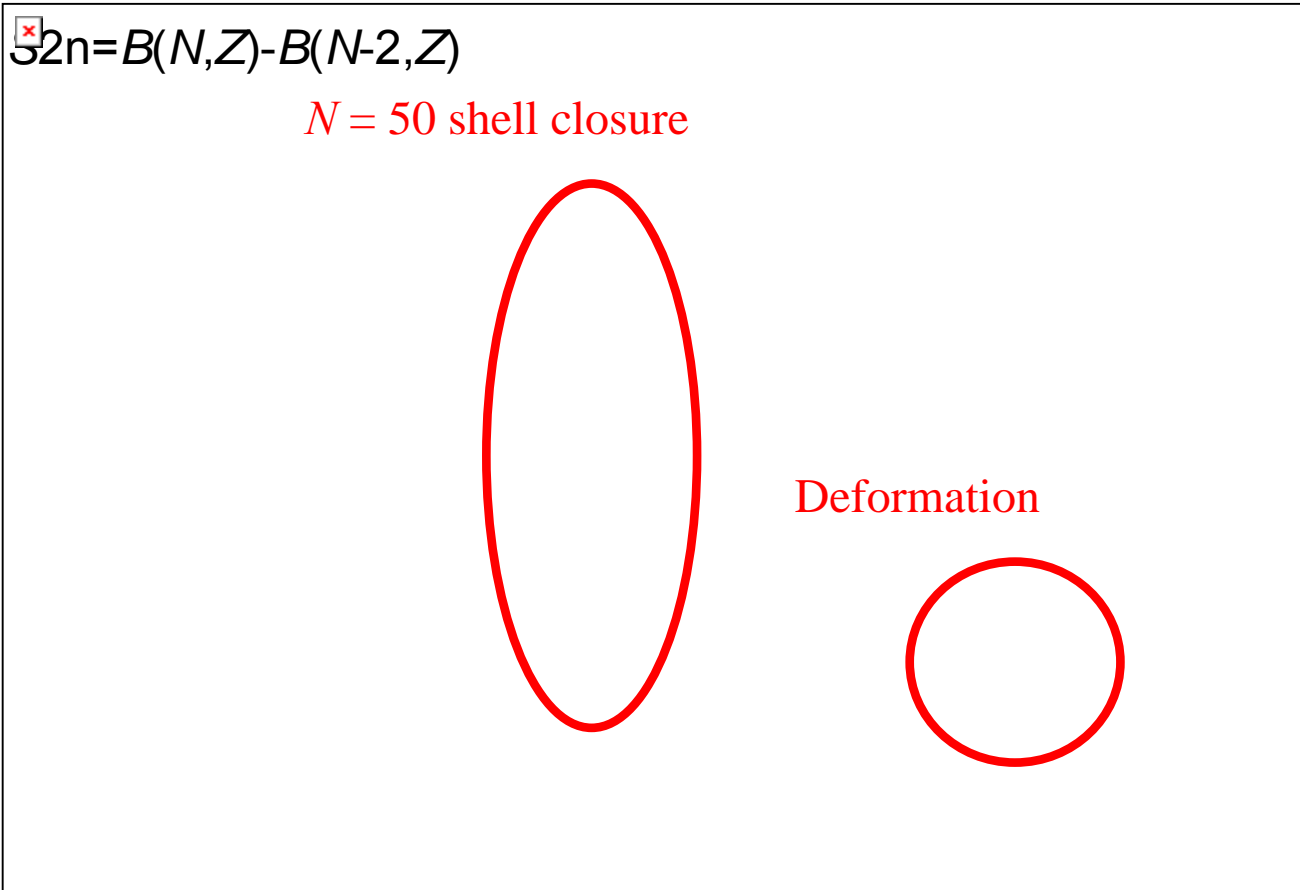
The ISOLTRAP mass spectrometer

Precision measurement of $\omega_c = qB/m$



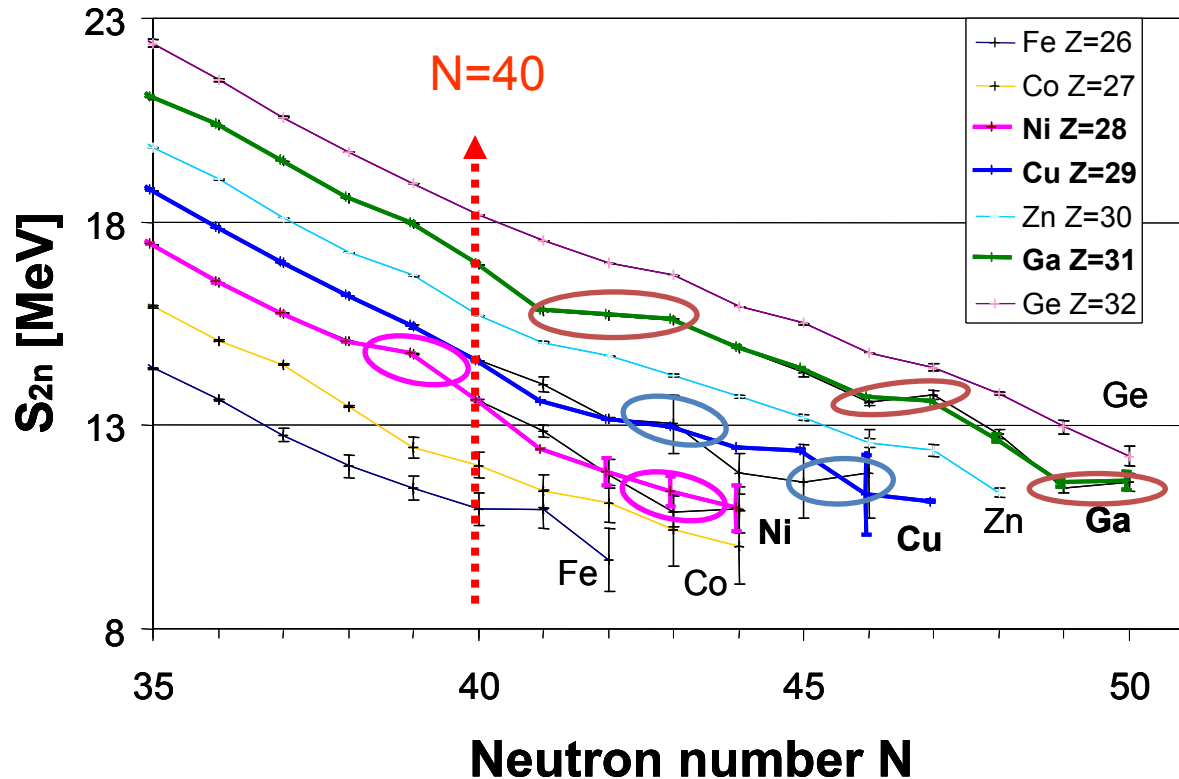
Structure nucléaire

$$S_{2n} = B(N, Z) - B(N-2, Z)$$



Inspection de la surface de masse

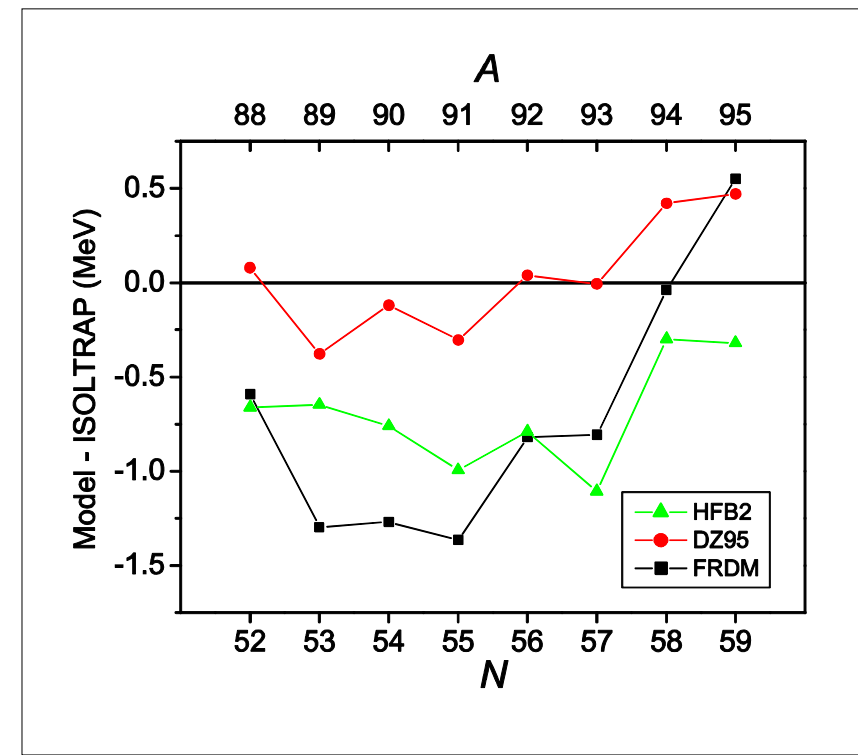
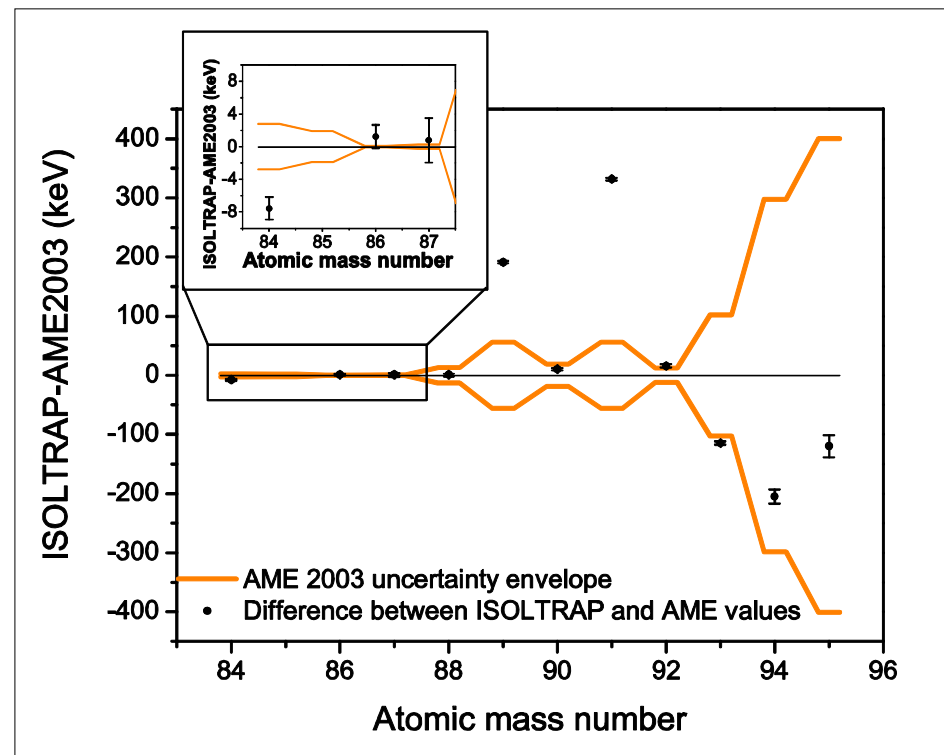
Mid-shell effects around N=40



Cu, Ga, Ni isotopic chains measured – Céline Guénault et al, Phys. Rev. C **75**, 044301 (2007)

Test des modèles de masse

- Exemple: $^{88-95}\text{Kr}$ mass measurements



Astrophysique nucléaire

- Nucleosynthesis in stars

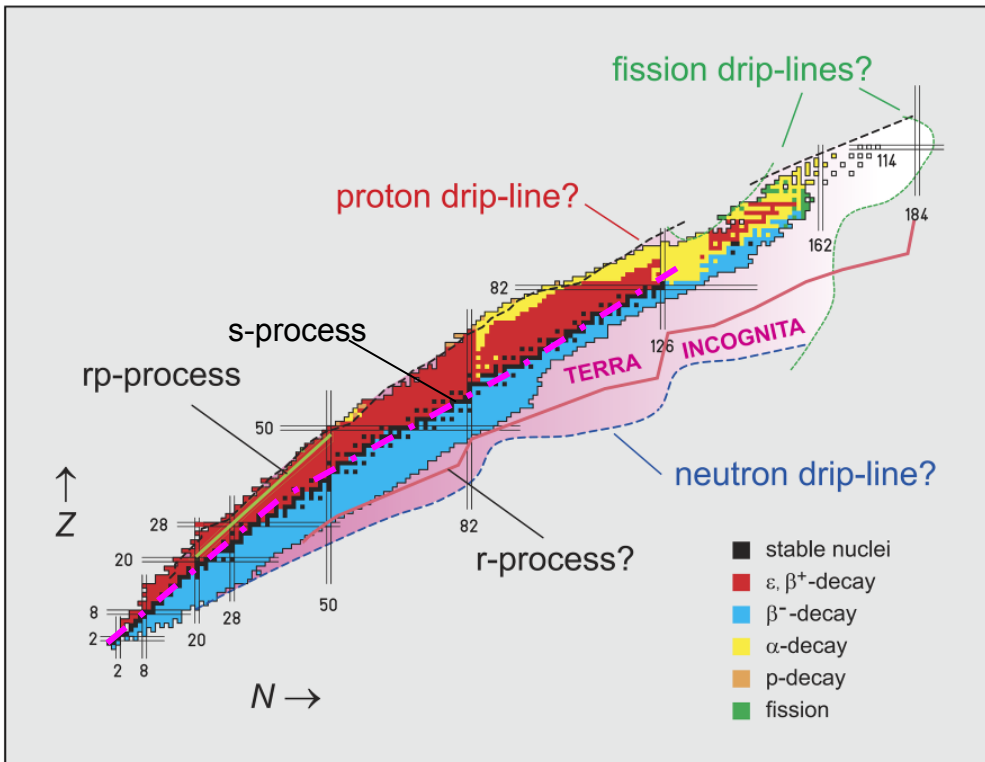
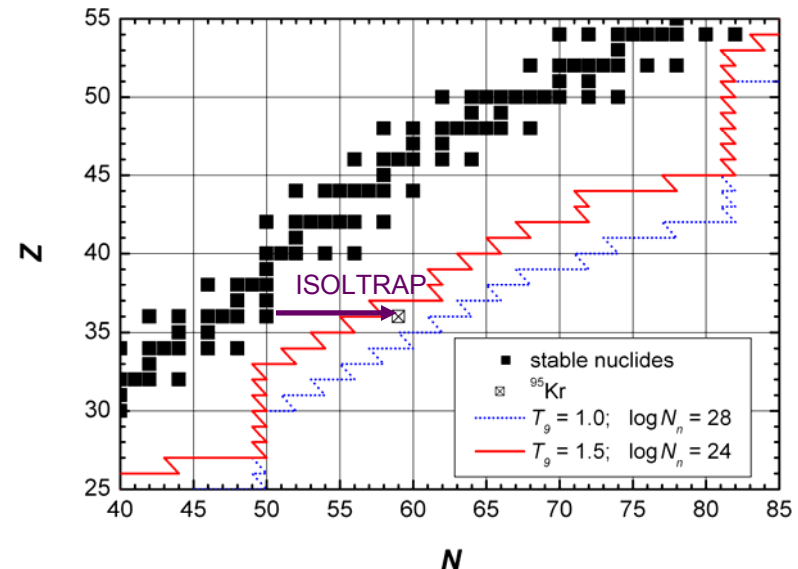


Fig. 2.1: Map of the nuclear landscape.

From the EURISOL report

s and r processes are responsible for the formation of Heavy elements $m > 56$

Neutron capture / Neutron emission
Beta decay competition



CVC et unitarité de la matrice CKM

- CVC L'interaction vectorielle n'est pas influencée par le milieu nucléaire
- Unitarité de la matrice CKM

$$\begin{pmatrix} d' \\ s' \\ b' \end{pmatrix} = \begin{pmatrix} V_{ud} & V_{us} & V_{ub} \\ V_{cd} & V_{cs} & V_{cb} \\ V_{td} & V_{ts} & V_{tb} \end{pmatrix} \cdot \begin{pmatrix} d \\ s \\ b \end{pmatrix}$$
$$V_{ud}^2 = \frac{G_V^2}{G_A^2}$$

- Contribution au test d'unitarité de la première ligne de la matrice CKM au travers de G_V

Masses et l'unitarité de CKM / test de CVC

Superallowed β transitions: $0^+ \rightarrow 0^+$

➤ Comparative half-life $ft = \frac{K}{\langle M_V \rangle^2 G_V^2} :$

K – Product of fund. constants
 G_V – Vector coupling constant
 $\langle M_V \rangle$ - Nuclear matrix element

➤ corrected ft $Ft \equiv ft(1 + \delta_R)(1 - \delta_C) = \frac{K}{2G_V^2(1 + \Delta_R^V)}$

Is constant in the CVC hypothesis

δ_R radiative correction

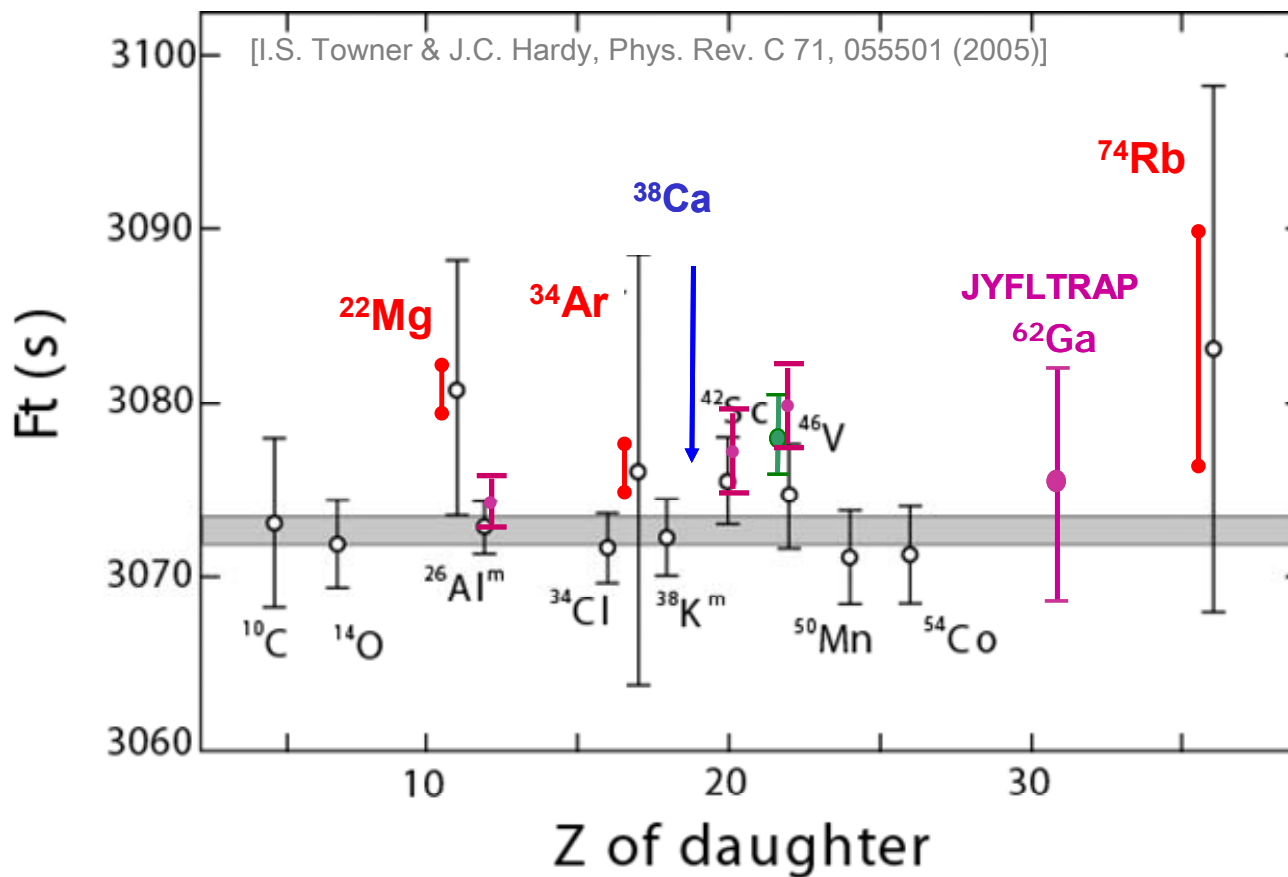
δ_C isospin symmetry-breaking correction

Δ_R^V nucleus independent radiative correction

$$Ft = Ft(Q, T_{1/2}, R, P_{EC}, \delta_R, \delta_C)$$

$$\tilde{f} \sim Q^5$$

Mesures de masses



ISOLTRAP: Mg-22, Al-26, Ar-34, Ca-38, Rb-74

- F. Herfurth *et al.*, Eur. Phys. J. A 15, 17 (2002)
 A. Kellerbauer *et al.*, Phys. Rev. Lett. 93, 072502 (2004)
 M. Mukherjee *et al.*, Phys. Rev. Lett. 93, 150801 (2004)
 S. George *et al.* Phys. Rev. Lett. 98, 162501 (2007)

LEBIT: Ca-38

- G. Bollen *et al.*, Phys. Rev. Lett. 96 (2006) 152501

JYFL-TRAP: Al-26m, Sc-42, Ga-62

- T. Eronen *et al.*, Phys. Rev. Lett. 97 (2006) 232501
 T. Eronen *et al.*, Phys. Lett. B 636 (2006) 191
 B. Hyland *et al.*, Phys. Rev. Lett. 97(2006) 102501

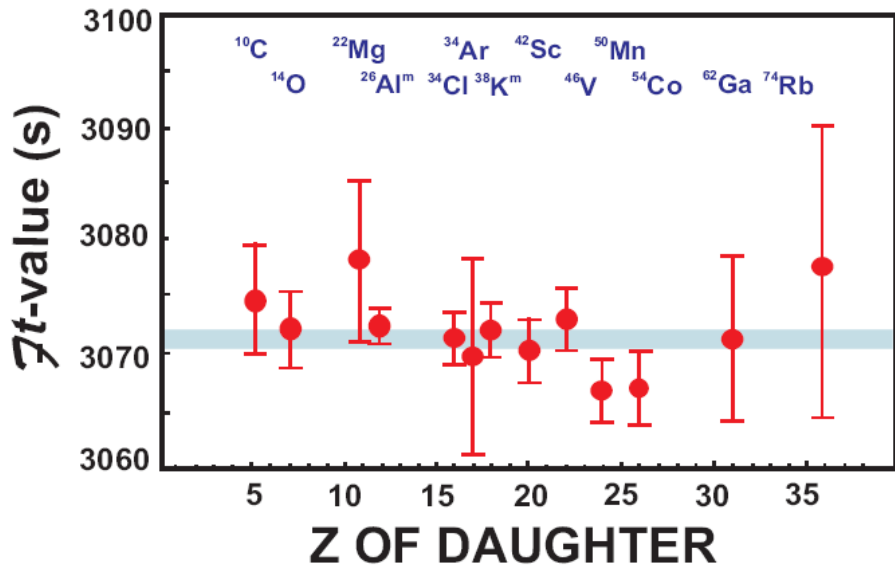
CPT: Mg-22, V-46

- G. Savard *et al.*, Phys. Rev. Lett. 95, 102501 (2005)
 Phys. Rec. C 70, 042501(R) (2004)

Klaus.blaum@mpi-hd.mpg.de

Problème de non-unitarité résolu

Statut actuel (Hardy 2008):



$$V_{ud} \text{ (nuclear } \beta\text{-decay)} = 0.9742(3)$$

$$V_{us} \text{ (kaon-decay)} = 0.2256(18)$$

$$V_{ub} \text{ (B meson decay)} = 0.0037(5)$$

Unitarity contribution:

V_{ub} 0.001%
 V_{us} 5%

V_{ud} 95%

$$|V_{ud}|^2 + |V_{us}|^2 + |V_{ub}|^2 = 1.0000(10)$$

Etude de l'interaction faible

- Mesure du paramètre de corrélation angulaire $\beta-\nu$
- Spectroscopie des transitions Fermi pures
- Atomes polarisés

The β -v angular correlation in nuclear β decay

- Test of the V-A theory
- Sensitive to exotic interactions S,T

- Pure Fermi transitions

$$a_F = \frac{|C_V|^2 + |C'_V|^2 - |C_S|^2 - |C'_S|^2}{|C_V|^2 + |C'_V|^2 + |C_S|^2 + |C'_S|^2}$$

$$V\text{-}A \quad a_F = 1$$

Adelberger et al. (1999)

- Pure Gamow Teller transitions

$$a_{GT} = \frac{1}{3} \frac{|C_T|^2 + |C'_T|^2 - |C_A|^2 - |C'_A|^2}{|C_T|^2 + |C'_T|^2 + |C_A|^2 + |C'_A|^2}$$

$$V\text{-}A \quad a_{GT} = -1/3$$

Johnson et al. (1963!)

^{32}Ar

$$a_F = 0.9989 \pm 0.0065$$

$$|\frac{C_S}{C_V}| \leq 0.06 \text{ & } |\frac{C'_S}{C'_V}| \leq 0.08 \text{ if } |C_V| = |C'_V| \quad |\frac{C_T}{C_A}| \leq 0.13 \text{ & } |\frac{C'_T}{C'_A}| \leq 0.13 \text{ if } |C_A| = |C'_A|$$

^6He

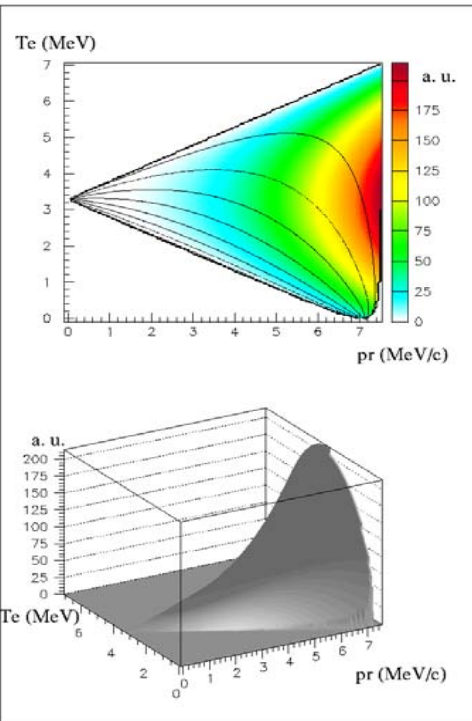
$$a_{GT} = -.3343 \pm .0030$$

The β - ν angular correlation in nuclear β decay

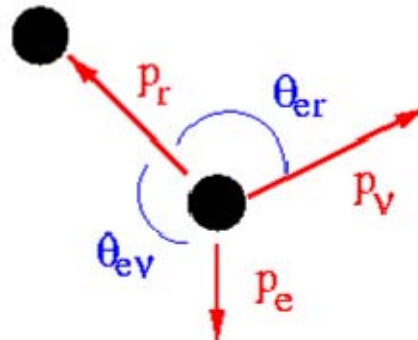
β decay spectrum

$$N(E_e, \Omega_{e\nu}) dE_e d\Omega_{e\nu} = F(\pm Z, E_e) N_0(E_e) \left(1 + b \frac{m}{E_e} + a \frac{\vec{p}_e \vec{p}_\nu}{E_e E_\nu}\right) dE_e d\Omega_{e\nu}$$

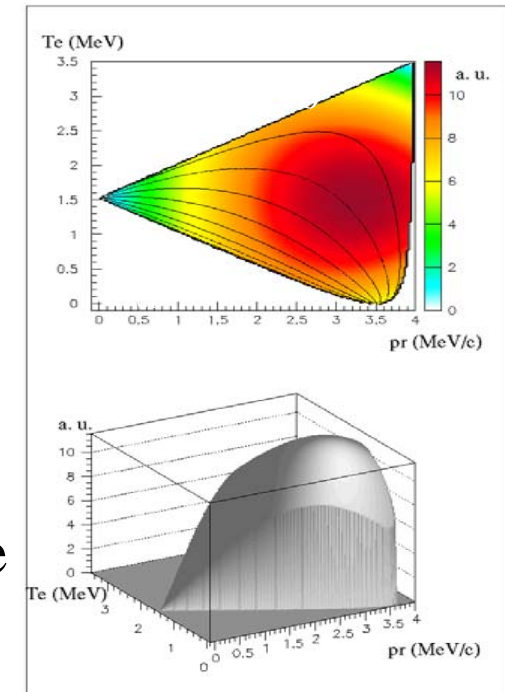
- Fermi transition ($\Delta J=0$)
- Gamow-Teller transition ($\Delta J=0\pm 1$)



^{46}V



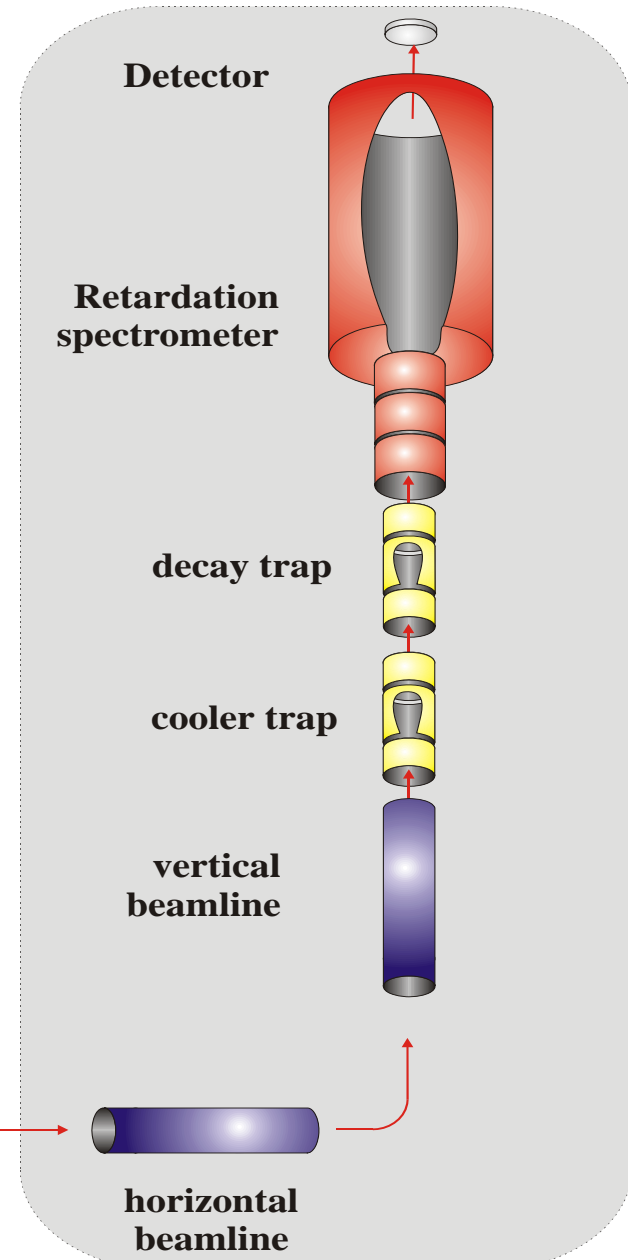
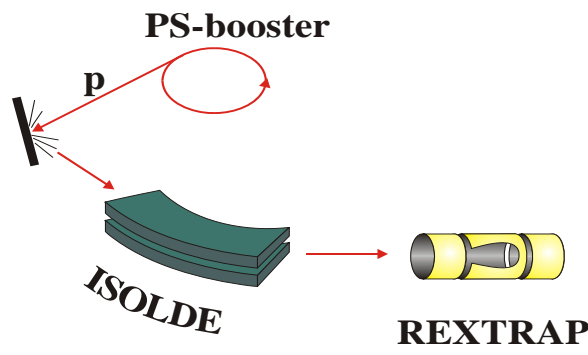
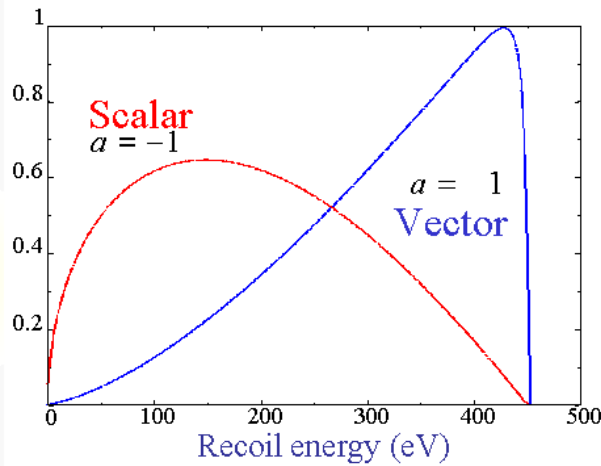
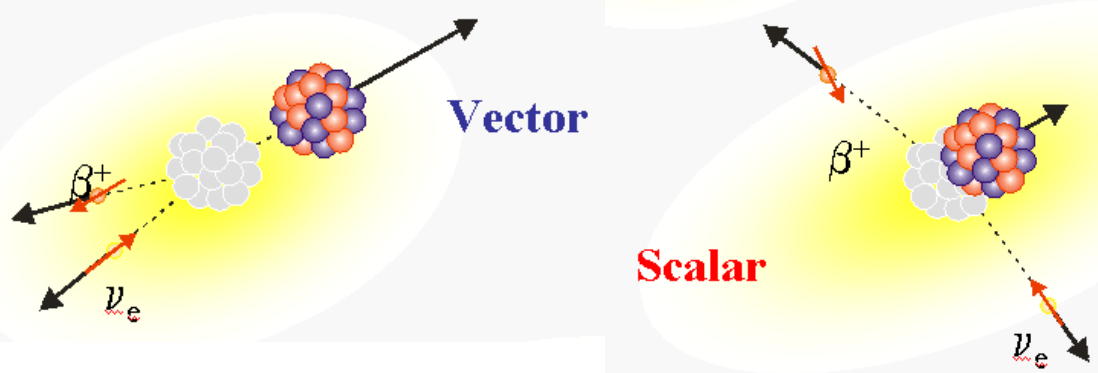
^6He



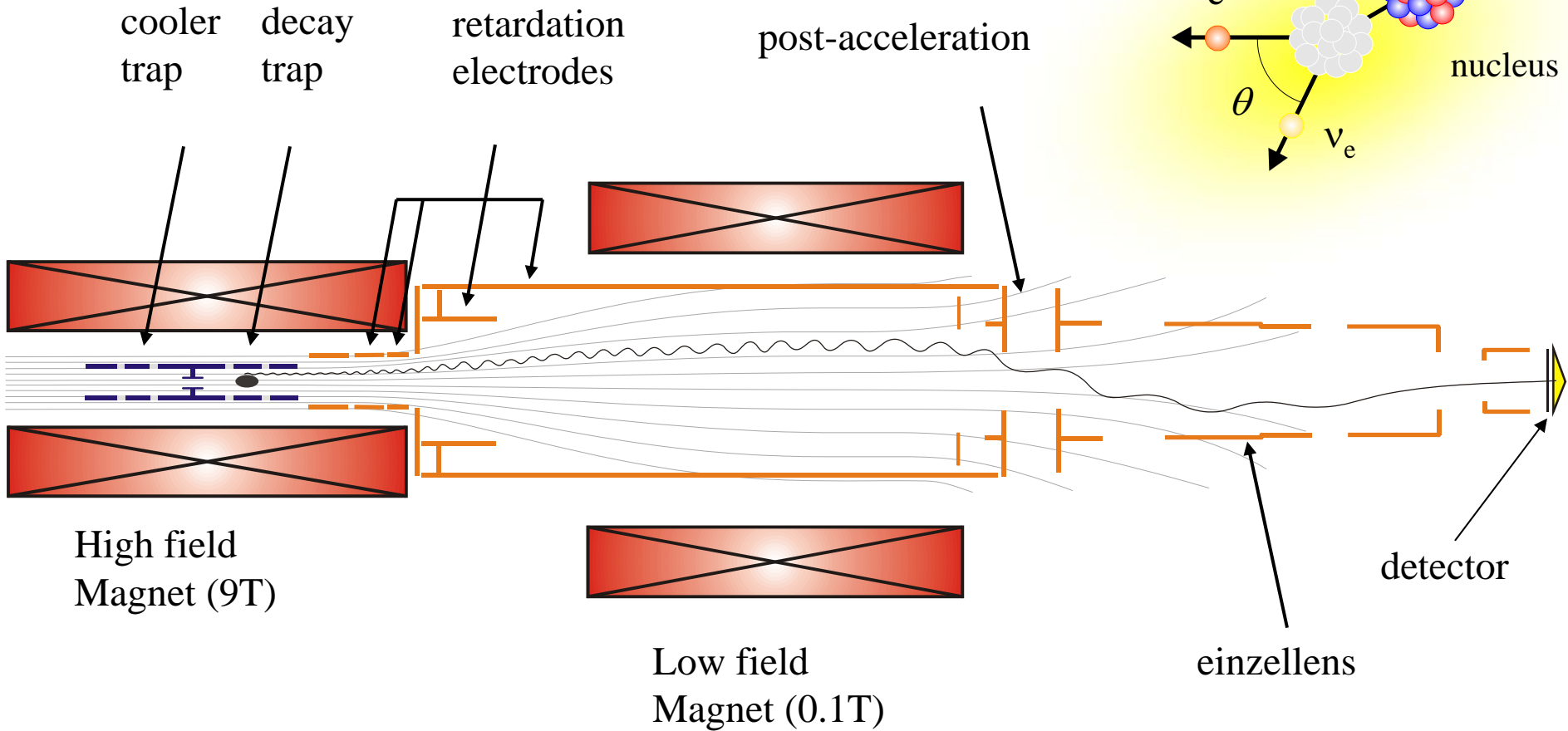


WITCH experiment at ISOLDE/CERN

K.U.Leuven, Univ. Munster, ISOLDE-CERN,
GSI, NPI Rez-Prague

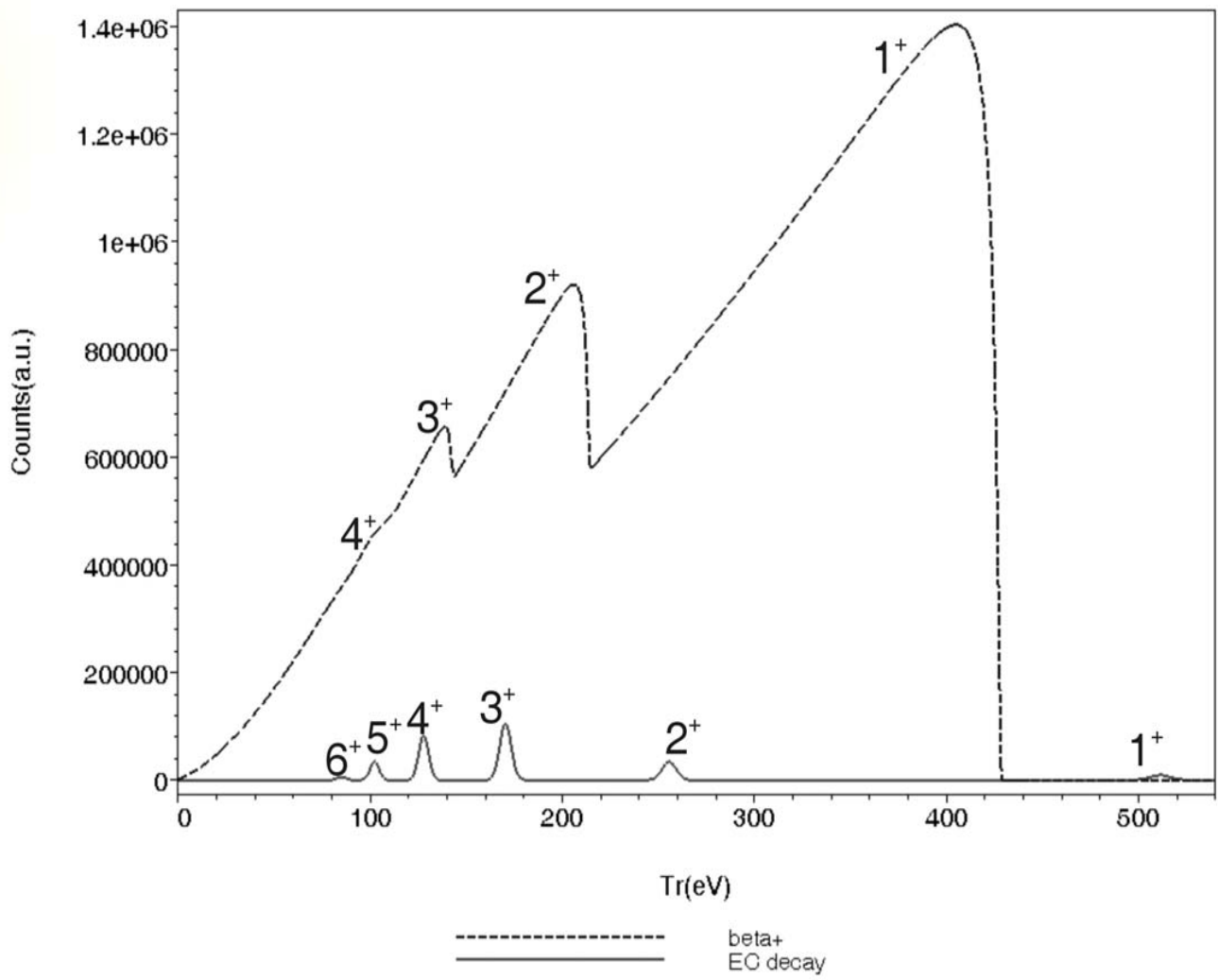
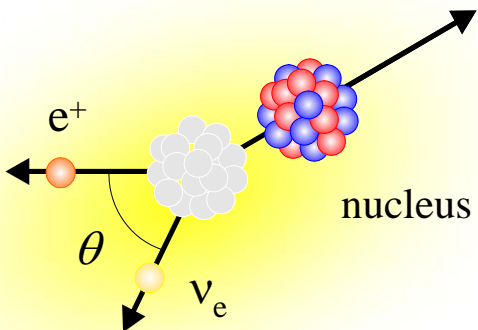


WITCH retardation spectrometer



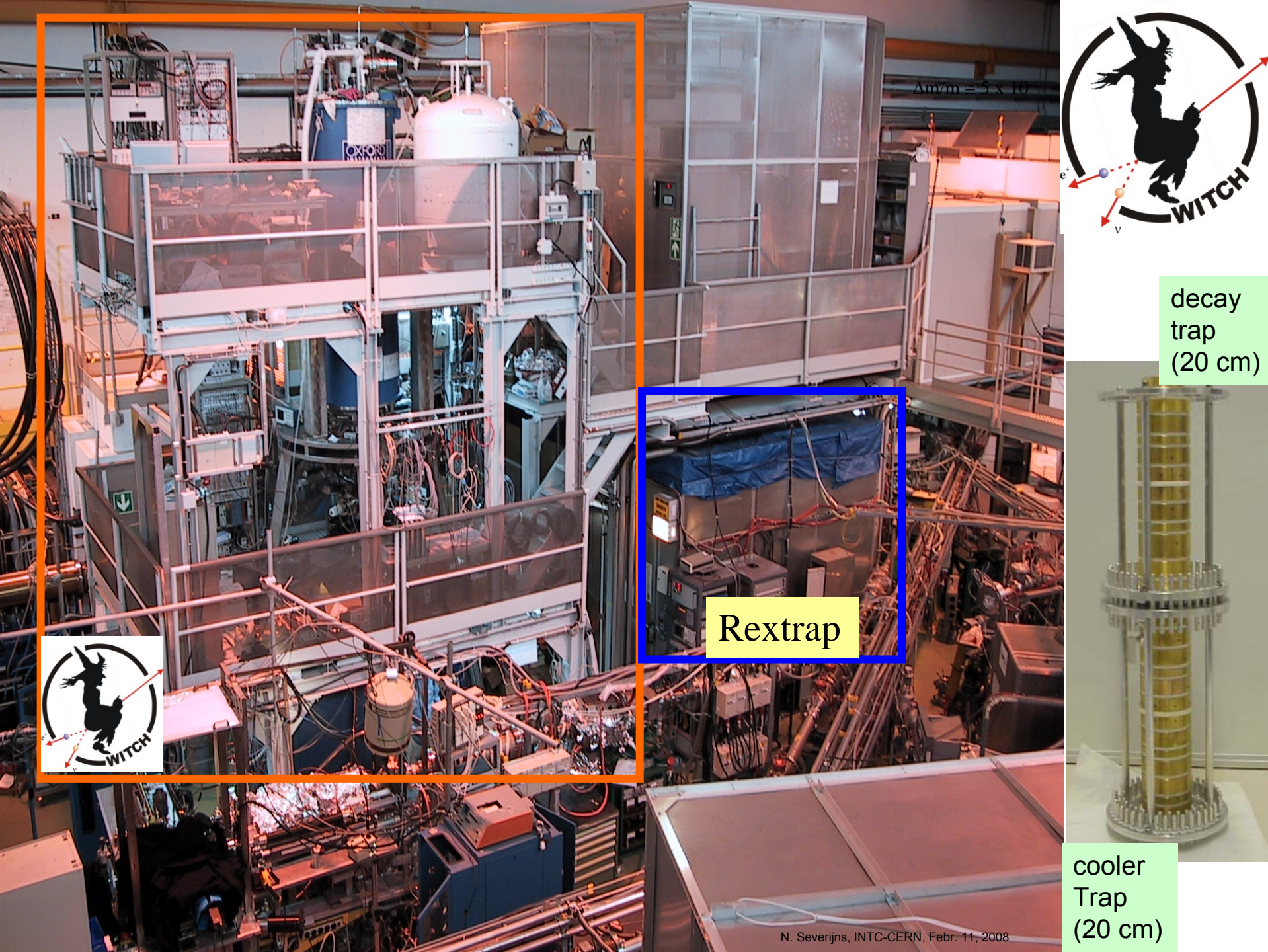
$$\frac{E_{\perp 1}^{kin}}{E_{\perp 0}^{kin}} = \frac{B_1}{B_0} = \frac{0.1T}{9T} = 1.1\%$$





Simulated recoil energy spectrum for the decay of ^{38m}K







Efficiencies

Description	'ideal set-up'	Best achieved yet
		2004 - now
Beamline transfer + pulse-down	50%	~ 80%
Injection into B-field, $\epsilon_{\text{injection}}$	100%	20%
Cooler trap efficiency	100%	~ 45%
Transfer between traps	100%	~ 80%
Storage in the decay trap	100%	100%
Fraction of ions leaving the decay trap	~ 40%	not yet studied
Shake-off to lowest charge state	10% ^{c)}	not yet studied
Transmission through spectrometer	100%	~ 100% (<i>prelim.</i>)
MCP efficiency, ϵ_{MCP}	60%	52.3(3)% ^{a)}
Total efficiency	~ 1% ^{c)}	0.1% ^{b), c)}

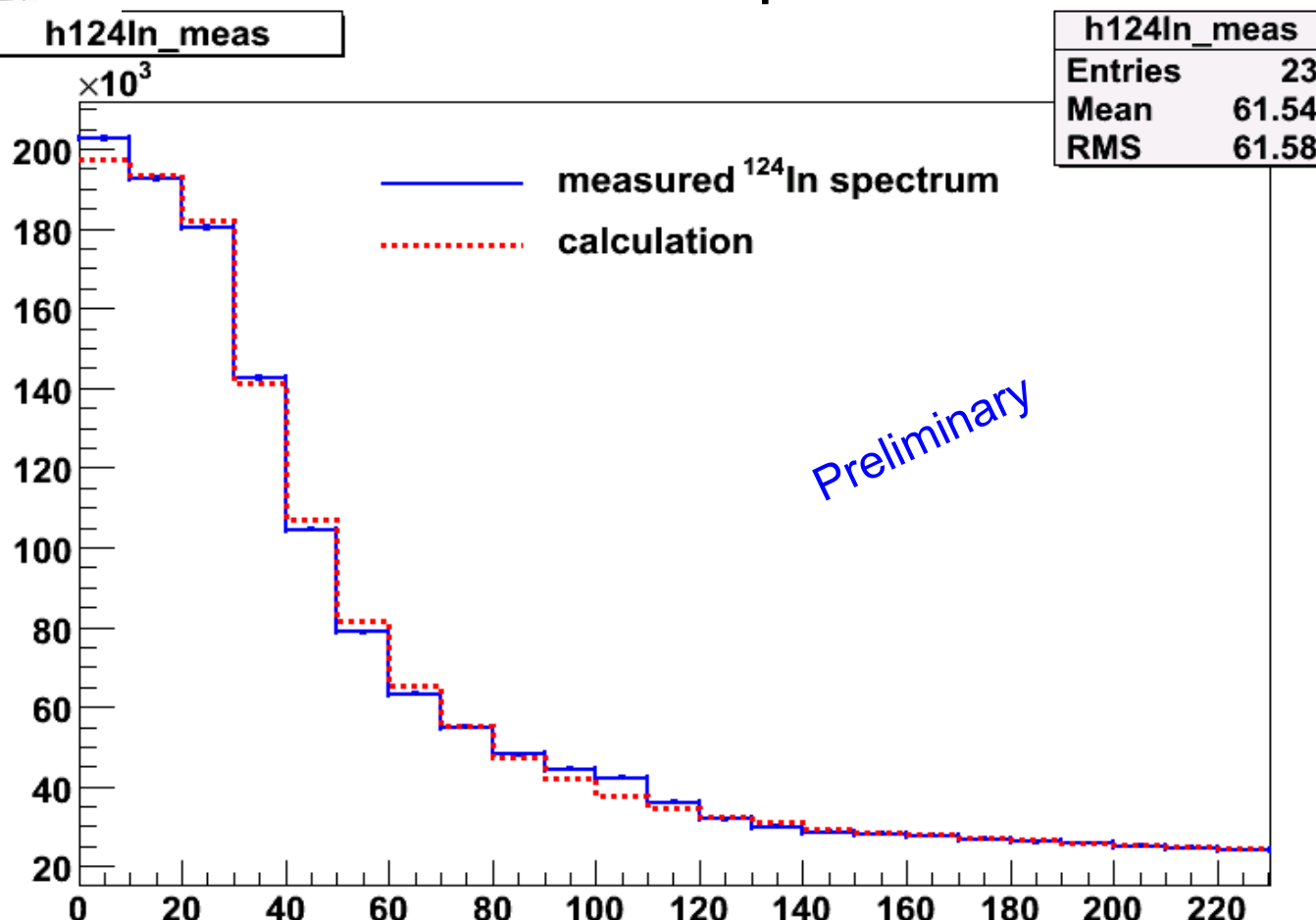
^{a)} Lienard et al., NIM A 551 (2005) 375.

^{b)} improved by factor of ≈ 150 in comparison with 2004

^{c)} for β^+ decay (1^+ charge state); for β^- decay (2^+ charge state) these numbers are about 10 times larger



First recoil spectrum - ^{124}In



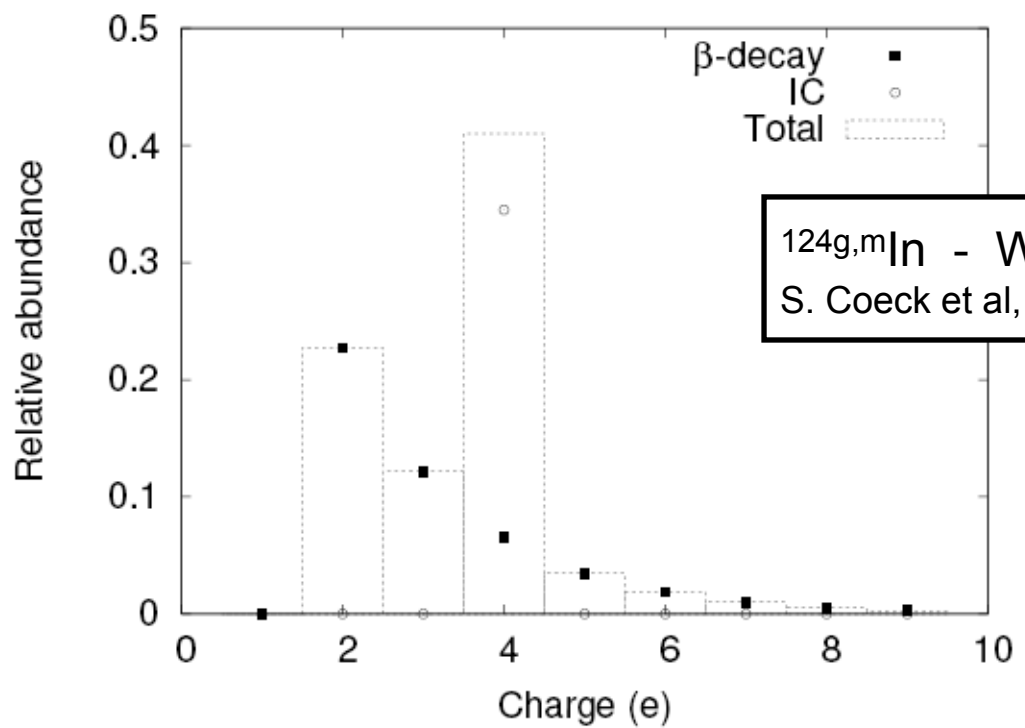
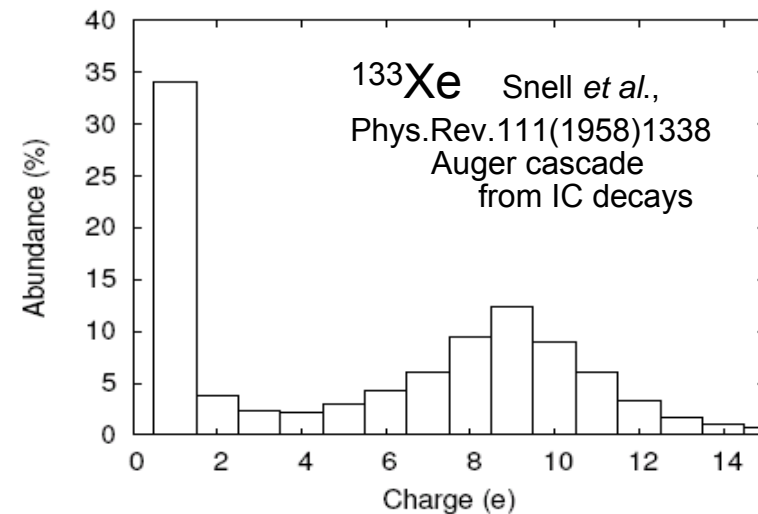
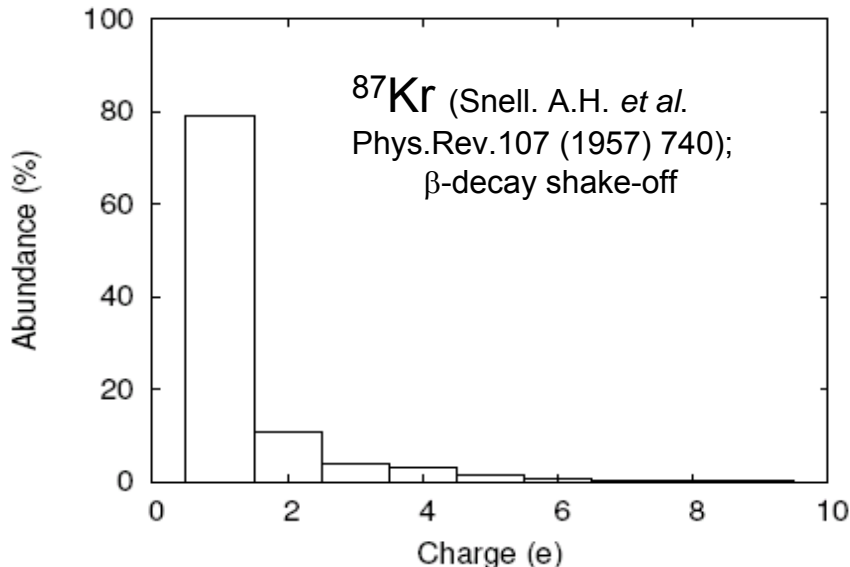
Mixed beam:

^{124}gIn : $R_{\text{end}} = 204 \text{ eV}$

^{124}mIn : $R_{\text{end}} = 83 \text{ eV}$

$$T_{\text{meas}} (\text{eff.}) = 500 \text{ cycles} \times 2.3 \text{ s} = \underline{1150 \text{ s}}$$

Recoil charge state distribution



Status and prospects:

- further improvements ongoing
- physics candidate ^{35}Ar

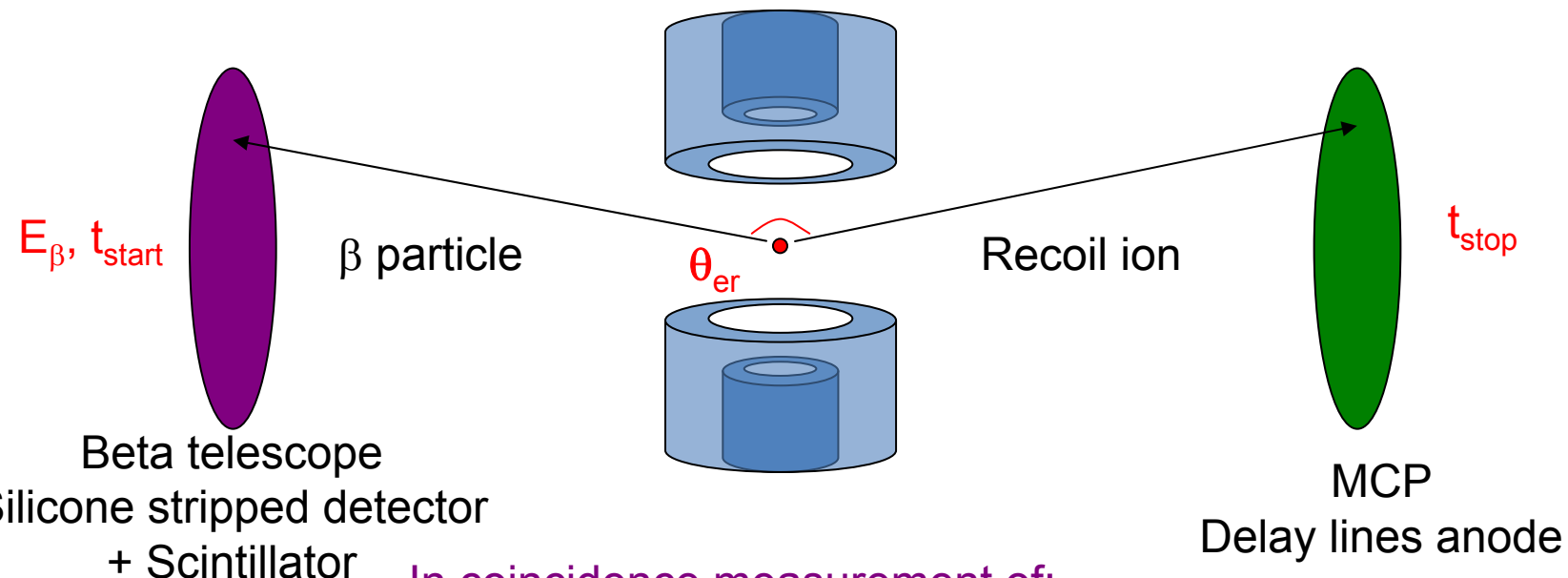
LPCTRAP: Piège de Paul transparent



LPCTRAP collaboration, at GANIL



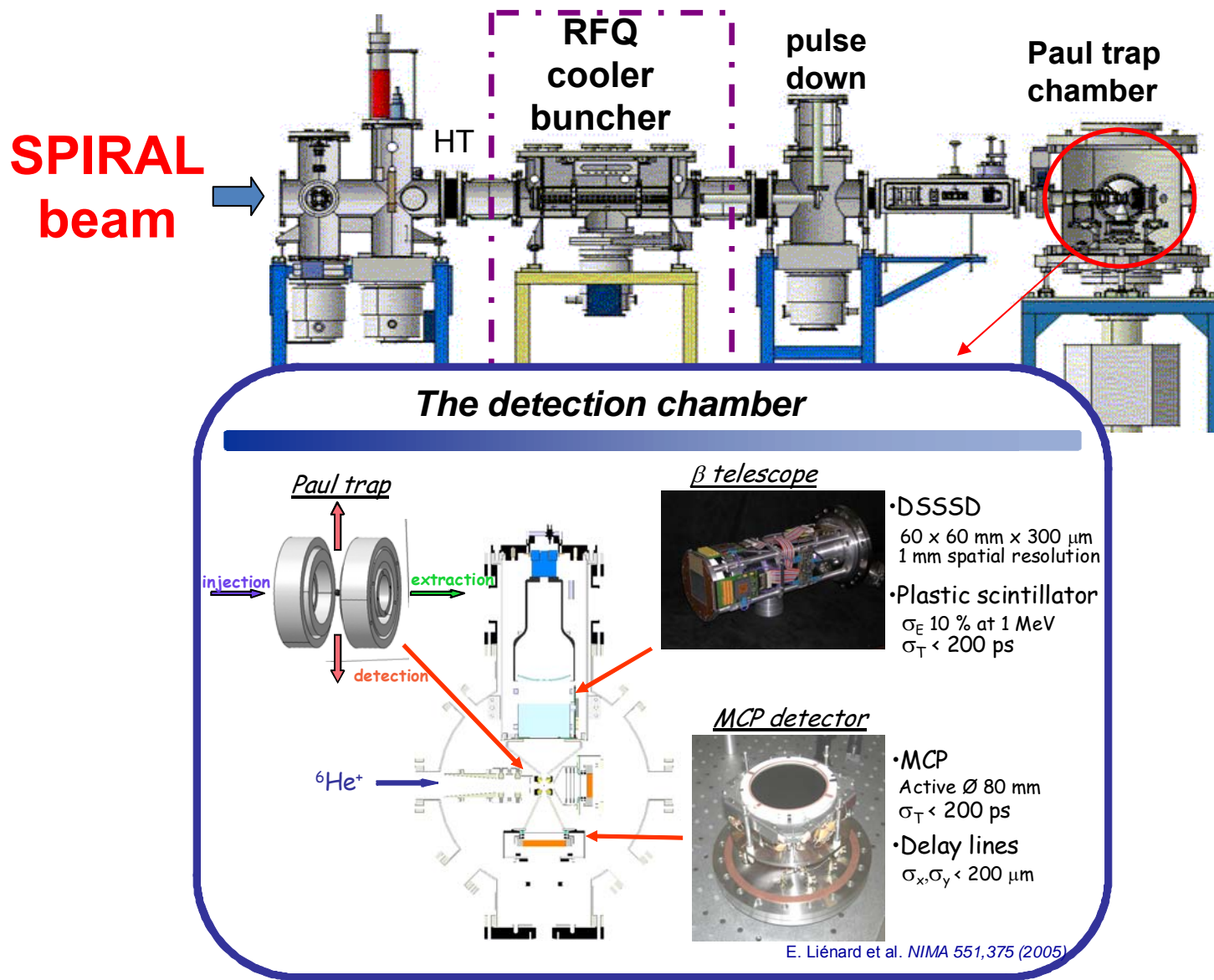
- Transparent Paul trap, UHV
- Ions confined in the middle of the device, nearly at rest
- In coincidence detection of the electron and the recoil ion



In coincidence measurement of:

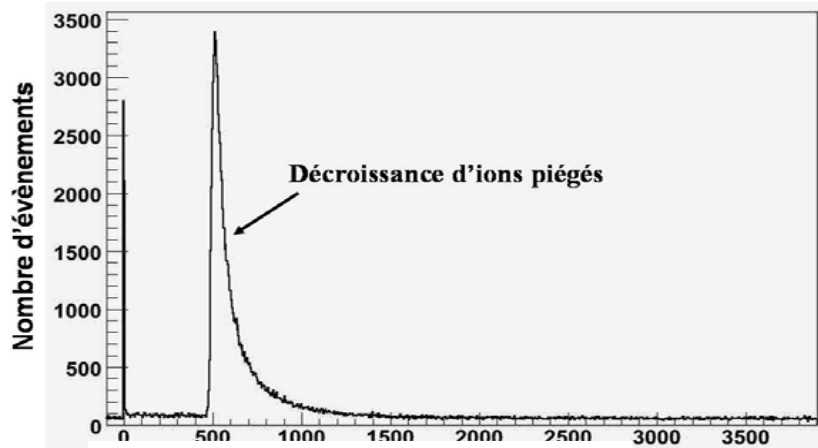
- the time of flight of the recoil ion t_R
- the beta particle energy E_β
- the angle between these two particles θ_{er}

Setup experimental



Résultats préliminaires

- Juillet 2006 : 1 semaine de temps de faisceau à GANIL avec $\sim 10 \text{ pA}$ $10 \text{ keV} {}^6\text{He}^+$
Spectre de temps de vol expérimental



~700 ions piégés
0.3 - 0.8 coincidences/s
~100 000 coincidences



a_{GT} with 1.5% relative uncertainty (statistical)

- 2007 : Optimisation du setup:
 - > alignement des détecteurs ($\Delta p \sim 1/10 \text{ mm}$)
 - > Transmission (x40)
 - > Nouvelle MCP orthogonale à l'axe du faisceau et des détecteurs
 - > Analyse préliminaire des résultats et des effets systématiques

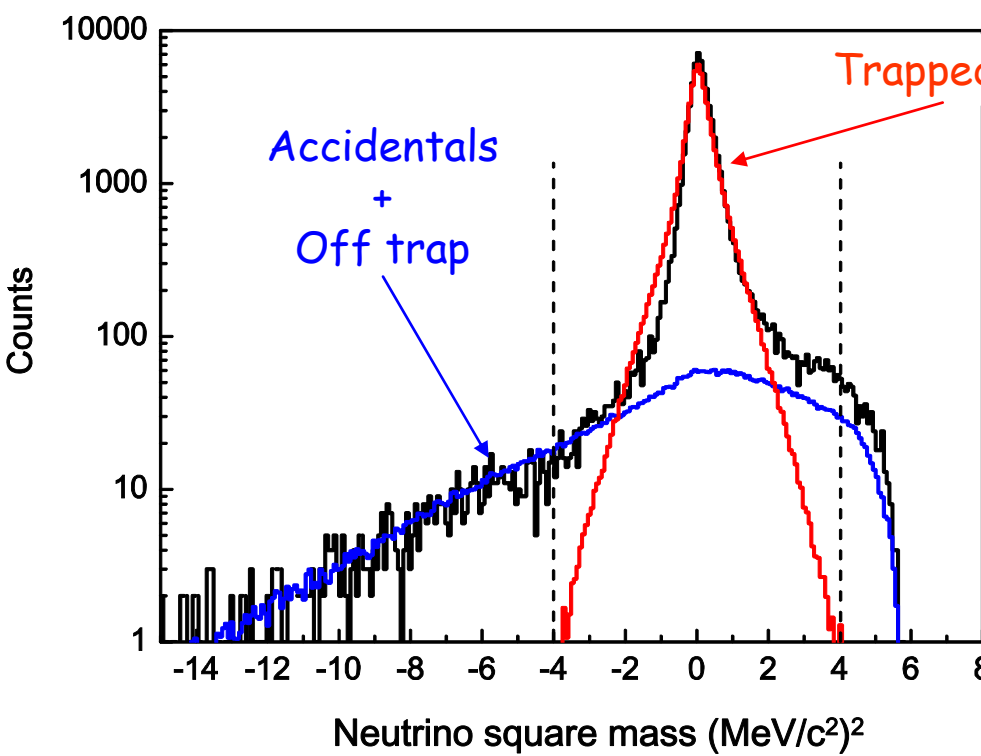
Effets systématiques par la reconstruction de M_ν

Momentum conservation $\rightarrow p_\nu$

Energy conservation $\rightarrow E_\nu$

Neutrino mass reconstruction

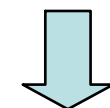
$$M_\nu^2 = E_\nu^2 - p_\nu^2$$



$\sigma_{M_\nu^2} \approx 0.42 \text{ MeV}^2 c^4$
(experimental resolution)

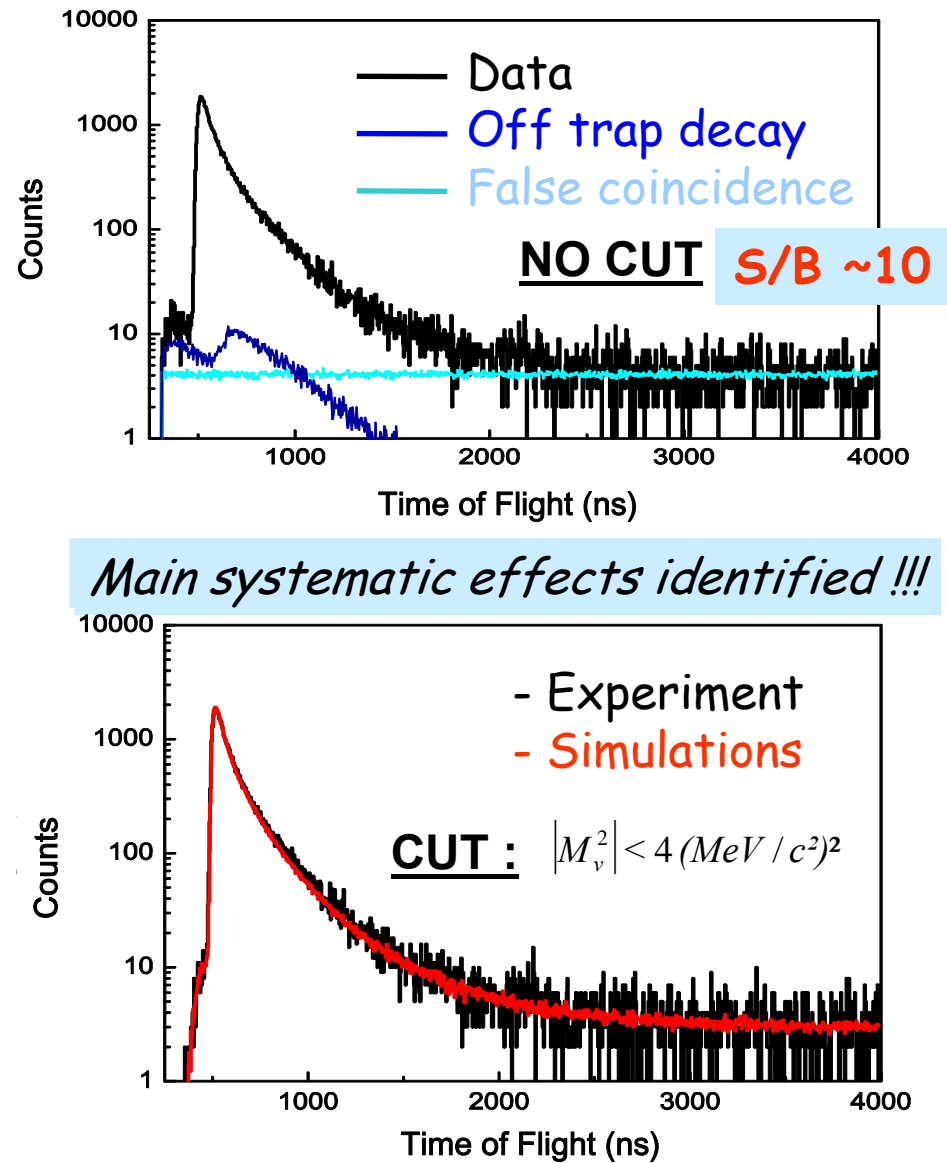
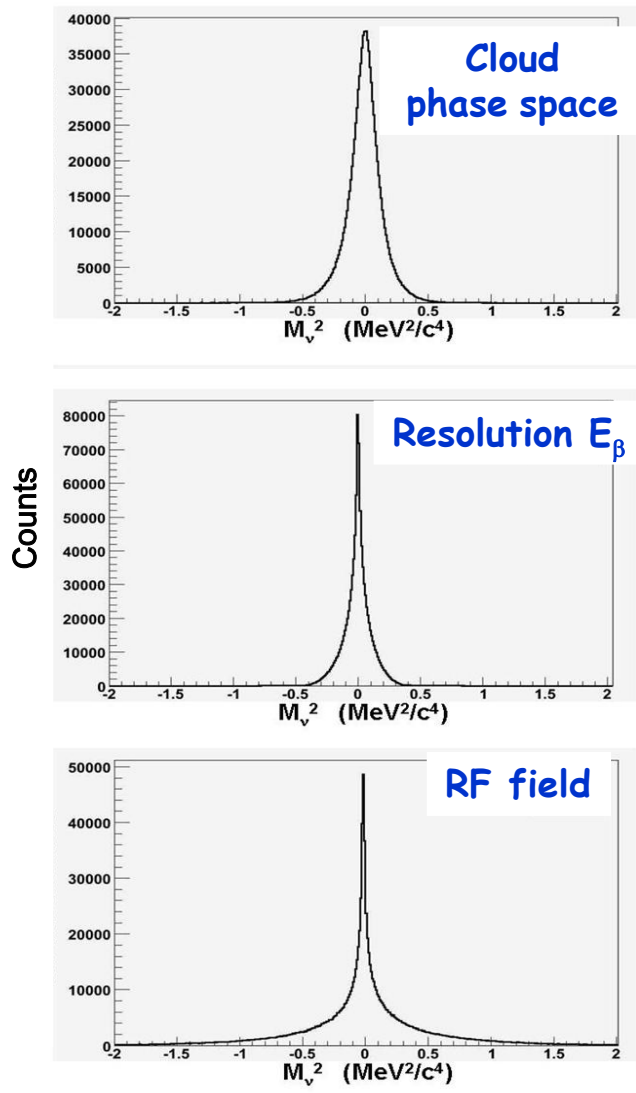
Kinematic cut

$$|M_\nu^2| < 3 \times \sigma_{M_\nu^2}$$



Signal/noise ~ 100

Simulations des effets systématiques



Autres effets systématiques

- Diffusion des β sur les détecteurs & structures
 - Influence sur le spectre d'energie et les positions des β
 - Simulation GEANT 4 en cours
- Shake off $\text{Li}^{2+} \rightarrow \text{Li}^{3+} + e^-$
 - Effets des potentiels RF et de postacceleration pour les ions Li^{3+} $P_{\text{ionization}} = 0.02338 + 0.4118 \times 10^{-4} \times E_{\text{recoil}}(\text{keV})$
(Z. Patyk, Soltan Institute for Nuclear Studie, Warsaw)
 - Estimation:
 - Mesure en ligne

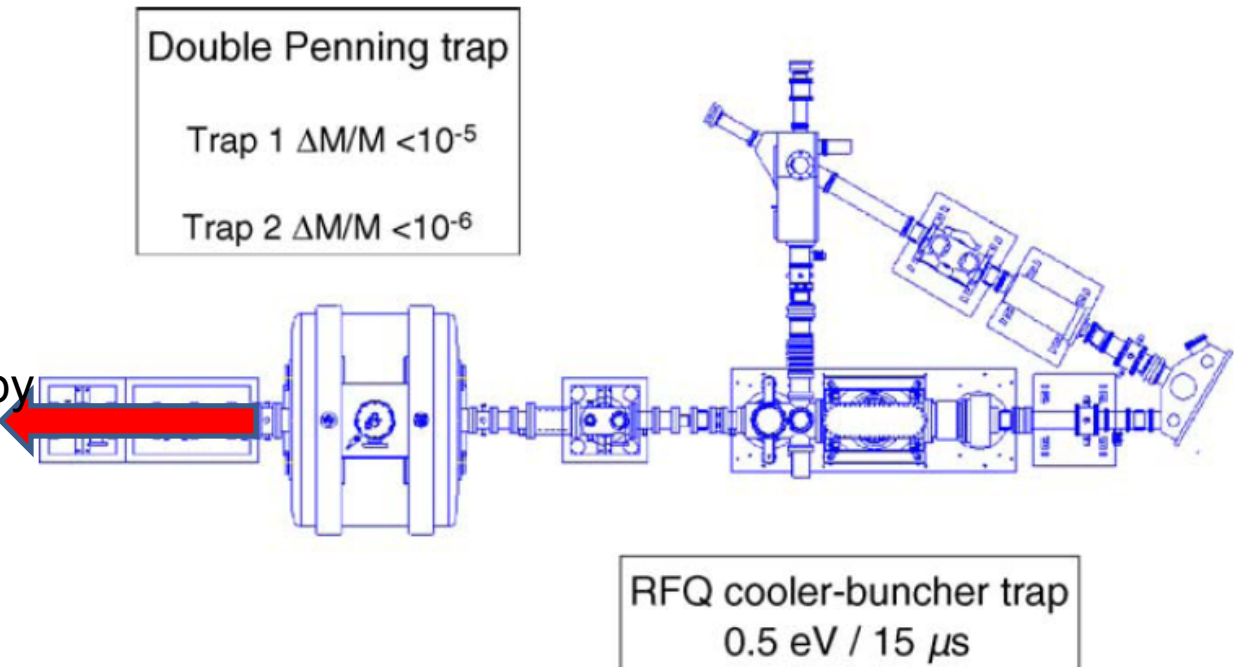
Spectroscopie des transitions Fermi pures

$$Ft = Ft(Q, T_{1/2}, R, P_{EC}, \delta_R, \delta_C)$$

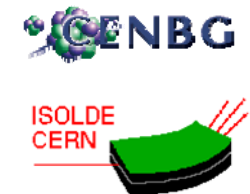
Temps de vie et branching ratio (cf presentation J. Souin)

JYFLTRAP

Trap assisted spectroscopy
T_{1/2} ⁶²Ga, ²⁶Si, ⁴²Ti
Purification ⁶²Cu, ^{26m}Al

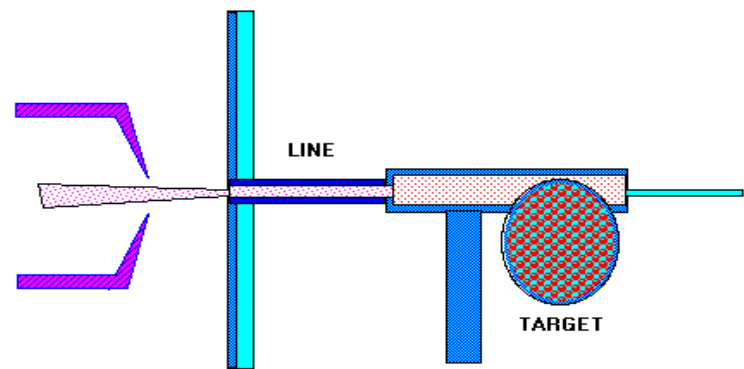
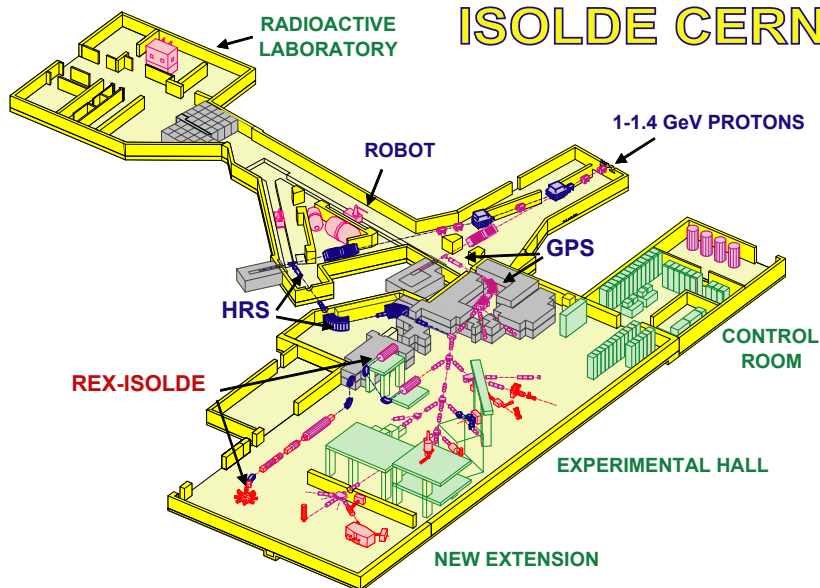


Mesure du temps de vie du ^{38}Ca



- Elimination du ^{38}K : formation de faisceau moléculaire de ^{38}CaF

$^{38}\text{CaF}^+$ production and separation



1.4 GeV protons on a Ti foils target
W ionizer and CF₄ leak
Fluorination~70%

Refroidissement, bunching et sélection

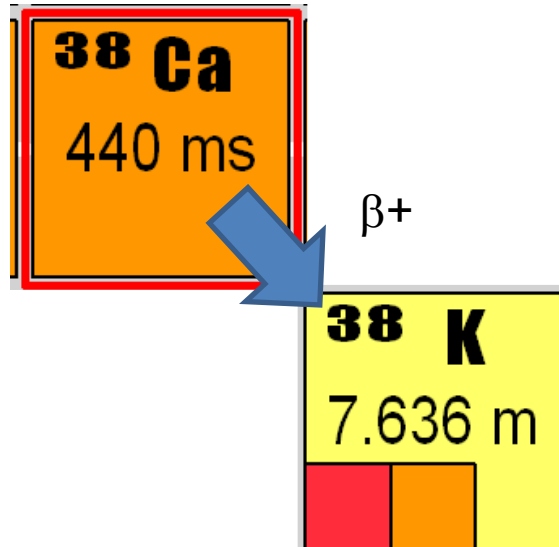
Injection dans REXTRAP $^{38}\text{CaF}^+$

- Refroidissement et bunching

Référence en temps pour la mesure de $T_{1/2}$

- Selection de la masse 57 par temps de vol

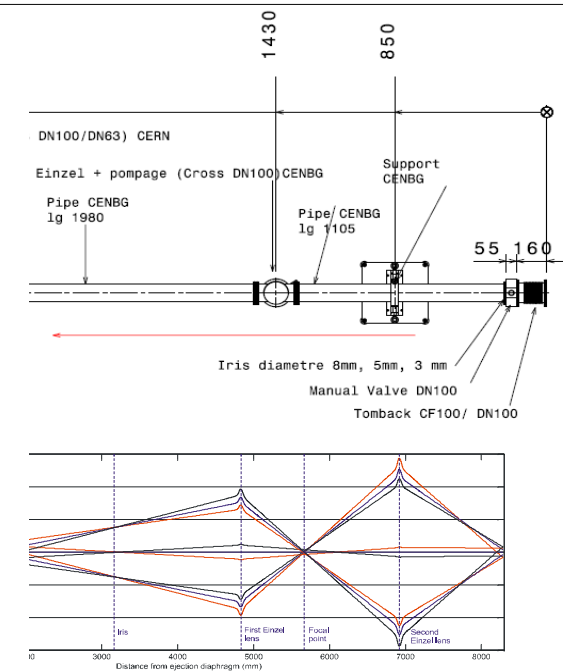
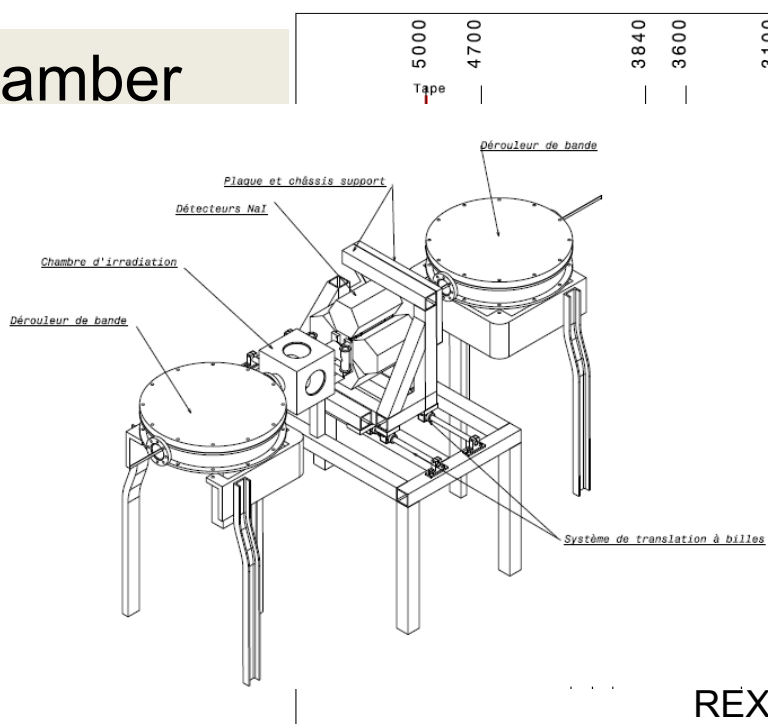
Suppression $^{38}\text{K}^+$



Dispositif experimental

- Implantation chamber
- Tape
- Gas counter(?)
- NaI detectors
- Plastic scintill

Ultra-pure beam
of $^{38}\text{CaF}^+$ injected
onto the tape

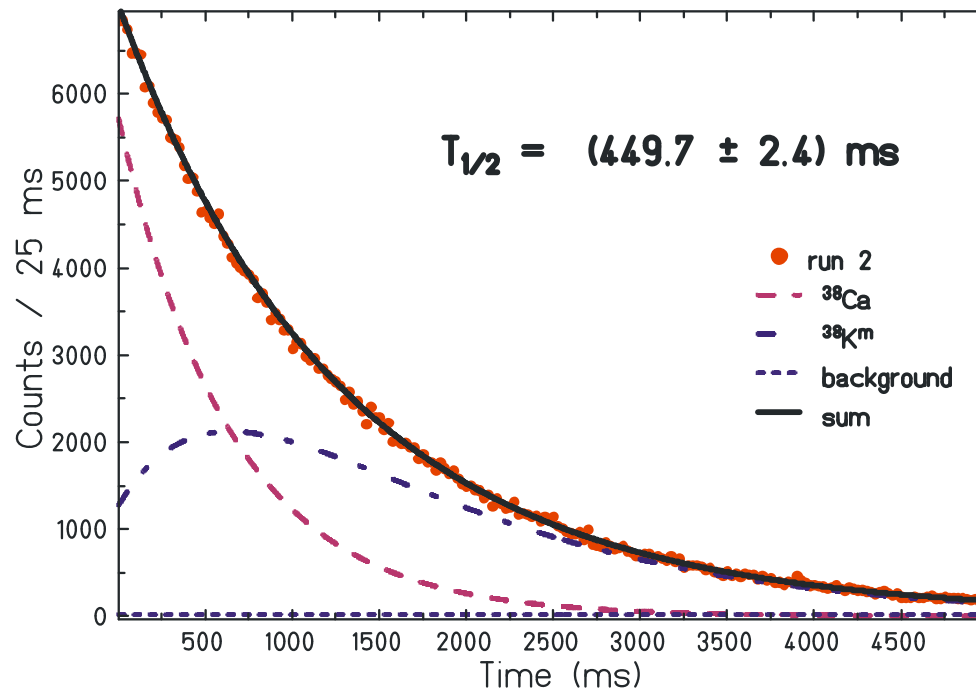


REXTRAP

S.
Sturm

F.Delalee le 14/04/2009 TAPE

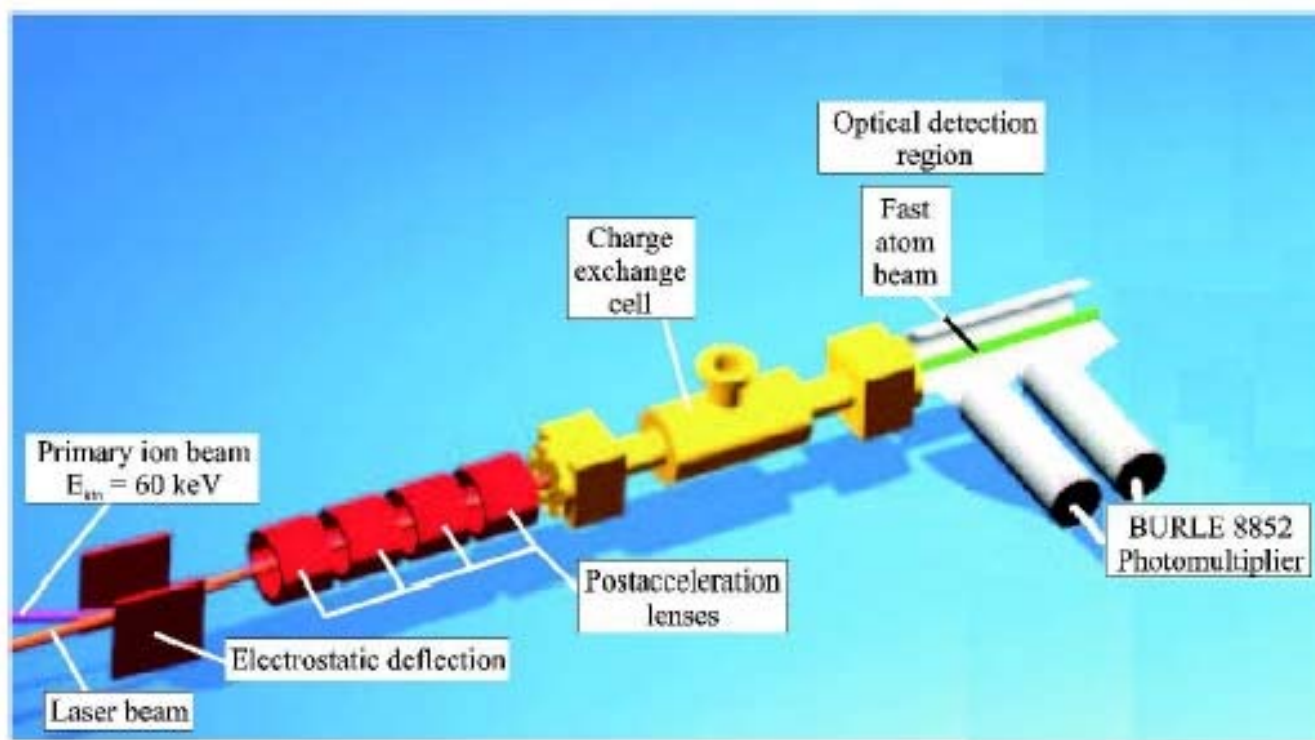
Spectre de temps de vie typique



En cours d'analyse

Spectroscopie laser colinéaire des ions radioactifs

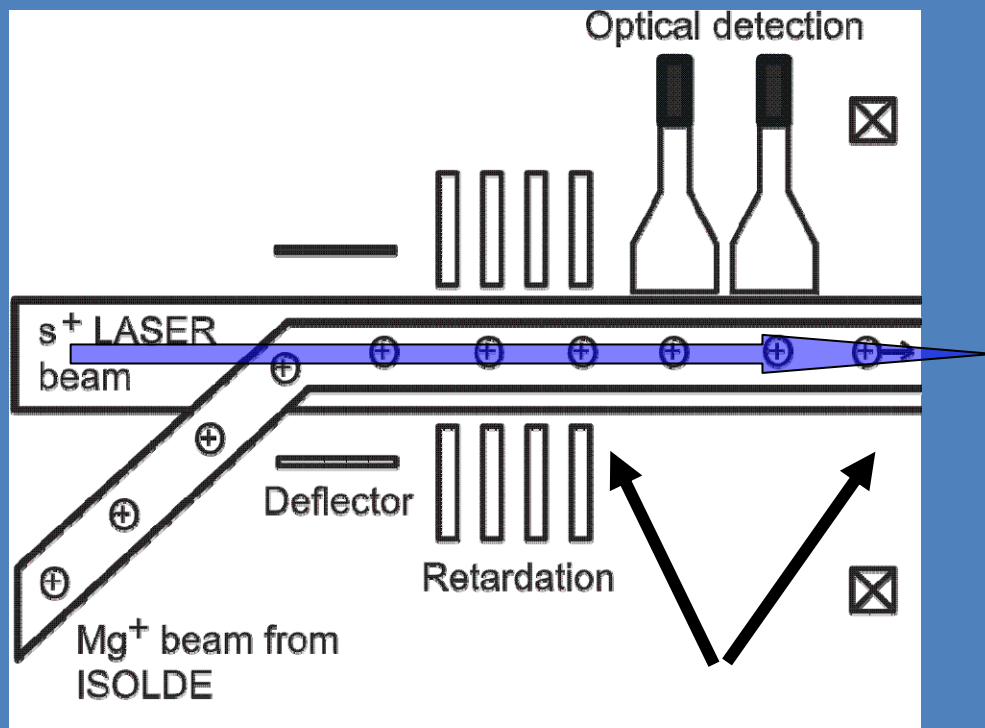
- COLLAPS: Mesure des rayons de charge, moments nucléaires et spins par spectroscopie colinéaire et β -NMR



Avantage des faisceaux refroidis et pulsés

Current limiting factors for laser spectroscopy

- Background of scattered laser light detected by PMT ~2000/s.
- Detection efficiency within the light collection region.
- Broadening of lineshape due to voltage ripples.



Within the light collection region the ion beam should have zero divergence (parallel beam)

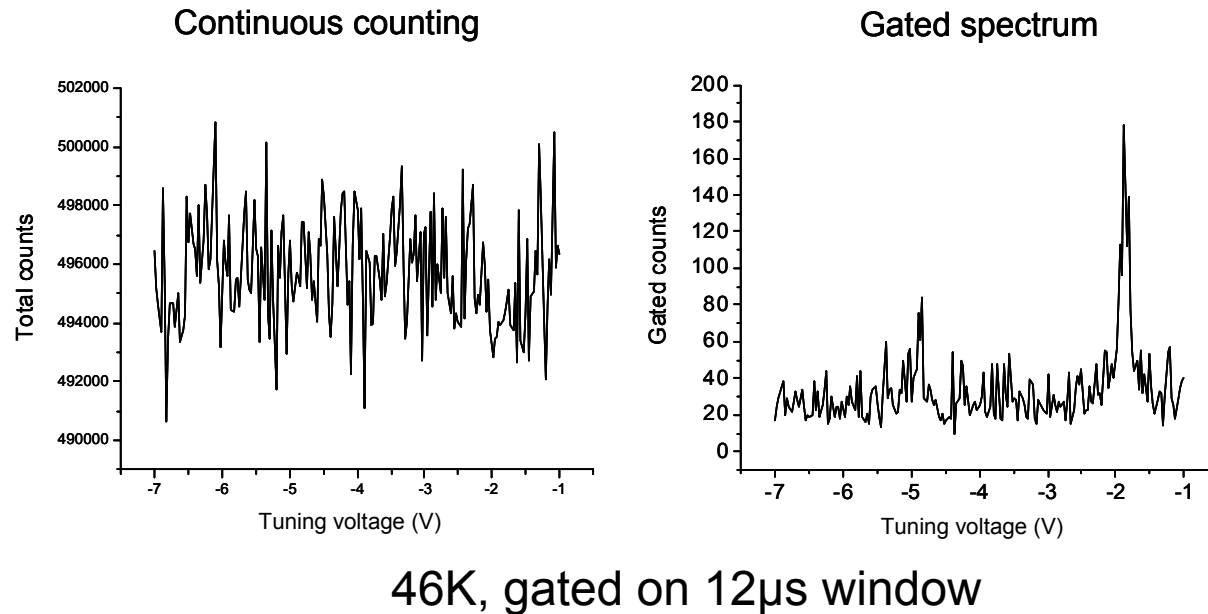
Currently the minimum ion beam diameter reached is ~6mm

In order to maximize the detection efficiency good overlap between laser and ion beams is necessary

This results in a high background level from scattered light

Résultats préliminaires ISCOOL+COLLAPS

- Réduction d'un facteur $>10^4$ du bruit de fond



Antihydrogène et tests de CPT au CERN

- La matière et l'antimatière sont-elles symétriques? Tests de CPT
- Production d'antihydrogène dans 2 expériences: ATRAP et ATHENA (ALPHA)
- But ultime: spectroscopie de la transition $1s\ 2s$

ATHENA

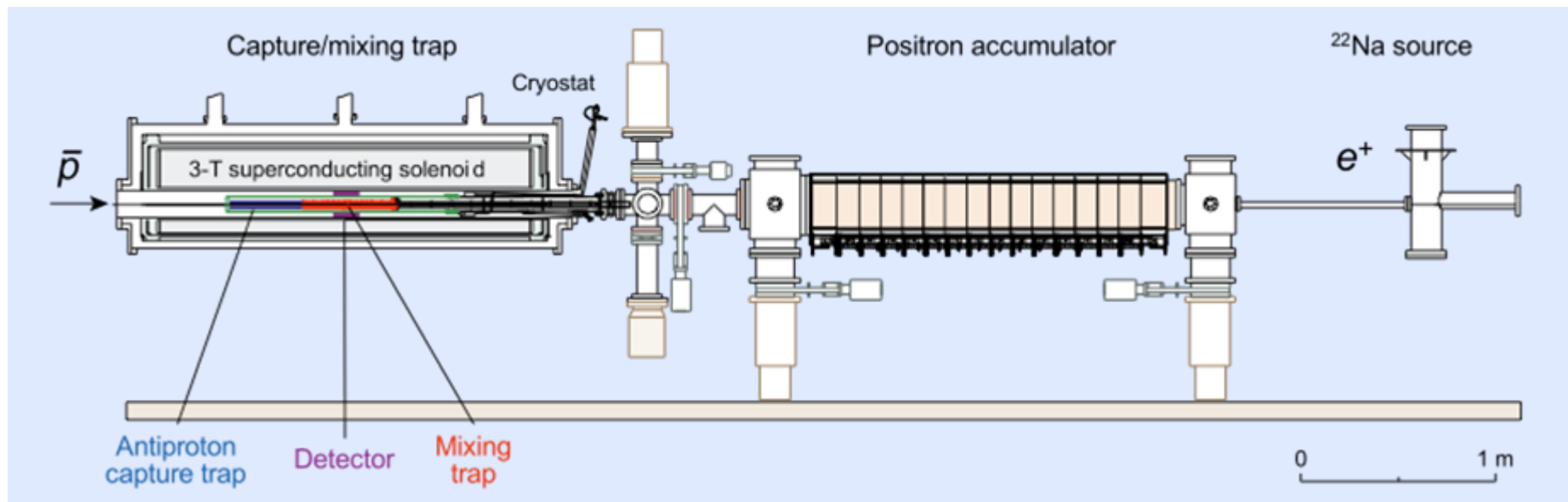
Production d'antihydrogène

Antiproton capture trap

Deceleration and capture of antiprotons
Penning trap in 3-T field at 15 K
Cooling and accumulation in e^- plasma

^{22}Na source

Positron production via $^{22}\text{Na}(\beta^+)^{22}\text{Ne}$ at 5.5 K
Positron accumulator
Penning trap in 0.14-T field at 300 K



Mixing trap

Antihydrogen production

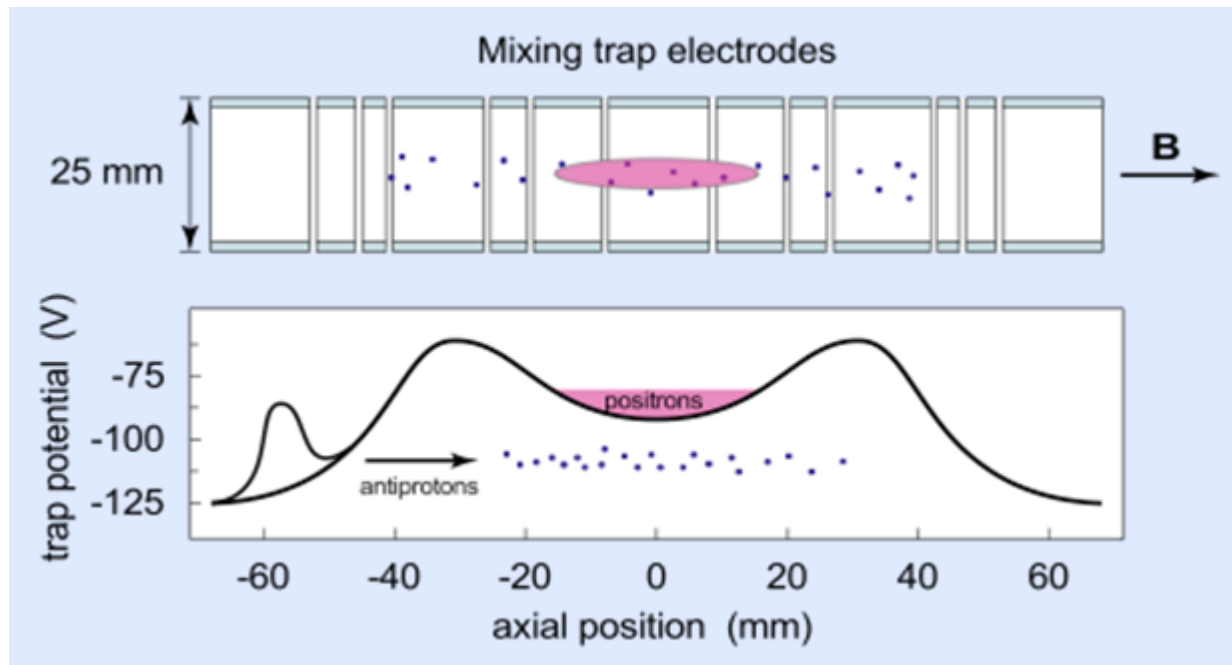
Nested Penning trap in 3-T field at 15 K

Detector

[M. Amoretti et al.
NIM A 518 (2004)]

By courtesy of M. Doser

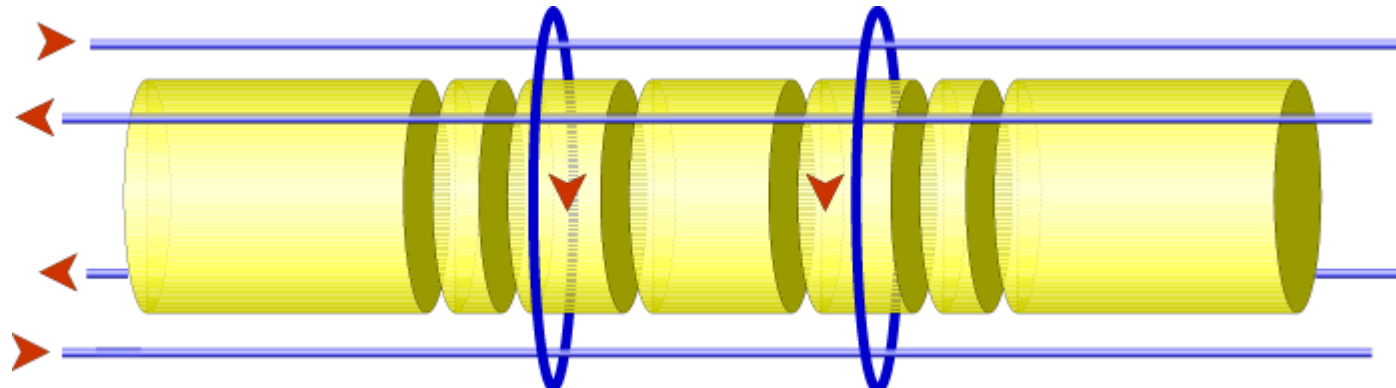
Mixing trap



- Refroidissement des antiprotons interagissant avec les positrons
- Refroidissement des positrons par rayonnement synchrotrons

Alpha – le futur d'ATHENA

- Un piège de type « Ioffe-Pritchard » pour les atomes d'antihydrogène
 - Piégeage des atomes grâce à leur moment magnétique



Tests de QED

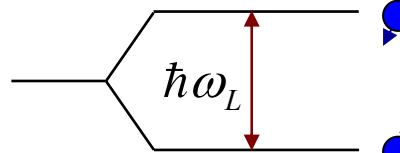
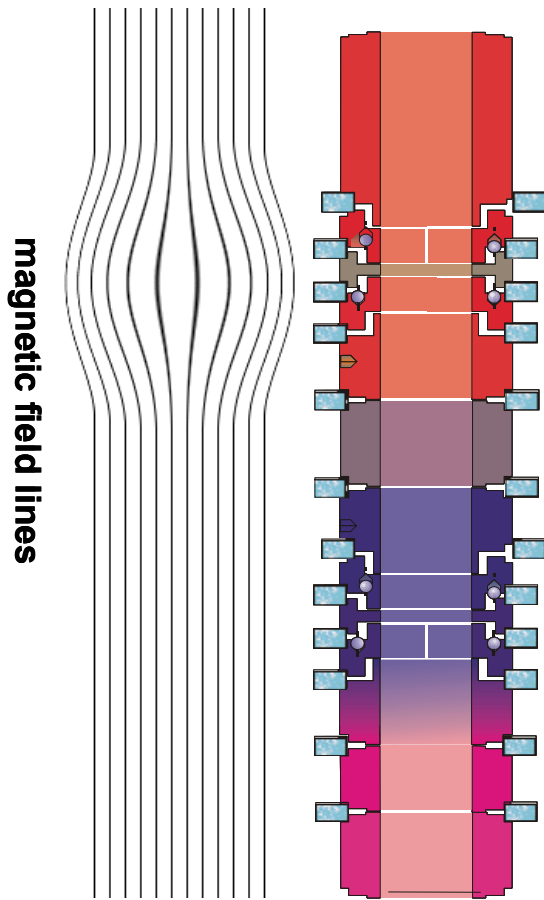
- Mesure du facteur gyromagnétique pour les ions « hydrogen-like »

$$\vec{\mu} = g_J \frac{|\mathbf{q}|}{2m} \hbar \vec{J}$$

relation entre le dipole magnétique et le moment angulaire

Lepton libre: g_s = g -factor du spin

Meas. principle for highly-charged ions



Zeeman splitting in the spin eigenstates → Larmor frequency

$$\omega_L = \frac{2\mu \cdot B}{\hbar} = g \frac{e}{2m_e} B$$

analysis
trap



precision
trap

$$g = 2 \frac{\omega_L}{\omega_c} \frac{m_e / e}{m_{ion} / q_{ion}}$$



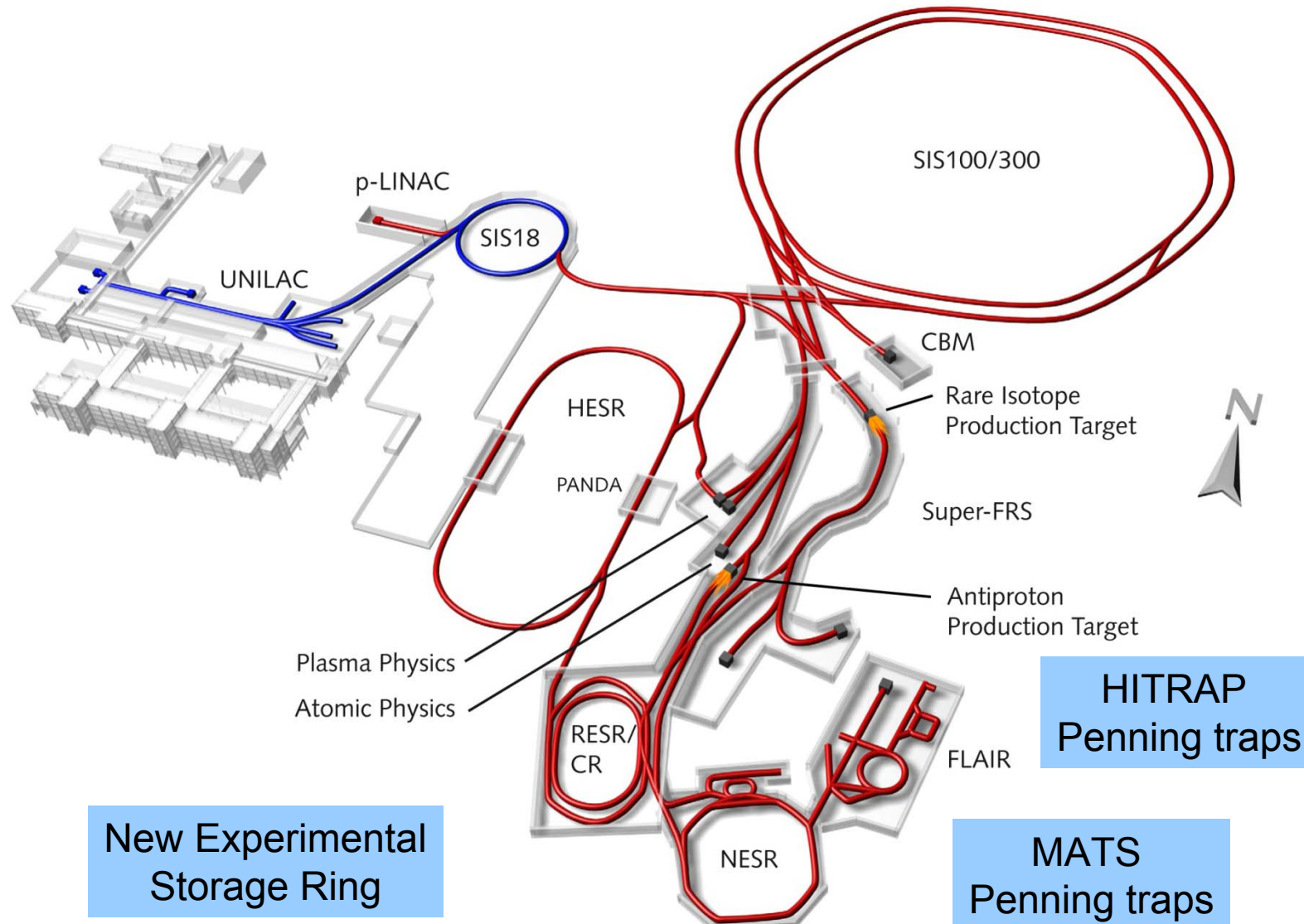
$$\omega_c = \frac{q_{ion}}{m_{ion}} B$$

Eigenmotions of the particle → cyclotron frequency

Installations futures

- HITRAP et MATS à GSI/FAIR
- DESIR à GANIL
- EURISOL

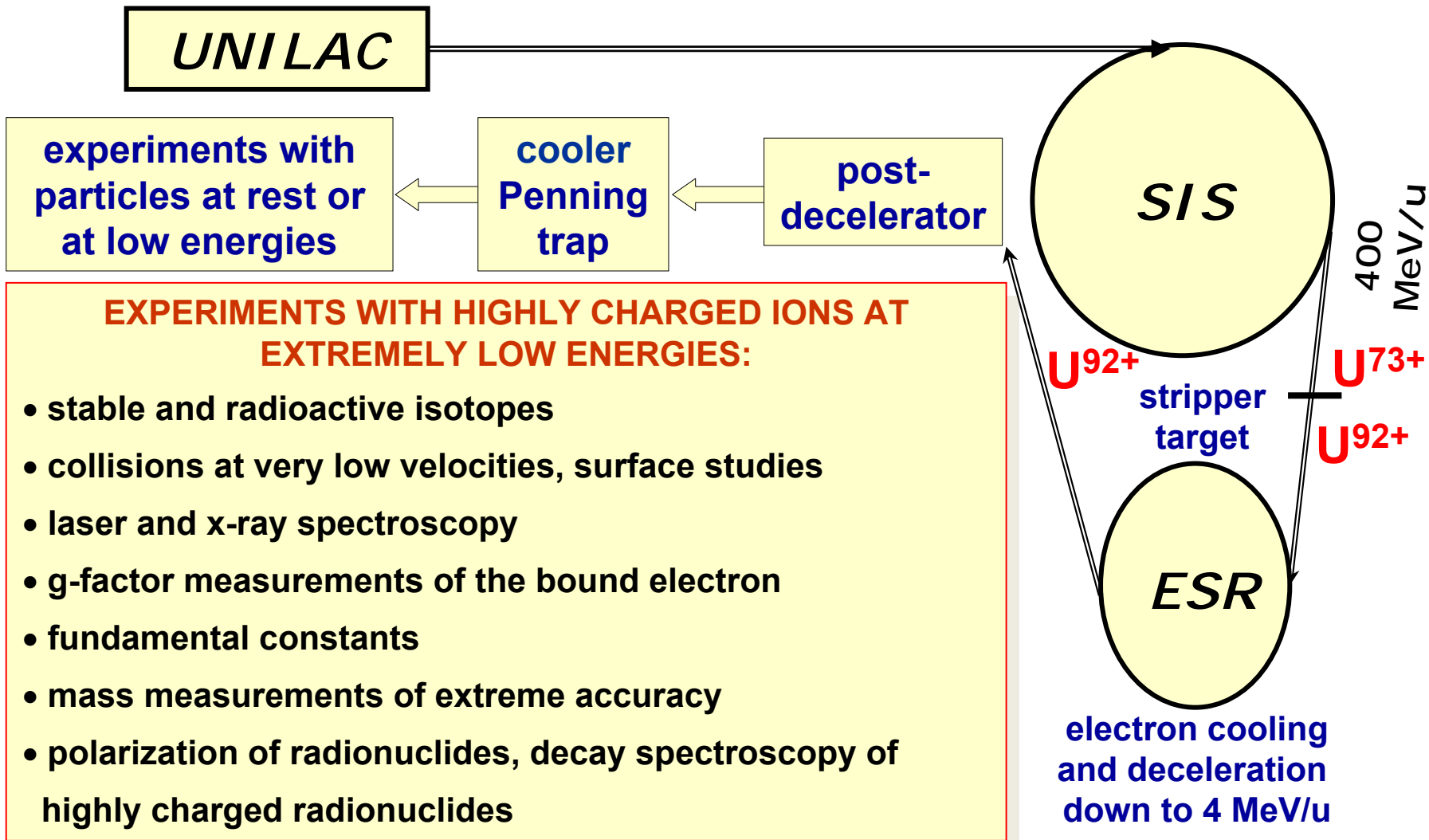
Future Penning trap facilities at FAIR



The HITRAP Project for Highly Charged Ions

GSI Darmstadt

Courtesy of W. Quint and the HITRAP collaboration



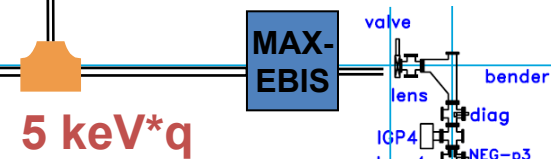
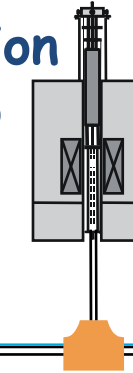
HITRAP at the Experimental Storage Ring ESR

Courtesy of W. Quint and the HITRAP collaboration

Operational Parameters:

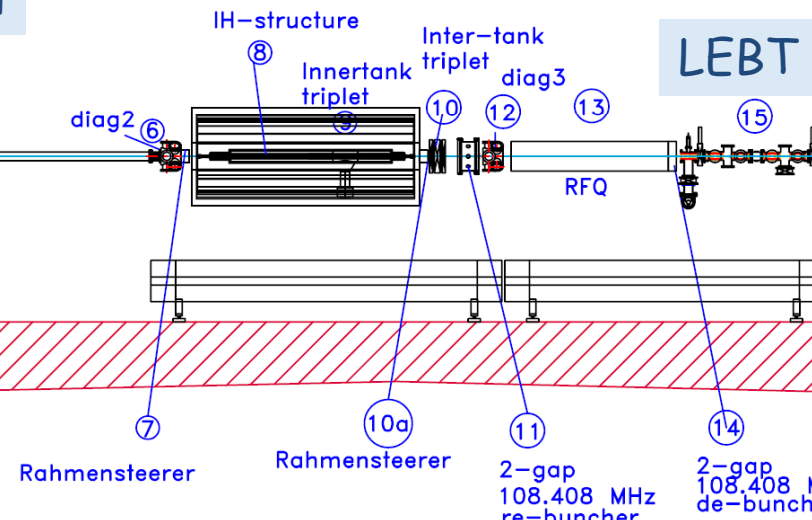
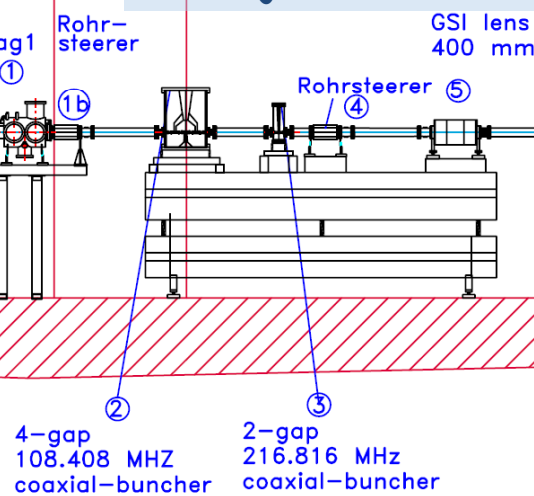
- Deceleration from 4 MeV/u to keV/u
- HCl with $M/q \leq 3$
- Beam intensity: some 10^5 ions/pulse for U^{92+}
- Repetition time: 10 s

Precision trap



Other experimental setups
(beam line height: 1.25 m)

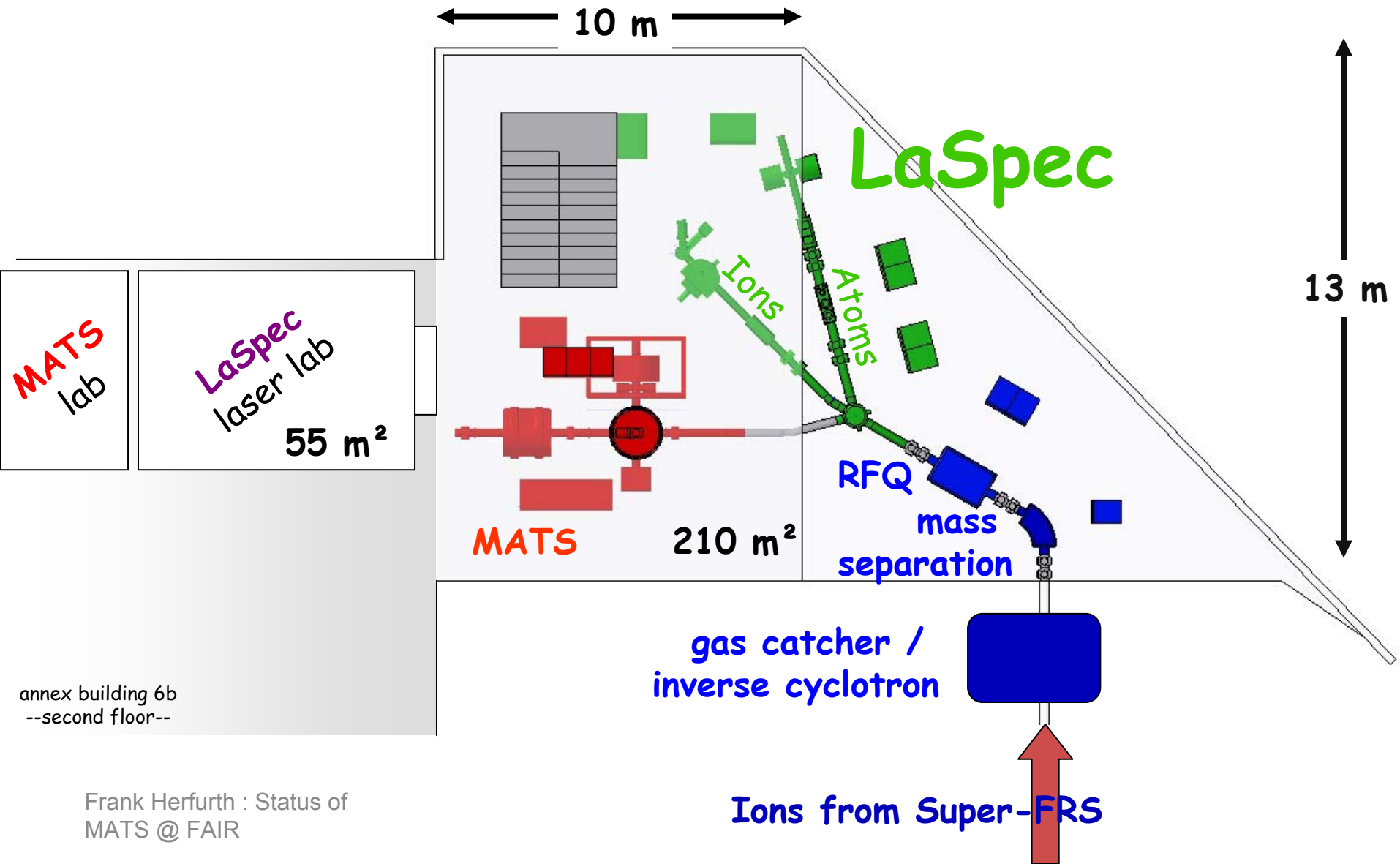
Re-injection channel



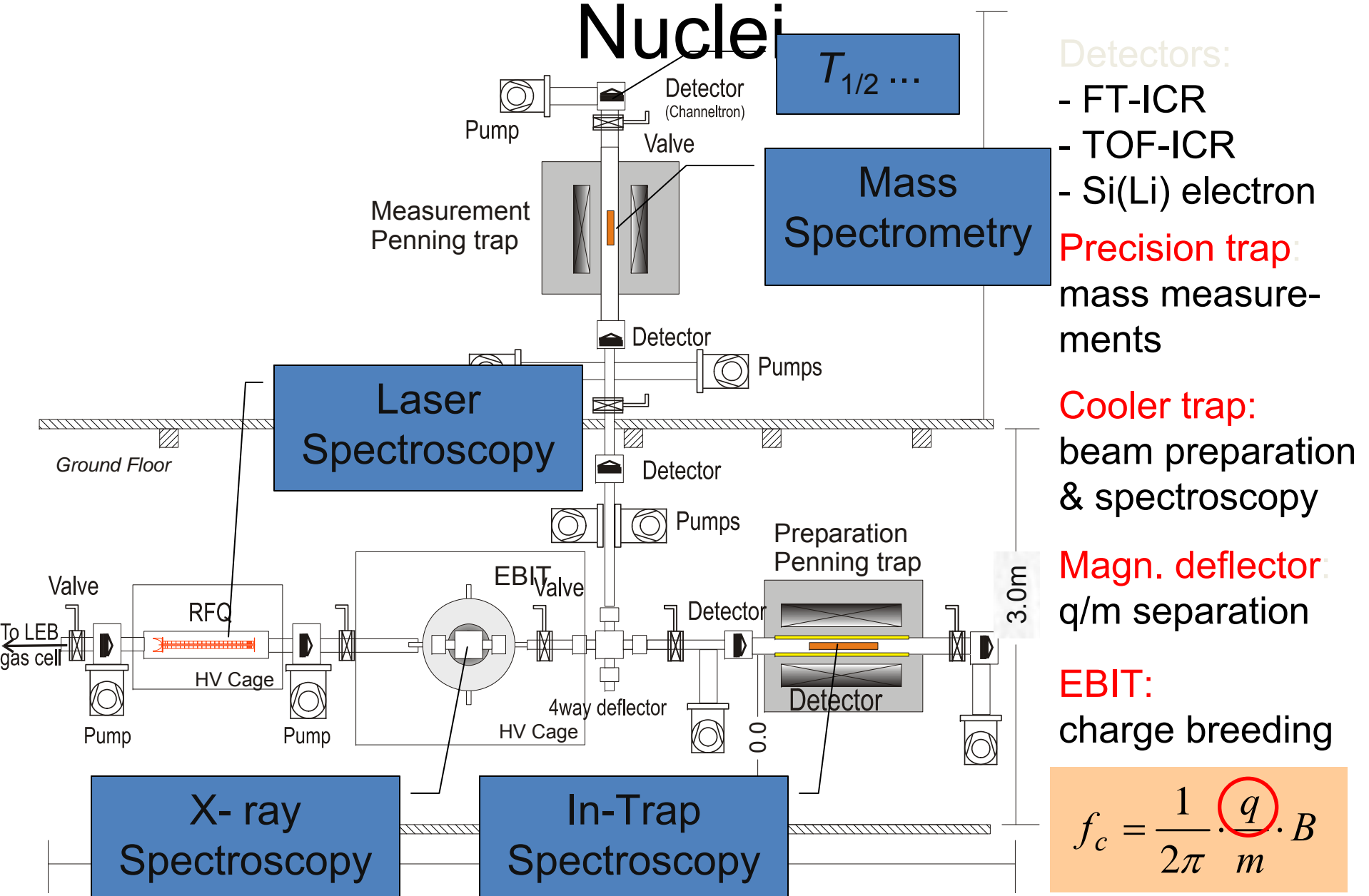
vertical beam line



MATS – Setup:



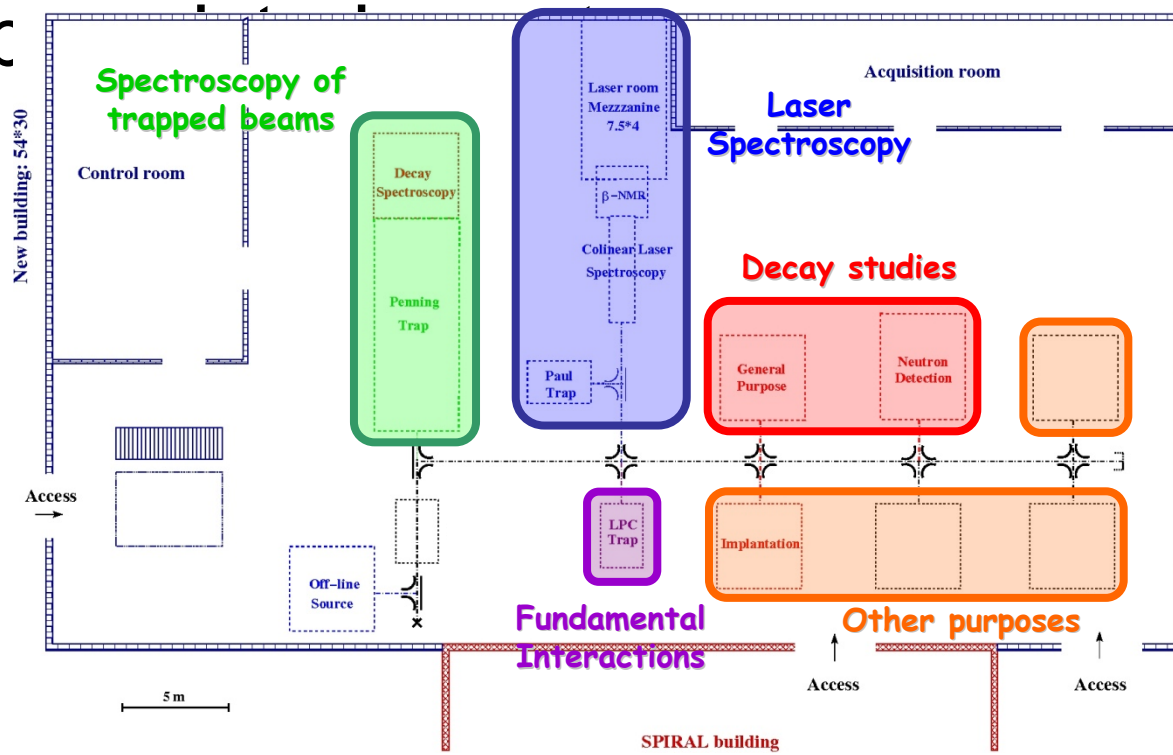
MATS – Experiments with Exotic Nuclei



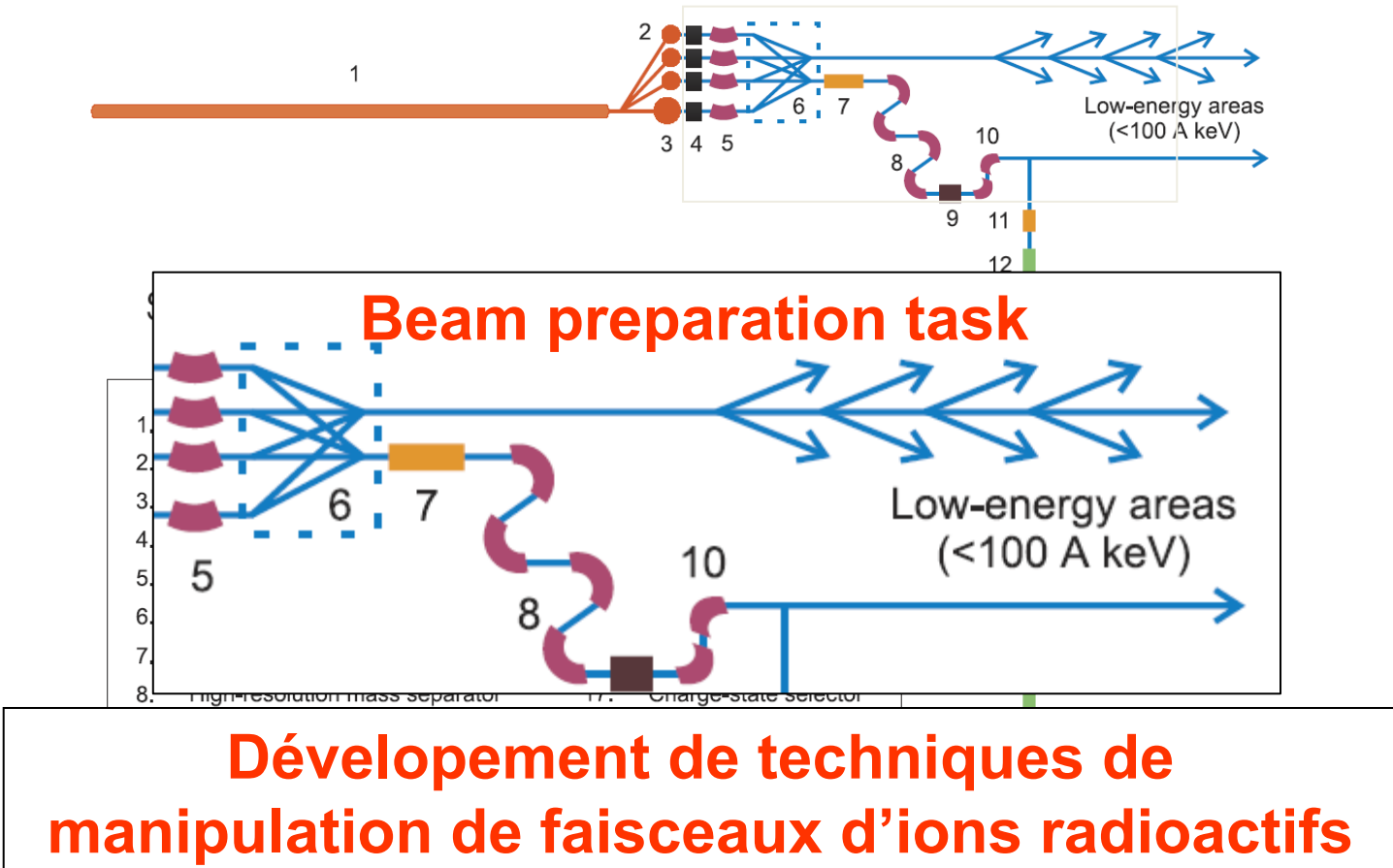
$$f_c = \frac{1}{2\pi} \cdot \frac{q}{m} \cdot B$$

DESIR à GANIL

- Faisceaux radioactifs de SPIRAL-2 et de S3
- Trap



EURISOL



Refroidisseurs haute intensités
Sources multichargées
Méthodes de séparation

Merci de votre attention!

UN GRAND MERCI

à Nathal Severijns pour les transparents de WITCH,

Klaus Blaum pour la documentation sur MATS et les tests de QED
et Xavier Flechard pour LPCTRAP